

BIBLIOTECA VIRTUAL



**ANEXOS**

## Análisis factorial

Matriz de correlaciones<sup>a</sup>

		AN91	AAT91	PA91	RRE191	RRE291	RRE391
Correlación	AN91	1,000	,445	-,076	,367	,398	,422
	AAT91	,445	1,000	,285	,235	,276	,278
	PA91	-,076	,285	1,000	-,149	-,148	-,071
	RRE191	,367	,235	-,149	1,000	,976	,940
	RRE291	,398	,276	-,148	,976	1,000	,941
	RRE391	,422	,278	-,071	,940	,941	1,000
	RE291	-,298	-,184	,207	-,187	-,174	-,156
	RS191	,117	,054	-,057	,251	,228	,217
	RS291	,103	,060	-,065	,251	,231	,208
	RS391	,016	-,084	-,092	,112	,135	,200
	RS591	,008	-,100	-,087	,069	,050	,153
	AT91	-,052	,009	-,039	-,004	,021	-,033
	IN91	-,072	-,028	-,034	,006	,029	-,043
	FP91	-,057	-,007	-,039	-,005	,016	-,013
	RDO91	,191	,069	-,103	,406	,430	,440
	V91	,019	,091	-,050	,005	,020	,047
	Sig. (Unilateral)	AN91		,000	,214	,000	,000
AAT91		,000		,001	,007	,002	,002
PA91		,214	,001		,061	,061	,229
RRE191		,000	,007	,061		,000	,000
RRE291		,000	,002	,061	,000		,000
RRE391		,000	,002	,229	,000	,000	
RE291		,001	,027	,015	,026	,035	,051
RS191		,113	,287	,279	,004	,008	,011
RS291		,142	,268	,249	,004	,008	,015
RS391		,435	,191	,170	,122	,081	,018
RS591		,468	,148	,183	,238	,302	,056
AT91		,296	,463	,343	,484	,414	,367
IN91		,227	,387	,362	,474	,382	,329
FP91		,277	,469	,343	,478	,436	,448
RDO91		,023	,237	,143	,000	,000	,000
V91		,421	,172	,301	,480	,420	,312

Matriz de correlaciones<sup>a</sup>

		RE291	RS191	RS291	RS391	RS591	AT91
Correlación	AN91	-,298	,117	,103	,016	,008	-,052
	AAT91	-,184	,054	,060	-,084	-,100	,009
	PA91	,207	-,057	-,065	-,092	-,087	-,039
	RRE191	-,187	,251	,251	,112	,069	-,004
	RRE291	-,174	,228	,231	,135	,050	,021
	RRE391	-,156	,217	,208	,200	,153	-,033
	RE291	1,000	-,564	-,561	-,155	-,185	,271
	RS191	-,564	1,000	,992	,196	,296	-,161
	RS291	-,561	,992	1,000	,180	,271	-,136
	RS391	-,155	,196	,180	1,000	,677	-,122
	RS591	-,185	,296	,271	,677	1,000	-,134
	AT91	,271	-,161	-,136	-,122	-,134	1,000
	IN91	,331	-,159	-,135	-,110	-,113	,977
	FP91	,326	-,180	-,160	-,130	-,153	,963
	RDO91	,100	-,076	-,060	-,065	-,073	,635
	V91	,039	-,121	-,107	-,113	-,135	,636
Sig. (Unilateral)	AN91	,001	,113	,142	,435	,468	,296
	AAT91	,027	,287	,268	,191	,148	,463
	PA91	,015	,279	,249	,170	,183	,343
	RRE191	,026	,004	,004	,122	,238	,484
	RRE291	,035	,008	,008	,081	,302	,414
	RRE391	,051	,011	,015	,018	,056	,367
	RE291		,000	,000	,053	,026	,002
	RS191	,000		,000	,020	,001	,046
	RS291	,000	,000		,030	,002	,078
	RS391	,053	,020	,030		,000	,102
	RS591	,026	,001	,002	,000		,082
	AT91	,002	,046	,078	,102	,082	
	IN91	,000	,049	,080	,127	,121	,000
	FP91	,000	,030	,048	,088	,055	,000
	RDO91	,150	,215	,266	,249	,226	,000
	V91	,342	,103	,132	,119	,080	,000

**Matriz de correlaciones<sup>a</sup>**

		IN91	FP91	RDO91	V91
Correlación	AN91	-,072	-,057	,191	,019
	AAT91	-,028	-,007	,069	,091
	PA91	-,034	-,039	-,103	-,050
	RRE191	,006	-,005	,406	,005
	RRE291	,029	,016	,430	,020
	RRE391	-,043	-,013	,440	,047
	RE291	,331	,326	,100	,039
	RS191	-,159	-,180	-,076	-,121
	RS291	-,135	-,160	-,060	-,107
	RS391	-,110	-,130	-,065	-,113
	RS591	-,113	-,153	-,073	-,135
	AT91	,977	,963	,635	,636
	IN91	1,000	,926	,567	,494
	FP91	,926	1,000	,658	,688
	RDO91	,567	,658	1,000	,697
	V91	,494	,688	,697	1,000
Sig. (Unilateral)	AN91	,227	,277	,023	,421
	AAT91	,387	,469	,237	,172
	PA91	,362	,343	,143	,301
	RRE191	,474	,478	,000	,480
	RRE291	,382	,436	,000	,420
	RRE391	,329	,448	,000	,312
	RE291	,000	,000	,150	,342
	RS191	,049	,030	,215	,103
	RS291	,080	,048	,266	,132
	RS391	,127	,088	,249	,119
	RS591	,121	,055	,226	,080
	AT91	,000	,000	,000	,000
	IN91		,000	,000	,000
	FP91	,000		,000	,000
	RDO91	,000	,000		,000
	V91	,000	,000	,000	

a. Determinante = 5,071E-10

**KMO y prueba de Bartlett**

Medida de adecuación muestral de Kaiser-Meyer-Olkin.		,687
Prueba de esfericidad de Bartlett	Chi-cuadrado aproximado	2200,877
	gl	120
	Sig.	,000

**Matrices anti-imagen**

		AN91	AAT91	PA91	RRE191	RRE291
Covarianza anti-imagen	AN91	,601	-,217	,107	2,172E-02	-7,703E-03
	AAT91	-,217	,584	-,250	1,997E-02	-2,646E-02
	PA91	,107	-,250	,711	6,572E-03	2,451E-02
	RRE191	2,172E-02	1,997E-02	6,572E-03	3,570E-02	-2,571E-02
	RRE291	-7,703E-03	-2,646E-02	2,451E-02	-2,571E-02	3,391E-02
	RRE391	-3,552E-02	-7,133E-03	-4,748E-02	-1,676E-02	-1,446E-02
	RE291	,109	5,118E-02	-,118	1,623E-02	-4,282E-03
	RS191	-1,176E-02	9,015E-03	-8,934E-03	-9,498E-04	2,570E-03
	RS291	1,303E-02	-8,326E-03	6,890E-03	8,253E-04	-2,734E-03
	RS391	3,015E-02	5,707E-02	2,840E-03	3,362E-02	-2,828E-02
	RS591	2,112E-02	-9,944E-03	6,126E-02	-8,022E-03	3,132E-02
	AT91	4,266E-03	-5,454E-03	-3,298E-03	2,285E-03	-2,940E-04
	IN91	-5,362E-03	5,158E-03	-3,417E-04	-3,247E-03	-1,004E-03
	FP91	-3,309E-03	4,472E-03	2,243E-02	-7,138E-04	4,604E-03
	RDO91	-4,794E-02	8,681E-02	-7,453E-03	9,197E-03	-9,101E-03
	V91	2,361E-02	-3,331E-02	1,044E-02	-6,269E-03	4,400E-03
Correlación anti-imagen	AN91	,709 <sup>a</sup>	-,366	,164	,148	-5,397E-02
	AAT91	-,366	,549 <sup>a</sup>	-,388	,138	-,188
	PA91	,164	-,388	,386 <sup>a</sup>	4,126E-02	,158
	RRE191	,148	,138	4,126E-02	,735 <sup>a</sup>	-,739
	RRE291	-5,397E-02	-,188	,158	-,739	,734 <sup>a</sup>
	RRE391	-,184	-3,741E-02	-,226	-,355	-,315
	RE291	,226	,108	-,226	,138	-3,744E-02
	RS191	-,135	,105	-9,403E-02	-4,460E-02	,124
	RS291	,147	-9,558E-02	7,168E-02	3,831E-02	-,130
	RS391	5,598E-02	,107	4,848E-03	,256	-,221
	RS591	4,092E-02	-1,954E-02	,109	-6,374E-02	,255
	AT91	5,657E-02	-7,337E-02	-4,020E-02	,124	-1,641E-02
	IN91	-5,827E-02	5,688E-02	-3,415E-03	-,145	-4,592E-02
	FP91	-1,900E-02	2,605E-02	,118	-1,681E-02	,111
	RDO91	-,126	,232	-1,805E-02	9,939E-02	-,101
	V91	7,265E-02	-,104	2,952E-02	-7,911E-02	5,698E-02

**Matrices anti-imagen**

		RRE391	RE291	RS191	RS291	RS391
Covarianza anti-imagen	AN91	-3,552E-02	,109	-1,176E-02	1,303E-02	3,015E-02
	AAT91	-7,133E-03	5,118E-02	9,015E-03	-8,326E-03	5,707E-02
	PA91	-4,748E-02	-,118	-8,934E-03	6,890E-03	2,840E-03
	RRE191	-1,676E-02	1,623E-02	-9,498E-04	8,253E-04	3,362E-02
	RRE291	-1,446E-02	-4,282E-03	2,570E-03	-2,734E-03	-2,828E-02
	RRE391	6,230E-02	-2,380E-02	-3,734E-03	3,954E-03	-2,062E-02
	RE291	-2,380E-02	,386	5,944E-03	-2,347E-04	3,429E-02
	RS191	-3,734E-03	5,944E-03	1,270E-02	-1,271E-02	1,573E-03
	RS291	3,954E-03	-2,347E-04	-1,271E-02	1,300E-02	-8,945E-04
	RS391	-2,062E-02	3,429E-02	1,573E-03	-8,945E-04	,483
	RS591	-3,915E-02	5,827E-03	-9,451E-03	7,369E-03	-,285
	AT91	-2,875E-03	2,517E-02	1,401E-03	-1,167E-03	1,291E-03
	IN91	7,366E-03	-2,734E-02	-1,083E-03	8,494E-04	-1,102E-03
	FP91	-7,688E-03	-4,852E-02	-3,224E-03	2,650E-03	-5,980E-03
	RDO91	-2,819E-02	-1,093E-03	5,291E-03	-4,788E-03	4,623E-02
V91	1,165E-02	-7,573E-03	-2,533E-03	2,508E-03	-9,259E-03	
Correlación anti-imagen	AN91	-,184	,226	-,135	,147	5,598E-02
	AAT91	-3,741E-02	,108	,105	-9,558E-02	,107
	PA91	-,226	-,226	-9,403E-02	7,168E-02	4,848E-03
	RRE191	-,355	,138	-4,460E-02	3,831E-02	,256
	RRE291	-,315	-3,744E-02	,124	-,130	-,221
	RRE391	,800 <sup>a</sup>	-,154	-,133	,139	-,119
	RE291	-,154	,673 <sup>a</sup>	8,491E-02	-3,314E-03	7,944E-02
	RS191	-,133	8,491E-02	,604 <sup>a</sup>	-,989	2,008E-02
	RS291	,139	-3,314E-03	-,989	,602 <sup>a</sup>	-1,129E-02
	RS391	-,119	7,944E-02	2,008E-02	-1,129E-02	,559 <sup>a</sup>
	RS591	-,235	1,408E-02	-,126	9,702E-02	-,616
	AT91	-,118	,416	,128	-,105	1,909E-02
	IN91	,249	-,371	-8,098E-02	6,275E-02	-1,336E-02
	FP91	-,137	-,348	-,127	,103	-3,829E-02
	RDO91	-,231	-3,594E-03	9,586E-02	-8,574E-02	,136
V91	,111	-2,907E-02	-5,360E-02	5,245E-02	-3,177E-02	

**Matrices anti-imagen**

		RS591	AT91	IN91	FP91
Covarianza anti-imagen	AN91	2,112E-02	4,266E-03	-5,362E-03	-3,309E-03
	AAT91	-9,944E-03	-5,454E-03	5,158E-03	4,472E-03
	PA91	6,126E-02	-3,298E-03	-3,417E-04	2,243E-02
	RRE191	-8,022E-03	2,285E-03	-3,247E-03	-7,138E-04
	RRE291	3,132E-02	-2,940E-04	-1,004E-03	4,604E-03
	RRE391	-3,915E-02	-2,875E-03	7,366E-03	-7,688E-03
	RE291	5,827E-03	2,517E-02	-2,734E-02	-4,852E-02
	RS191	-9,451E-03	1,401E-03	-1,083E-03	-3,224E-03
	RS291	7,369E-03	-1,167E-03	8,494E-04	2,650E-03
	RS391	-,285	1,291E-03	-1,102E-03	-5,980E-03
	RS591	,444	2,496E-03	-8,257E-03	1,821E-02
	AT91	2,496E-03	9,470E-03	-1,058E-02	-1,001E-02
	IN91	-8,257E-03	-1,058E-02	1,409E-02	2,587E-03
	FP91	1,821E-02	-1,001E-02	2,587E-03	5,051E-02
	RDO91	-1,825E-02	7,200E-04	-4,752E-03	-2,092E-03
	V91	-2,989E-03	-2,213E-02	3,270E-02	-1,688E-02
Correlación anti-imagen	AN91	4,092E-02	5,657E-02	-5,827E-02	-1,900E-02
	AAT91	-1,954E-02	-7,337E-02	5,688E-02	2,605E-02
	PA91	,109	-4,020E-02	-3,415E-03	,118
	RRE191	-6,374E-02	,124	-,145	-1,681E-02
	RRE291	,255	-1,641E-02	-4,592E-02	,111
	RRE391	-,235	-,118	,249	-,137
	RE291	1,408E-02	,416	-,371	-,348
	RS191	-,126	,128	-8,098E-02	-,127
	RS291	9,702E-02	-,105	6,275E-02	,103
	RS391	-,616	1,909E-02	-1,336E-02	-3,829E-02
	RS591	,576 <sup>a</sup>	3,851E-02	-,104	,122
	AT91	3,851E-02	,642 <sup>a</sup>	-,916	-,458
	IN91	-,104	-,916	,625 <sup>a</sup>	9,695E-02
	FP91	,122	-,458	9,695E-02	,863 <sup>a</sup>
	RDO91	-5,595E-02	1,511E-02	-8,173E-02	-1,900E-02
	V91	-1,070E-02	-,542	,657	-,179

**Matrices anti-imagen**

		RDO91	V91
Covarianza anti-imagen	AN91	-4,794E-02	2,361E-02
	AAT91	8,681E-02	-3,331E-02
	PA91	-7,453E-03	1,044E-02
	RRE191	9,197E-03	-6,269E-03
	RRE291	-9,101E-03	4,400E-03
	RRE391	-2,819E-02	1,165E-02
	RE291	-1,093E-03	-7,573E-03
	RS191	5,291E-03	-2,533E-03
	RS291	-4,788E-03	2,508E-03
	RS391	4,623E-02	-9,259E-03
	RS591	-1,825E-02	-2,989E-03
	AT91	7,200E-04	-2,213E-02
	IN91	-4,752E-03	3,270E-02
	FP91	-2,092E-03	-1,688E-02
	RDO91	,240	-9,167E-02
V91	-9,167E-02	,176	
Correlación anti-imagen	AN91	-,126	7,265E-02
	AAT91	,232	-,104
	PA91	-1,805E-02	2,952E-02
	RRE191	9,939E-02	-7,911E-02
	RRE291	-,101	5,698E-02
	RRE391	-,231	,111
	RE291	-3,594E-03	-2,907E-02
	RS191	9,586E-02	-5,360E-02
	RS291	-8,574E-02	5,245E-02
	RS391	,136	-3,177E-02
	RS591	-5,595E-02	-1,070E-02
	AT91	1,511E-02	-,542
	IN91	-8,173E-02	,657
	FP91	-1,900E-02	-,179
	RDO91	,854 <sup>a</sup>	-,446
V91	-,446	,626 <sup>a</sup>	

a. Medida de adecuación muestral

**Comunalidades**

	Inicial	Extracción
AN91	1,000	,452
AAT91	1,000	,756
PA91	1,000	,650
RRE191	1,000	,928
RRE291	1,000	,942
RRE391	1,000	,939
RE291	1,000	,636
RS191	1,000	,912
RS291	1,000	,910
RS391	1,000	,819
RS591	1,000	,821
AT91	1,000	,945
IN91	1,000	,859
FP91	1,000	,951
RDO91	1,000	,778
V91	1,000	,611

Método de extracción: Análisis de Componentes principales.



**Varianza total explicada**

Componente	Autovalores iniciales			Sumas de las saturaciones al cuadrado de la extracción		
	Total	% de la varianza	% acumulado	Total	% de la varianza	% acumulado
1	4,275	26,717	26,717	4,275	26,717	26,717
2	3,897	24,355	51,071	3,897	24,355	51,071
3	2,010	12,564	63,636	2,010	12,564	63,636
4	1,539	9,619	73,255	1,539	9,619	73,255
5	1,186	7,415	80,670	1,186	7,415	80,670
6	1,008	6,301	86,971			
7	,669	4,184	91,154			
8	,463	2,895	94,049			
9	,350	2,186	96,235			
10	,309	1,931	98,166			
11	,170	1,062	99,228			
12	5,712E-02	,357	99,585			
13	3,393E-02	,212	99,797			
14	2,019E-02	,126	99,924			
15	6,843E-03	4,277E-02	99,966			
16	5,395E-03	3,372E-02	100,000			

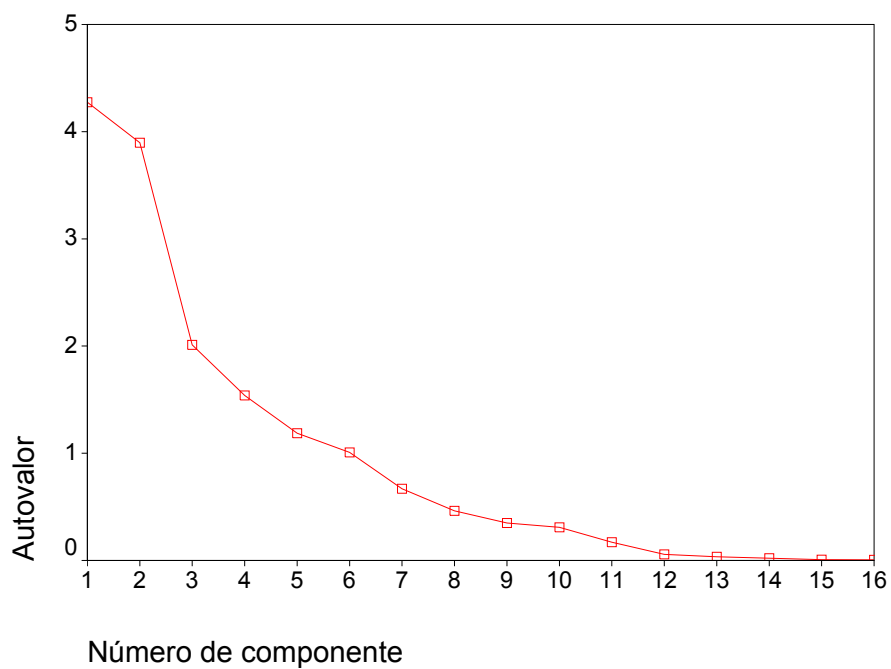
Método de extracción: Análisis de Componentes principales.

**Varianza total explicada**

Componente	Suma de las saturaciones al cuadrado de la rotación		
	Total	% de la varianza	% acumulado
1	3,928	24,549	24,549
2	3,423	21,393	45,942
3	2,496	15,600	61,542
4	1,706	10,663	72,205
5	1,354	8,464	80,670
6			
7			
8			
9			
10			
11			
12			
13			
14			
15			
16			

Método de extracción: Análisis de Componentes principales.

## Gráfico de sedimentación



**Matriz de componentes<sup>a</sup>**

	Componente				
	1	2	3	4	5
AN91		,520			
AAT91				-,462	,527
PA91					,697
RRE191		,884			
RRE291		,894			
RRE391		,884			
RE291	,513				
RS191	-,486	,427	,590		
RS291	-,463	,430	,594		
RS391			,413	,591	,412
RS591			,512	,504	,403
AT91	,900				
IN91	,863				
FP91	,915				
RDO91	,646	,596			
V91	,693				

Método de extracción: Análisis de componentes principales.

a. 5 componentes extraídos

**Matriz de componentes rotados<sup>a</sup>**

	Componente				
	1	2	3	4	5
AN91		,529			
AAT91					,789
PA91					,767
RRE191		,952			
RRE291		,961			
RRE391		,953			
RE291			-,752		
RS191			,933		
RS291			,937		
RS391				,891	
RS591				,882	
AT91	,966				
IN91	,916				
FP91	,965				
RDO91	,749	,457			
V91	,770				

Método de extracción: Análisis de componentes principales.

Método de rotación: Normalización Varimax con Kaiser.

a. La rotación ha convergido en 6 iteraciones.

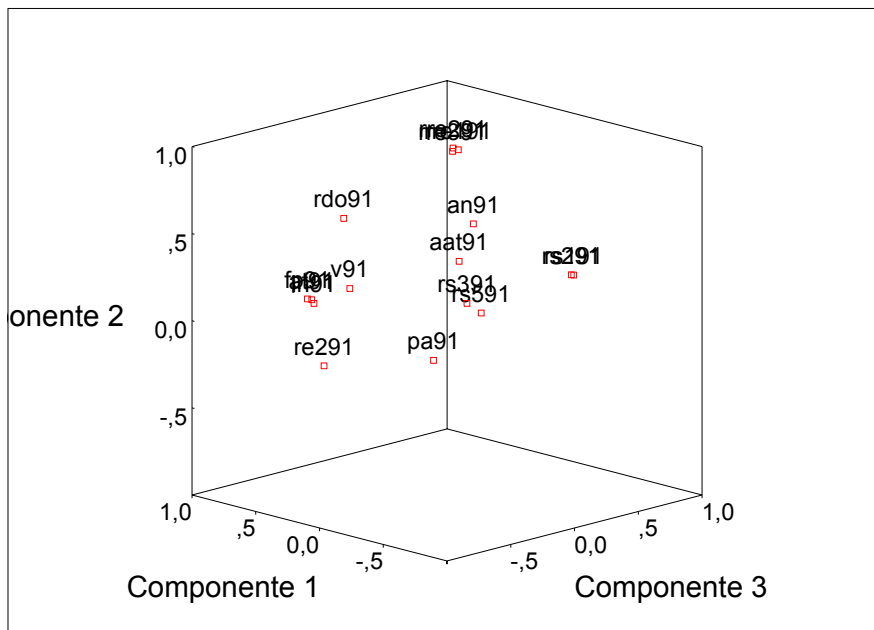
**Matriz de transformación de las componentes**

Componente	1	2	3	4	5
1	,879	-,105	-,416	-,210	-,022
2	,308	,867	,365	,128	,059
3	,343	-,427	,608	,480	-,315
4	-,095	,204	-,557	,653	-,461
5	,079	-,114	-,116	,532	,827

Método de extracción: Análisis de componentes principales.

Método de rotación: Normalización Varimax con Kaiser.

## Gráfico de componentes en espacio rotado



T U A L



### Matriz de coeficientes para el cálculo de las puntuaciones en las componentes

	Componente				
	1	2	3	4	5
AN91	-,014	,138	,039	-,074	,229
AAT91	,018	,047	,040	-,035	,570
PA91	,013	-,094	-,058	,133	,603
RRE191	-,025	,296	-,040	-,018	-,095
RRE291	-,019	,298	-,049	-,010	-,070
RRE391	-,023	,293	-,076	,064	-,008
RE291	,010	,016	-,325	,103	,006
RS191	,055	-,064	,407	-,001	-,001
RS291	,061	-,066	,413	-,015	-,008
RS391	,016	,003	-,081	,555	,050
RS591	,028	-,034	-,018	,539	,054
AT91	,259	-,048	,034	,033	,022
IN91	,243	-,044	,012	,053	,005
FP91	,254	-,039	,018	,028	,012
RDO91	,177	,124	-,014	-,009	-,051
V91	,207	-,023	,070	-,039	,042

Método de extracción: Análisis de componentes principales.

Método de rotación: Normalización Varimax con Kaiser.

### Matriz de covarianza de las puntuaciones de las componentes

Componente	1	2	3	4	5
1	1,000	,000	,000	,000	,000
2	,000	1,000	1,530E-16	,000	,000
3	,000	1,530E-16	1,000	,000	,000
4	,000	,000	,000	1,000	,000
5	,000	,000	,000	,000	1,000

Método de extracción: Análisis de componentes principales.

Método de rotación: Normalización Varimax con Kaiser.

# Análisis factorial

Matriz de correlaciones<sup>a</sup>

		AN92	AAT92	PA92	RRE192	RRE292	RRE392
Correlación	AN92	1,000	,487	,045	,630	,647	,673
	AAT92	,487	1,000	,487	,478	,483	,477
	PA92	,045	,487	1,000	,080	,131	,142
	RRE192	,630	,478	,080	1,000	,965	,949
	RRE292	,647	,483	,131	,965	1,000	,986
	RRE392	,673	,477	,142	,949	,986	1,000
	RE292	-,179	-,212	-,127	-,169	-,168	-,172
	RS192	,162	,353	,224	,116	,125	,148
	RS292	,138	,343	,218	,084	,098	,116
	RS392	,025	-,173	-,018	-,193	-,121	-,048
	RS592	,121	,016	-,066	,079	,082	,127
	AT92	,040	,040	-,039	,060	,083	,055
	IN92	,024	,027	-,033	,048	,071	,037
	FP92	,095	,053	-,047	,103	,123	,108
	RDO92	,512	,434	,025	,836	,712	,704
	V92	,099	,075	-,049	,106	,113	,121
Sig. (Unilateral)	AN92		,000	,321	,000	,000	,000
	AAT92	,000		,000	,000	,000	,000
	PA92	,321	,000		,202	,086	,070
	RRE192	,000	,000	,202		,000	,000
	RRE292	,000	,000	,086	,000		,000
	RRE392	,000	,000	,070	,000	,000	
	RE292	,031	,013	,094	,039	,040	,036
	RS192	,046	,000	,009	,114	,096	,061
	RS292	,076	,000	,011	,193	,155	,114
	RS392	,400	,035	,424	,022	,104	,309
	RS592	,104	,434	,245	,205	,196	,093
	AT92	,340	,339	,345	,268	,195	,282
	IN92	,402	,390	,368	,310	,230	,350
	FP92	,163	,292	,313	,142	,099	,131
	RDO92	,000	,000	,397	,000	,000	,000
	V92	,153	,219	,305	,134	,120	,105

Matriz de correlaciones<sup>a</sup>

		RE292	RS192	RS292	RS392	RS592	AT92
Correlación	AN92	-,179	,162	,138	,025	,121	,040
	AAT92	-,212	,353	,343	-,173	,016	,040
	PA92	-,127	,224	,218	-,018	-,066	-,039
	RRE192	-,169	,116	,084	-,193	,079	,060
	RRE292	-,168	,125	,098	-,121	,082	,083
	RRE392	-,172	,148	,116	-,048	,127	,055
	RE292	1,000	-,484	-,474	-,276	-,283	,227
	RS192	-,484	1,000	,996	,266	,290	-,125
	RS292	-,474	,996	1,000	,263	,281	-,105
	RS392	-,276	,266	,263	1,000	,535	-,192
	RS592	-,283	,290	,281	,535	1,000	-,133
	AT92	,227	-,125	-,105	-,192	-,133	1,000
	IN92	,301	-,127	-,107	-,185	-,120	,976
	FP92	,276	-,134	-,119	-,198	-,149	,958
	RDO92	-,074	,043	,016	-,329	,007	,286
	V92	,025	-,096	-,091	-,172	-,128	,635
Sig. (Unilateral)	AN92	,031	,046	,076	,400	,104	,340
	AAT92	,013	,000	,000	,035	,434	,339
	PA92	,094	,009	,011	,424	,245	,345
	RRE192	,039	,114	,193	,022	,205	,268
	RRE292	,040	,096	,155	,104	,196	,195
	RRE392	,036	,061	,114	,309	,093	,282
	RE292		,000	,000	,002	,001	,008
	RS192	,000		,000	,002	,001	,097
	RS292	,000	,000		,003	,001	,138
	RS392	,002	,002	,003		,000	,023
	RS592	,001	,001	,001	,000		,082
	AT92	,008	,097	,138	,023	,082	
	IN92	,001	,092	,134	,026	,105	,000
	FP92	,002	,081	,107	,019	,060	,000
	RDO92	,222	,327	,434	,000	,473	,001
	V92	,397	,160	,173	,036	,091	,000

**Matriz de correlaciones<sup>a</sup>**

		IN92	FP92	RDO92	V92
Correlación	AN92	,024	,095	,512	,099
	AAT92	,027	,053	,434	,075
	PA92	-,033	-,047	,025	-,049
	RRE192	,048	,103	,836	,106
	RRE292	,071	,123	,712	,113
	RRE392	,037	,108	,704	,121
	RE292	,301	,276	-,074	,025
	RS192	-,127	-,134	,043	-,096
	RS292	-,107	-,119	,016	-,091
	RS392	-,185	-,198	-,329	-,172
	RS592	-,120	-,149	,007	-,128
	AT92	,976	,958	,286	,635
	IN92	1,000	,929	,251	,507
	FP92	,929	1,000	,344	,711
	RDO92	,251	,344	1,000	,352
	V92	,507	,711	,352	1,000
Sig. (Unilateral)	AN92	,402	,163	,000	,153
	AAT92	,390	,292	,000	,219
	PA92	,368	,313	,397	,305
	RRE192	,310	,142	,000	,134
	RRE292	,230	,099	,000	,120
	RRE392	,350	,131	,000	,105
	RE292	,001	,002	,222	,397
	RS192	,092	,081	,327	,160
	RS292	,134	,107	,434	,173
	RS392	,026	,019	,000	,036
	RS592	,105	,060	,473	,091
	AT92	,000	,000	,001	,000
	IN92		,000	,004	,000
	FP92	,000		,000	,000
	RDO92	,004	,000		,000
	V92	,000	,000	,000	

a. Determinante = 2,175E-11

**KMO y prueba de Bartlett**

Medida de adecuación muestral de Kaiser-Meyer-Olkin.		,675
Prueba de esfericidad de Bartlett	Chi-cuadrado aproximado	2524,702
	gl	120
	Sig.	,000



**Matrices anti-imagen**

		AN92	AAT92	PA92	RRE192	RRE292
Covarianza anti-imagen	AN92	,450	-,149	,137	5,597E-03	2,639E-03
	AAT92	-,149	,425	-,251	4,912E-03	-6,347E-03
	PA92	,137	-,251	,625	1,629E-02	-3,364E-03
	RRE192	5,597E-03	4,912E-03	1,629E-02	1,101E-02	-6,843E-03
	RRE292	2,639E-03	-6,347E-03	-3,364E-03	-6,843E-03	8,179E-03
	RRE392	-1,836E-02	6,180E-03	-1,309E-02	1,701E-03	-8,622E-03
	RE292	5,101E-02	-1,295E-02	4,843E-02	1,450E-03	1,073E-02
	RS192	-7,623E-04	1,525E-03	-5,060E-03	-1,547E-03	2,178E-03
	RS292	1,135E-03	-3,078E-03	5,069E-03	1,530E-03	-2,135E-03
	RS392	-3,170E-02	7,643E-02	-4,495E-03	3,850E-03	1,207E-02
	RS592	2,438E-02	-2,571E-02	8,355E-02	-2,523E-03	6,270E-03
	AT92	6,602E-03	-3,350E-03	6,432E-03	2,708E-04	9,567E-04
	IN92	-3,517E-03	2,382E-03	-8,764E-03	-2,798E-04	-1,851E-03
	FP92	-1,339E-02	8,645E-03	5,697E-03	3,490E-03	-7,887E-04
	RDO92	-1,397E-02	-2,228E-02	-2,096E-02	-2,408E-02	1,495E-02
	V92	1,883E-02	-1,429E-03	1,373E-02	9,564E-03	-5,749E-03
Correlación anti-imagen	AN92	,868 <sup>a</sup>	-,341	,259	7,952E-02	4,351E-02
	AAT92	-,341	,794 <sup>a</sup>	-,486	7,178E-02	-,108
	PA92	,259	-,486	,491 <sup>a</sup>	,196	-4,704E-02
	RRE192	7,952E-02	7,178E-02	,196	,684 <sup>a</sup>	-,721
	RRE292	4,351E-02	-,108	-4,704E-02	-,721	,634 <sup>a</sup>
	RRE392	-,219	7,593E-02	-,133	,130	-,764
	RE292	,111	-2,891E-02	8,915E-02	2,012E-02	,173
	RS192	-1,457E-02	2,998E-02	-8,206E-02	-,189	,309
	RS292	2,147E-02	-5,989E-02	8,133E-02	,185	-,300
	RS392	-7,063E-02	,175	-8,496E-03	5,484E-02	,200
	RS592	4,610E-02	-5,002E-02	,134	-3,050E-02	8,796E-02
	AT92	7,850E-02	-4,097E-02	6,487E-02	2,058E-02	8,438E-02
	IN92	-3,836E-02	2,671E-02	-8,106E-02	-1,951E-02	-,150
	FP92	-9,159E-02	6,080E-02	3,304E-02	,153	-4,000E-02
	RDO92	-8,070E-02	-,132	-,103	-,889	,640
	V92	6,051E-02	-4,721E-03	3,741E-02	,196	-,137

**Matrices anti-imagen**

		RRE392	RE292	RS192	RS292	RS392
Covarianza anti-imagen	AN92	-1,836E-02	5,101E-02	-7,623E-04	1,135E-03	-3,170E-02
	AAT92	6,180E-03	-1,295E-02	1,525E-03	-3,078E-03	7,643E-02
	PA92	-1,309E-02	4,843E-02	-5,060E-03	5,069E-03	-4,495E-03
	RRE192	1,701E-03	1,450E-03	-1,547E-03	1,530E-03	3,850E-03
	RRE292	-8,622E-03	1,073E-02	2,178E-03	-2,135E-03	1,207E-02
	RRE392	1,557E-02	-2,218E-02	-2,785E-03	2,729E-03	-2,959E-02
	RE292	-2,218E-02	,472	4,587E-03	-2,474E-03	,102
	RS192	-2,785E-03	4,587E-03	6,081E-03	-6,115E-03	7,611E-04
	RS292	2,729E-03	-2,474E-03	-6,115E-03	6,211E-03	-1,230E-03
	RS392	-2,959E-02	,102	7,611E-04	-1,230E-03	,448
	RS592	-9,827E-03	5,368E-02	5,212E-04	-1,069E-03	-,225
	AT92	-2,157E-03	3,706E-02	8,497E-04	-7,234E-04	6,477E-03
	IN92	3,948E-03	-3,479E-02	-4,101E-04	2,869E-04	-6,395E-03
	FP92	-2,195E-03	-3,678E-02	-1,102E-03	9,679E-04	-7,328E-03
	RDO92	-5,396E-03	5,444E-03	1,762E-03	-1,669E-03	2,012E-02
	V92	1,930E-03	7,199E-03	-7,225E-04	8,089E-04	1,026E-02
Correlación anti-imagen	AN92	-,219	,111	-1,457E-02	2,147E-02	-7,063E-02
	AAT92	7,593E-02	-2,891E-02	2,998E-02	-5,989E-02	,175
	PA92	-,133	8,915E-02	-8,206E-02	8,133E-02	-8,496E-03
	RRE192	,130	2,012E-02	-,189	,185	5,484E-02
	RRE292	-,764	,173	,309	-,300	,200
	RRE392	,736 <sup>a</sup>	-,259	-,286	,277	-,354
	RE292	-,259	,641 <sup>a</sup>	8,564E-02	-4,570E-02	,223
	RS192	-,286	8,564E-02	,577 <sup>a</sup>	-,995	1,459E-02
	RS292	,277	-4,570E-02	-,995	,571 <sup>a</sup>	-2,332E-02
	RS392	-,354	,223	1,459E-02	-2,332E-02	,643 <sup>a</sup>
	RS592	-9,991E-02	9,914E-02	8,479E-03	-1,721E-02	-,427
	AT92	-,138	,430	8,690E-02	-7,321E-02	7,722E-02
	IN92	,231	-,370	-3,847E-02	2,663E-02	-6,992E-02
	FP92	-8,067E-02	-,246	-6,480E-02	5,633E-02	-5,024E-02
	RDO92	-,168	3,070E-02	8,756E-02	-8,205E-02	,117
	V92	3,332E-02	2,259E-02	-1,997E-02	2,212E-02	3,305E-02

**Matrices anti-imagen**

		RS592	AT92	IN92	FP92
Covarianza anti-imagen	AN92	2,438E-02	6,602E-03	-3,517E-03	-1,339E-02
	AAT92	-2,571E-02	-3,350E-03	2,382E-03	8,645E-03
	PA92	8,355E-02	6,432E-03	-8,764E-03	5,697E-03
	RRE192	-2,523E-03	2,708E-04	-2,798E-04	3,490E-03
	RRE292	6,270E-03	9,567E-04	-1,851E-03	-7,887E-04
	RRE392	-9,827E-03	-2,157E-03	3,948E-03	-2,195E-03
	RE292	5,368E-02	3,706E-02	-3,479E-02	-3,678E-02
	RS192	5,212E-04	8,497E-04	-4,101E-04	-1,102E-03
	RS292	-1,069E-03	-7,234E-04	2,869E-04	9,679E-04
	RS392	-,225	6,477E-03	-6,395E-03	-7,328E-03
	RS592	,621	7,196E-03	-1,316E-02	1,475E-02
	AT92	7,196E-03	1,572E-02	-1,495E-02	-6,809E-03
	IN92	-1,316E-02	-1,495E-02	1,869E-02	-6,458E-03
	FP92	1,475E-02	-6,809E-03	-6,458E-03	4,753E-02
	RDO92	-7,885E-03	2,335E-04	3,024E-06	-1,039E-02
V92	-1,331E-02	-2,667E-02	3,994E-02	-4,544E-02	
Correlación anti-imagen	AN92	4,610E-02	7,850E-02	-3,836E-02	-9,159E-02
	AAT92	-5,002E-02	-4,097E-02	2,671E-02	6,080E-02
	PA92	,134	6,487E-02	-8,106E-02	3,304E-02
	RRE192	-3,050E-02	2,058E-02	-1,951E-02	,153
	RRE292	8,796E-02	8,438E-02	-,150	-4,000E-02
	RRE392	-9,991E-02	-,138	,231	-8,067E-02
	RE292	9,914E-02	,430	-,370	-,246
	RS192	8,479E-03	8,690E-02	-3,847E-02	-6,480E-02
	RS292	-1,721E-02	-7,321E-02	2,663E-02	5,633E-02
	RS392	-,427	7,722E-02	-6,992E-02	-5,024E-02
	RS592	,711 <sup>a</sup>	7,282E-02	-,122	8,587E-02
	AT92	7,282E-02	,662 <sup>a</sup>	-,872	-,249
	IN92	-,122	-,872	,615 <sup>a</sup>	-,217
	FP92	8,587E-02	-,249	-,217	,849 <sup>a</sup>
	RDO92	-3,876E-02	7,214E-03	8,570E-05	-,185
V92	-3,638E-02	-,458	,630	-,449	

**Matrices anti-imagen**

		RDO92	V92
Covarianza anti-imagen	AN92	-1,397E-02	1,883E-02
	AAT92	-2,228E-02	-1,429E-03
	PA92	-2,096E-02	1,373E-02
	RRE192	-2,408E-02	9,564E-03
	RRE292	1,495E-02	-5,749E-03
	RRE392	-5,396E-03	1,930E-03
	RE292	5,444E-03	7,199E-03
	RS192	1,762E-03	-7,225E-04
	RS292	-1,669E-03	8,089E-04
	RS392	2,012E-02	1,026E-02
	RS592	-7,885E-03	-1,331E-02
	AT92	2,335E-04	-2,667E-02
	IN92	3,024E-06	3,994E-02
	FP92	-1,039E-02	-4,544E-02
	RDO92	6,662E-02	-2,644E-02
V92	-2,644E-02	,215	
Correlación anti-imagen	AN92	-8,070E-02	6,051E-02
	AAT92	-,132	-4,721E-03
	PA92	-,103	3,741E-02
	RRE192	-,889	,196
	RRE292	,640	-,137
	RRE392	-,168	3,332E-02
	RE292	3,070E-02	2,259E-02
	RS192	8,756E-02	-1,997E-02
	RS292	-8,205E-02	2,212E-02
	RS392	,117	3,305E-02
	RS592	-3,876E-02	-3,638E-02
	AT92	7,214E-03	-,458
	IN92	8,570E-05	,630
	FP92	-,185	-,449
	RDO92	,658 <sup>a</sup>	-,221
V92	-,221	,604 <sup>a</sup>	

a. Medida de adecuación muestral

**Comunalidades**

	Inicial	Extracción
AN92	1,000	,597
AAT92	1,000	,746
PA92	1,000	,874
RRE192	1,000	,957
RRE292	1,000	,923
RRE392	1,000	,929
RE292	1,000	,538
RS192	1,000	,931
RS292	1,000	,930
RS392	1,000	,816
RS592	1,000	,731
AT92	1,000	,962
IN92	1,000	,907
FP92	1,000	,972
RDO92	1,000	,794
V92	1,000	,596

Método de extracción: Análisis de Componentes principales.

**Varianza total explicada**

Componente	Autovalores iniciales			Sumas de las saturaciones al cuadrado de la extracción		
	Total	% de la varianza	% acumulado	Total	% de la varianza	% acumulado
1	4,781	29,879	29,879	4,781	29,879	29,879
2	3,863	24,144	54,024	3,863	24,144	54,024
3	2,194	13,711	67,735	2,194	13,711	67,735
4	1,464	9,152	76,886	1,464	9,152	76,886
5	,900	5,623	82,509	,900	5,623	82,509
6	,729	4,559	87,068			
7	,560	3,500	90,569			
8	,511	3,192	93,761			
9	,428	2,673	96,433			
10	,264	1,650	98,083			
11	,238	1,489	99,572			
12	3,643E-02	,228	99,800			
13	1,489E-02	9,304E-02	99,893			
14	8,768E-03	5,480E-02	99,948			
15	5,620E-03	3,513E-02	99,983			
16	2,718E-03	1,699E-02	100,000			

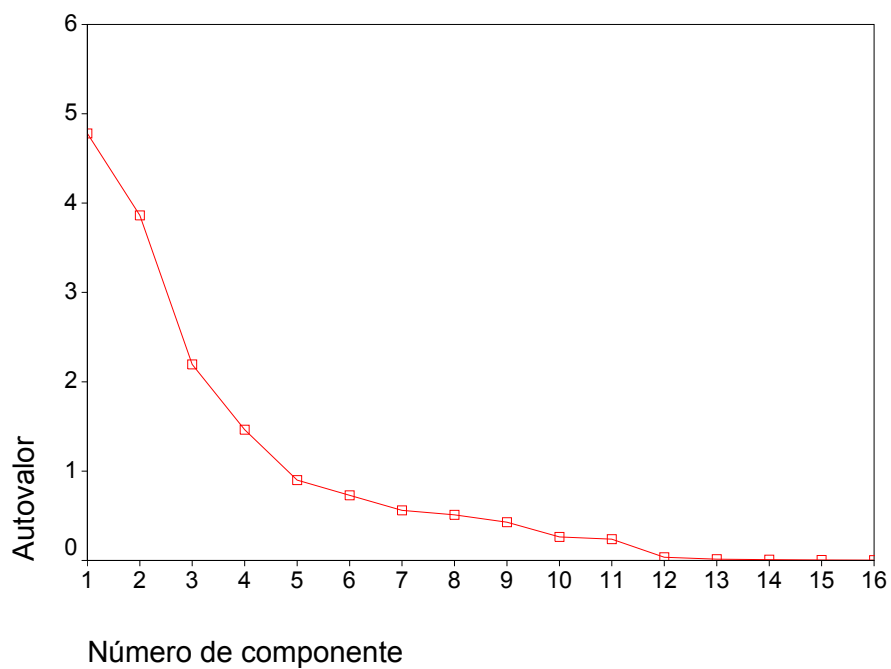
Método de extracción: Análisis de Componentes principales.

**Varianza total explicada**

Componente	Suma de las saturaciones al cuadrado de la rotación		
	Total	% de la varianza	% acumulado
1	4,351	27,195	27,195
2	3,476	21,724	48,920
3	2,426	15,164	64,083
4	1,595	9,968	74,051
5	1,353	8,458	82,509
6			
7			
8			
9			
10			
11			
12			
13			
14			
15			
16			

Método de extracción: Análisis de Componentes principales.

## Gráfico de sedimentación



Matriz de componentes<sup>a</sup>

	Componente				
	1	2	3	4	5
AN92	,714				
AAT92	,634			-,472	
PA92				-,649	,583
RRE192	,906				
RRE292	,900				
RRE392	,893				
RE292		,575			
RS192		-,586	,672		
RS292		-,565	,693		
RS392		-,408		,551	
RS592		-,411		,608	
AT92		,801	,436		
IN92		,787	,412		
FP92		,807			
RDO92	,849				
V92		,583			

Método de extracción: Análisis de componentes principales.

a. 5 componentes extraídos

**Matriz de componentes rotados<sup>a</sup>**

	Componente				
	1	2	3	4	5
AN92	,751				
AAT92	,499				,616
PA92					,927
RRE192	,974				
RRE292	,955				
RRE392	,955				
RE292			-,655		
RS192			,938		
RS292			,941		
RS392				,866	
RS592				,813	
AT92		,975			
IN92		,941			
FP92		,974			
RDO92	,816				
V92		,735			

Método de extracción: Análisis de componentes principales.

Método de rotación: Normalización Varimax con Kaiser.

a. La rotación ha convergido en 6 iteraciones.

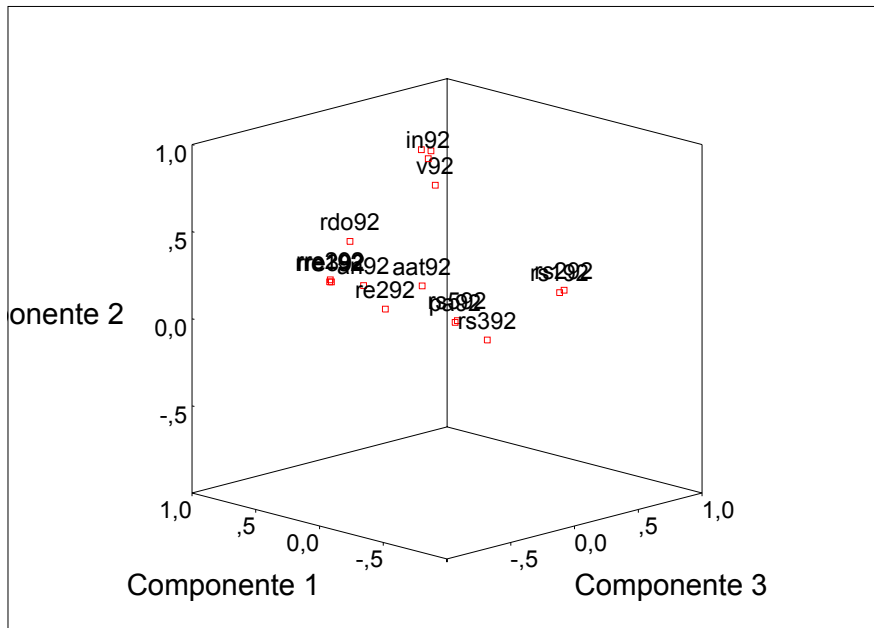
**Matriz de transformación de las componentes**

Componente	1	2	3	4	5
1	,907	,336	,177	-,067	,171
2	-,180	,772	-,516	-,291	-,141
3	-,335	,534	,681	,338	,158
4	,181	,076	-,165	,702	-,665
5	-,010	,025	-,460	,551	,696

Método de extracción: Análisis de componentes principales.

Método de rotación: Normalización Varimax con Kaiser.

## Gráfico de componentes en espacio rotado



T U A L



### Matriz de coeficientes para el cálculo de las puntuaciones en las componentes

	Componente				
	1	2	3	4	5
AN92	,181	-,009	-,038	,111	,015
AAT92	,056	-,001	,041	-,075	,410
PA92	-,065	-,006	-,137	,085	,772
RRE192	,240	-,040	-,019	-,030	-,077
RRE292	,232	-,028	-,056	,040	-,002
RRE392	,234	-,028	-,067	,086	,012
RE292	-,022	,027	-,307	,032	,178
RS192	-,050	,047	,438	-,083	-,036
RS292	-,060	,054	,443	-,087	-,034
RS392	-,015	,038	-,094	,597	,087
RS592	,053	,040	-,061	,550	-,009
AT92	-,032	,295	,005	,063	,039
IN92	-,035	,285	-,031	,093	,084
FP92	-,016	,290	-,001	,052	,020
RDO92	,189	,038	,051	-,133	-,143
V92	,003	,214	,110	-,079	-,142

Método de extracción: Análisis de componentes principales.

Método de rotación: Normalización Varimax con Kaiser.



### Matriz de covarianza de las puntuaciones de las componentes

Componente	1	2	3	4	5
1	1,000	,000	,000	,000	,000
2	,000	1,000	,000	,000	,000
3	,000	,000	1,000	1,973E-16	,000
4	,000	,000	1,973E-16	1,000	,000
5	,000	,000	,000	,000	1,000

Método de extracción: Análisis de componentes principales.

Método de rotación: Normalización Varimax con Kaiser.

## Análisis factorial

Matriz de correlaciones<sup>a</sup>

		AN93	AAT93	PA93	RRE193	RRE293	RRE393
Correlación	AN93	1,000	,218	-,042	,539	,532	,583
	AAT93	,218	1,000	,583	,402	,415	,471
	PA93	-,042	,583	1,000	,094	,096	,087
	RRE193	,539	,402	,094	1,000	,986	,950
	RRE293	,532	,415	,096	,986	1,000	,967
	RRE393	,583	,471	,087	,950	,967	1,000
	RE293	-,144	-,180	,133	-,163	-,194	-,206
	RS193	,092	,017	-,074	,123	,133	,142
	RS293	,081	,006	-,076	,098	,108	,119
	RS393	,041	-,117	-,073	,180	,182	,123
	RS593	,069	,014	-,006	,172	,204	,152
	AT93	,046	,076	-,044	,040	,031	,068
	IN93	,038	,064	-,036	,023	,016	,060
	FP93	,086	,079	-,062	,119	,107	,130
	RDO93	,275	,239	-,002	,536	,540	,563
	V93	,055	,043	-,088	,100	,090	,090
Sig. (Unilateral)	AN93		,011	,332	,000	,000	,000
	AAT93	,011		,000	,000	,000	,000
	PA93	,332	,000		,165	,160	,183
	RRE193	,000	,000	,165		,000	,000
	RRE293	,000	,000	,160	,000		,000
	RRE393	,000	,000	,183	,000	,000	
	RE293	,067	,030	,083	,044	,021	,015
	RS193	,170	,429	,222	,100	,083	,070
	RS293	,201	,474	,214	,154	,131	,107
	RS393	,334	,111	,226	,030	,029	,101
	RS593	,238	,444	,477	,037	,016	,057
	AT93	,318	,215	,325	,339	,374	,240
	IN93	,345	,253	,354	,405	,436	,268
	FP93	,186	,206	,258	,108	,132	,089
	RDO93	,002	,006	,492	,000	,000	,000
	V93	,283	,329	,180	,149	,174	,175

Matriz de correlaciones<sup>a</sup>

		RE293	RS193	RS293	RS393	RS593	AT93
Correlación	AN93	-,144	,092	,081	,041	,069	,046
	AAT93	-,180	,017	,006	-,117	,014	,076
	PA93	,133	-,074	-,076	-,073	-,006	-,044
	RRE193	-,163	,123	,098	,180	,172	,040
	RRE293	-,194	,133	,108	,182	,204	,031
	RRE393	-,206	,142	,119	,123	,152	,068
	RE293	1,000	-,387	-,378	-,175	-,210	,239
	RS193	-,387	1,000	,998	,099	,134	-,094
	RS293	-,378	,998	1,000	,096	,133	-,081
	RS393	-,175	,099	,096	1,000	,643	-,127
	RS593	-,210	,134	,133	,643	1,000	-,149
	AT93	,239	-,094	-,081	-,127	-,149	1,000
	IN93	,304	-,091	-,078	-,119	-,129	,979
	FP93	,279	-,096	-,089	-,131	-,168	,953
	RDO93	,078	,015	,011	-,023	-,011	,597
	V93	,051	-,077	-,077	-,118	-,158	,638
Sig. (Unilateral)	AN93	,067	,170	,201	,334	,238	,318
	AAT93	,030	,429	,474	,111	,444	,215
	PA93	,083	,222	,214	,226	,477	,325
	RRE193	,044	,100	,154	,030	,037	,339
	RRE293	,021	,083	,131	,029	,016	,374
	RRE393	,015	,070	,107	,101	,057	,240
	RE293		,000	,000	,033	,014	,006
	RS193	,000		,000	,151	,081	,165
	RS293	,000	,000		,159	,083	,200
	RS393	,033	,151	,159		,000	,093
	RS593	,014	,081	,083	,000		,060
	AT93	,006	,165	,200	,093	,060	
	IN93	,001	,172	,210	,108	,089	,000
	FP93	,002	,158	,178	,086	,040	,000
	RDO93	,209	,437	,454	,407	,455	,000
	V93	,300	,211	,213	,110	,049	,000

**Matriz de correlaciones<sup>a</sup>**

		IN93	FP93	RDO93	V93
Correlación	AN93	,038	,086	,275	,055
	AAT93	,064	,079	,239	,043
	PA93	-,036	-,062	-,002	-,088
	RRE193	,023	,119	,536	,100
	RRE293	,016	,107	,540	,090
	RRE393	,060	,130	,563	,090
	RE293	,304	,279	,078	,051
	RS193	-,091	-,096	,015	-,077
	RS293	-,078	-,089	,011	-,077
	RS393	-,119	-,131	-,023	-,118
	RS593	-,129	-,168	-,011	-,158
	AT93	,979	,953	,597	,638
	IN93	1,000	,921	,586	,517
	FP93	,921	1,000	,656	,727
	RDO93	,586	,656	1,000	,466
	V93	,517	,727	,466	1,000
Sig. (Unilateral)	AN93	,345	,186	,002	,283
	AAT93	,253	,206	,006	,329
	PA93	,354	,258	,492	,180
	RRE193	,405	,108	,000	,149
	RRE293	,436	,132	,000	,174
	RRE393	,268	,089	,000	,175
	RE293	,001	,002	,209	,300
	RS193	,172	,158	,437	,211
	RS293	,210	,178	,454	,213
	RS393	,108	,086	,407	,110
	RS593	,089	,040	,455	,049
	AT93	,000	,000	,000	,000
	IN93		,000	,000	,000
	FP93	,000		,000	,000
	RDO93	,000	,000		,000
	V93	,000	,000	,000	

a. Determinante = 8,453E-11

**KMO y prueba de Bartlett**

Medida de adecuación muestral de Kaiser-Meyer-Olkin.		,682
Prueba de esfericidad de Bartlett	Chi-cuadrado aproximado	2385,105
	gl	120
	Sig.	,000

**Matrices anti-imagen**

		AN93	AAT93	PA93	RRE193	RRE293
Covarianza anti-imagen	AN93	,608	3,903E-02	1,326E-02	-1,785E-02	1,977E-02
	AAT93	3,903E-02	,382	-,293	-4,386E-03	1,282E-02
	PA93	1,326E-02	-,293	,508	3,667E-03	-1,150E-02
	RRE193	-1,785E-02	-4,386E-03	3,667E-03	2,497E-02	-1,621E-02
	RRE293	1,977E-02	1,282E-02	-1,150E-02	-1,621E-02	1,536E-02
	RRE393	-5,398E-02	-4,574E-02	3,264E-02	3,556E-03	-1,553E-02
	RE293	2,786E-02	,130	-,162	-1,727E-02	9,473E-03
	RS193	5,906E-04	-1,657E-03	8,541E-04	9,568E-05	-8,646E-04
	RS293	-5,358E-04	1,964E-03	-1,049E-03	-1,253E-04	8,967E-04
	RS393	3,501E-02	8,427E-02	-2,729E-02	-1,886E-02	7,919E-03
	RS593	-3,536E-02	-4,155E-02	1,420E-02	2,505E-02	-2,412E-02
	AT93	6,045E-04	1,198E-03	-7,945E-03	-1,203E-03	7,952E-05
	IN93	2,004E-03	2,075E-04	5,121E-03	1,446E-03	7,669E-04
	FP93	-1,508E-02	-1,545E-02	2,363E-02	8,231E-05	-2,712E-03
	RDO93	5,539E-02	2,813E-02	-1,423E-02	-4,521E-04	-1,269E-03
V93	1,294E-02	1,410E-02	1,307E-03	1,671E-03	2,206E-03	
Correlación anti-imagen	AN93	,834 <sup>a</sup>	8,097E-02	2,387E-02	-,145	,205
	AAT93	8,097E-02	,581 <sup>a</sup>	-,666	-4,489E-02	,167
	PA93	2,387E-02	-,666	,387 <sup>a</sup>	3,257E-02	-,130
	RRE193	-,145	-4,489E-02	3,257E-02	,768 <sup>a</sup>	-,828
	RRE293	,205	,167	-,130	-,828	,689 <sup>a</sup>
	RRE393	-,335	-,358	,222	,109	-,606
	RE293	5,144E-02	,302	-,327	-,157	,110
	RS193	1,259E-02	-4,451E-02	1,991E-02	1,006E-02	-,116
	RS293	-1,137E-02	5,253E-02	-2,435E-02	-1,311E-02	,120
	RS393	6,157E-02	,187	-5,249E-02	-,164	8,760E-02
	RS593	-6,337E-02	-9,389E-02	2,784E-02	,222	-,272
	AT93	6,734E-03	1,682E-02	-9,680E-02	-6,613E-02	5,571E-03
	IN93	1,998E-02	2,608E-03	5,585E-02	7,114E-02	4,809E-02
	FP93	-8,757E-02	-,113	,150	2,358E-03	-9,904E-02
	RDO93	,125	8,021E-02	-3,521E-02	-5,045E-03	-1,806E-02
V93	3,556E-02	4,885E-02	3,929E-03	2,266E-02	3,812E-02	

**Matrices anti-imagen**

		RRE393	RE293	RS193	RS293	RS393
Covarianza anti-imagen	AN93	-5,398E-02	2,786E-02	5,906E-04	-5,358E-04	3,501E-02
	AAT93	-4,574E-02	,130	-1,657E-03	1,964E-03	8,427E-02
	PA93	3,264E-02	-,162	8,541E-04	-1,049E-03	-2,729E-02
	RRE193	3,556E-03	-1,727E-02	9,568E-05	-1,253E-04	-1,886E-02
	RRE293	-1,553E-02	9,473E-03	-8,646E-04	8,967E-04	7,919E-03
	RRE393	4,275E-02	2,498E-03	1,109E-03	-1,162E-03	1,940E-03
	RE293	2,498E-03	,483	3,448E-03	-2,385E-03	5,562E-02
	RS193	1,109E-03	3,448E-03	3,623E-03	-3,632E-03	7,898E-05
	RS293	-1,162E-03	-2,385E-03	-3,632E-03	3,657E-03	2,334E-05
	RS393	1,940E-03	5,562E-02	7,898E-05	2,334E-05	,532
	RS593	2,376E-02	2,319E-02	3,410E-03	-3,570E-03	-,316
	AT93	1,747E-03	3,374E-02	1,070E-03	-1,012E-03	8,680E-04
	IN93	-4,011E-03	-3,245E-02	-7,467E-04	6,887E-04	-4,280E-04
	FP93	7,465E-03	-4,452E-02	-1,091E-03	1,023E-03	-5,855E-03
	RDO93	-2,070E-02	2,090E-02	2,467E-03	-2,454E-03	2,271E-02
V93	-6,611E-03	-4,535E-03	-2,403E-03	2,441E-03	1,086E-02	
Correlación anti-imagen	AN93	-,335	5,144E-02	1,259E-02	-1,137E-02	6,157E-02
	AAT93	-,358	,302	-4,451E-02	5,253E-02	,187
	PA93	,222	-,327	1,991E-02	-2,435E-02	-5,249E-02
	RRE193	,109	-,157	1,006E-02	-1,311E-02	-,164
	RRE293	-,606	,110	-,116	,120	8,760E-02
	RRE393	,782 <sup>a</sup>	1,739E-02	8,911E-02	-9,294E-02	1,286E-02
	RE293	1,739E-02	,542 <sup>a</sup>	8,244E-02	-5,677E-02	,110
	RS193	8,911E-02	8,244E-02	,540 <sup>a</sup>	-,998	1,799E-03
	RS293	-9,294E-02	-5,677E-02	-,998	,535 <sup>a</sup>	5,292E-04
	RS393	1,286E-02	,110	1,799E-03	5,292E-04	,576 <sup>a</sup>
	RS593	,161	4,663E-02	7,917E-02	-8,248E-02	-,606
	AT93	7,337E-02	,422	,154	-,145	1,033E-02
	IN93	-,151	-,363	-9,642E-02	8,852E-02	-4,561E-03
	FP93	,163	-,290	-8,203E-02	7,660E-02	-3,634E-02
	RDO93	-,176	5,303E-02	7,226E-02	-7,155E-02	5,489E-02
V93	-6,849E-02	-1,398E-02	-8,550E-02	8,646E-02	3,190E-02	

**Matrices anti-imagen**

		RS593	AT93	IN93	FP93
Covarianza anti-imagen	AN93	-3,536E-02	6,045E-04	2,004E-03	-1,508E-02
	AAT93	-4,155E-02	1,198E-03	2,075E-04	-1,545E-02
	PA93	1,420E-02	-7,945E-03	5,121E-03	2,363E-02
	RRE193	2,505E-02	-1,203E-03	1,446E-03	8,231E-05
	RRE293	-2,412E-02	7,952E-05	7,669E-04	-2,712E-03
	RRE393	2,376E-02	1,747E-03	-4,011E-03	7,465E-03
	RE293	2,319E-02	3,374E-02	-3,245E-02	-4,452E-02
	RS193	3,410E-03	1,070E-03	-7,467E-04	-1,091E-03
	RS293	-3,570E-03	-1,012E-03	6,887E-04	1,023E-03
	RS393	-,316	8,680E-04	-4,280E-04	-5,855E-03
	RS593	,512	5,748E-03	-9,875E-03	1,387E-02
	AT93	5,748E-03	1,326E-02	-1,335E-02	-7,414E-03
	IN93	-9,875E-03	-1,335E-02	1,655E-02	-3,057E-03
	FP93	1,387E-02	-7,414E-03	-3,057E-03	4,880E-02
	RDO93	-1,041E-02	7,792E-03	-9,122E-03	-2,904E-02
V93	-1,614E-02	-2,676E-02	3,961E-02	-4,806E-02	
Correlación anti-imagen	AN93	-6,337E-02	6,734E-03	1,998E-02	-8,757E-02
	AAT93	-9,389E-02	1,682E-02	2,608E-03	-,113
	PA93	2,784E-02	-9,680E-02	5,585E-02	,150
	RRE193	,222	-6,613E-02	7,114E-02	2,358E-03
	RRE293	-,272	5,571E-03	4,809E-02	-9,904E-02
	RRE393	,161	7,337E-02	-,151	,163
	RE293	4,663E-02	,422	-,363	-,290
	RS193	7,917E-02	,154	-9,642E-02	-8,203E-02
	RS293	-8,248E-02	-,145	8,852E-02	7,660E-02
	RS393	-,606	1,033E-02	-4,561E-03	-3,634E-02
	RS593	,545 <sup>a</sup>	6,974E-02	-,107	8,771E-02
	AT93	6,974E-02	,662 <sup>a</sup>	-,901	-,291
	IN93	-,107	-,901	,636 <sup>a</sup>	-,108
	FP93	8,771E-02	-,291	-,108	,841 <sup>a</sup>
	RDO93	-2,564E-02	,119	-,125	-,232
V93	-4,830E-02	-,498	,659	-,466	

**Matrices anti-imagen**

		RDO93	V93
Covarianza anti-imagen	AN93	5,539E-02	1,294E-02
	AAT93	2,813E-02	1,410E-02
	PA93	-1,423E-02	1,307E-03
	RRE193	-4,521E-04	1,671E-03
	RRE293	-1,269E-03	2,206E-03
	RRE393	-2,070E-02	-6,611E-03
	RE293	2,090E-02	-4,535E-03
	RS193	2,467E-03	-2,403E-03
	RS293	-2,454E-03	2,441E-03
	RS393	2,271E-02	1,086E-02
	RS593	-1,041E-02	-1,614E-02
	AT93	7,792E-03	-2,676E-02
	IN93	-9,122E-03	3,961E-02
	FP93	-2,904E-02	-4,806E-02
	RDO93	,322	-1,756E-02
V93	-1,756E-02	,218	
Correlación anti-imagen	AN93	,125	3,556E-02
	AAT93	8,021E-02	4,885E-02
	PA93	-3,521E-02	3,929E-03
	RRE193	-5,045E-03	2,266E-02
	RRE293	-1,806E-02	3,812E-02
	RRE393	-,176	-6,849E-02
	RE293	5,303E-02	-1,398E-02
	RS193	7,226E-02	-8,550E-02
	RS293	-7,155E-02	8,646E-02
	RS393	5,489E-02	3,190E-02
	RS593	-2,564E-02	-4,830E-02
	AT93	,119	-,498
	IN93	-,125	,659
	FP93	-,232	-,466
	RDO93	,937 <sup>a</sup>	-6,630E-02
V93	-6,630E-02	,619 <sup>a</sup>	

a. Medida de adecuación muestral

**Comunalidades**

	Inicial	Extracción
AN93	1,000	,517
AAT93	1,000	,806
PA93	1,000	,861
RRE193	1,000	,930
RRE293	1,000	,944
RRE393	1,000	,953
RE293	1,000	,418
RS193	1,000	,958
RS293	1,000	,957
RS393	1,000	,827
RS593	1,000	,816
AT93	1,000	,949
IN93	1,000	,899
FP93	1,000	,966
RDO93	1,000	,743
V93	1,000	,559

Método de extracción: Análisis de Componentes principales.



**Varianza total explicada**

Componente	Autovalores iniciales			Sumas de las saturaciones al cuadrado de la extracción		
	Total	% de la varianza	% acumulado	Total	% de la varianza	% acumulado
1	4,467	27,921	27,921	4,467	27,921	27,921
2	3,729	23,309	51,230	3,729	23,309	51,230
3	2,071	12,946	64,176	2,071	12,946	64,176
4	1,571	9,820	73,995	1,571	9,820	73,995
5	1,262	7,889	81,884	1,262	7,889	81,884
6	,818	5,113	86,997			
7	,622	3,887	90,884			
8	,487	3,042	93,927			
9	,352	2,202	96,129			
10	,283	1,767	97,896			
11	,238	1,485	99,381			
12	4,689E-02	,293	99,674			
13	3,274E-02	,205	99,879			
14	9,810E-03	6,131E-02	99,940			
15	7,740E-03	4,837E-02	99,989			
16	1,807E-03	1,130E-02	100,000			

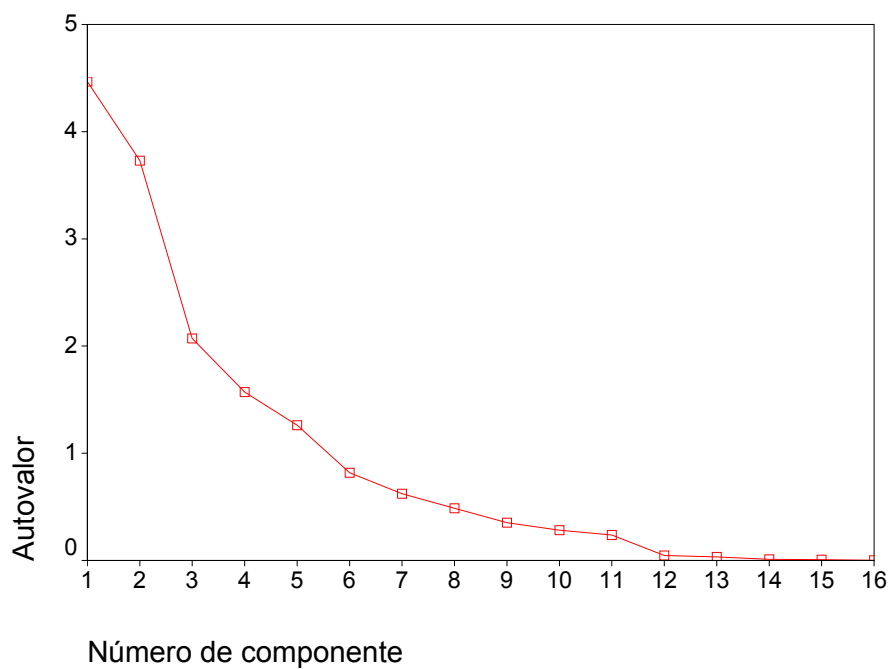
Método de extracción: Análisis de Componentes principales.

**Varianza total explicada**

Componente	Suma de las saturaciones al cuadrado de la rotación		
	Total	% de la varianza	% acumulado
1	3,876	24,225	24,225
2	3,679	22,991	47,216
3	2,261	14,128	61,344
4	1,679	10,492	71,836
5	1,608	10,049	81,884
6			
7			
8			
9			
10			
11			
12			
13			
14			
15			
16			

Método de extracción: Análisis de Componentes principales.

## Gráfico de sedimentación



**Matriz de componentes<sup>a</sup>**

	Componente				
	1	2	3	4	5
RDO93	,852				
RRE393	,745	,587			
FP93	,731	-,619			
RRE193	,722	,590			
RRE293	,720	,609			
AT93	,677	-,646			
IN93	,646	-,639			
V93	,557	-,459			
AN93	,485				
RE293		-,538			
RS293		,420	,802		
RS193		,441	,791		
RS393				,705	
RS593		,428		,605	,489
AAT93	,423			-,470	,432
PA93			-,453	-,449	,661

Método de extracción: Análisis de componentes principales.

a. 5 componentes extraídos

**Matriz de componentes rotados<sup>a</sup>**

	Componente				
	1	2	3	4	5
FP93	,974				
AT93	,971				
IN93	,943				
V93	,730				
RDO93	,676	,531			
RRE393		,951			
RRE293		,945			
RRE193		,942			
AN93		,708			
RS293			,977		
RS193			,977		
RE293			-,535		
RS393				,895	
RS593				,886	
PA93					,921
AAT93					,812

Método de extracción: Análisis de componentes principales.

Método de rotación: Normalización Varimax con Kaiser.

a. La rotación ha convergido en 5 iteraciones.

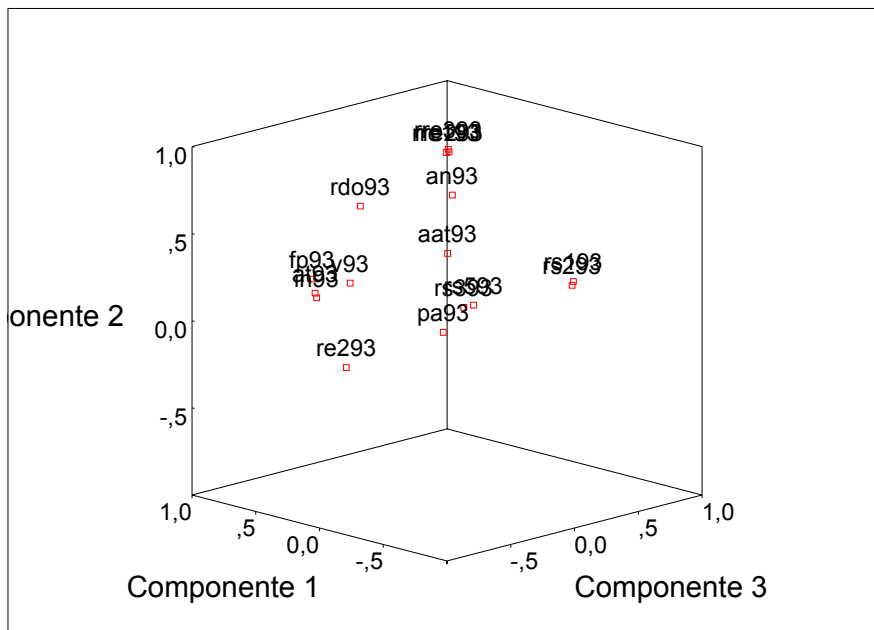
**Matriz de transformación de las componentes**

Componente	1	2	3	4	5
1	,704	,690	,020	,009	,164
2	-,620	,584	,407	,299	,137
3	,301	-,238	,816	,164	-,401
4	,051	,072	-,402	,751	-,517
5	,161	-,347	,082	,566	,726

Método de extracción: Análisis de componentes principales.

Método de rotación: Normalización Varimax con Kaiser.

## Gráfico de componentes en espacio rotado



T U A L



### Matriz de coeficientes para el cálculo de las puntuaciones en las componentes

	Componente				
	1	2	3	4	5
AN93	-,044	,242	-,019	-,112	-,156
AAT93	,005	,013	,039	-,035	,500
PA93	-,001	-,122	-,009	,055	,622
RRE193	-,027	,268	-,034	,005	-,020
RRE293	-,027	,265	-,029	,016	-,012
RRE393	-,024	,268	-,014	-,027	-,004
RE293	,049	-,042	-,216	-,017	,030
RS193	,046	-,054	,457	-,040	,027
RS293	,050	-,062	,459	-,036	,028
RS393	,038	-,041	-,040	,559	-,027
RS593	,036	-,058	-,012	,556	,066
AT93	,267	-,061	,024	,047	,031
IN93	,261	-,068	,016	,060	,041
FP93	,259	-,027	,010	,022	-,002
RDO93	,157	,120	-,001	,013	-,015
V93	,188	,002	,021	-,027	-,058

Método de extracción: Análisis de componentes principales.

Método de rotación: Normalización Varimax con Kaiser.

### Matriz de covarianza de las puntuaciones de las componentes

Componente	1	2	3	4	5
1	1,000	,000	,000	,000	,000
2	,000	1,000	,000	,000	,000
3	,000	,000	1,000	,000	,000
4	,000	,000	,000	1,000	,000
5	,000	,000	,000	,000	1,000

Método de extracción: Análisis de componentes principales.

Método de rotación: Normalización Varimax con Kaiser.

## Análisis factorial

Matriz de correlaciones<sup>a</sup>

		AN94	AAT94	PA94	RRE194	RRE294	RRE394
Correlación	AN94	1,000	,221	-,152	,261	,274	,285
	AAT94	,221	1,000	,463	,263	,269	,294
	PA94	-,152	,463	1,000	-,045	-,046	-,006
	RRE194	,261	,263	-,045	1,000	,982	,962
	RRE294	,274	,269	-,046	,982	1,000	,965
	RRE394	,285	,294	-,006	,962	,965	1,000
	RE294	,122	-,144	-,024	-,028	,010	-,006
	RS194	,039	-,015	-,028	,066	,054	,085
	RS294	,042	-,027	-,033	,055	,045	,069
	RS394	,062	-,053	-,118	-,001	-,015	,056
	RS594	,036	,104	,043	,159	,103	,164
	AT94	-,002	-,031	-,036	,011	,025	-,006
	IN94	,026	-,047	-,055	,026	,043	,003
	FP94	,102	,053	-,060	,064	,076	,057
	RDO94	,275	,231	,030	,443	,441	,438
	V94	-,100	,082	,099	,005	,004	,014
Sig. (Unilateral)	AN94		,010	,057	,003	,002	,001
	AAT94	,010		,000	,003	,002	,001
	PA94	,057	,000		,320	,317	,474
	RRE194	,003	,003	,320		,000	,000
	RRE294	,002	,002	,317	,000		,000
	RRE394	,001	,001	,474	,000	,000	
	RE294	,103	,067	,401	,384	,460	,475
	RS194	,343	,437	,386	,248	,287	,189
	RS294	,333	,389	,364	,285	,322	,236
	RS394	,259	,291	,110	,496	,439	,282
	RS594	,355	,140	,326	,048	,141	,044
	AT94	,490	,373	,353	,456	,397	,474
	IN94	,395	,313	,285	,394	,328	,489
	FP94	,144	,292	,268	,253	,214	,277
	RDO94	,002	,008	,379	,000	,000	,000
	V94	,148	,198	,151	,481	,482	,442

Matriz de correlaciones<sup>a</sup>

		RE294	RS194	RS294	RS394	RS594	AT94
Correlación	AN94	,122	,039	,042	,062	,036	-,002
	AAT94	-,144	-,015	-,027	-,053	,104	-,031
	PA94	-,024	-,028	-,033	-,118	,043	-,036
	RRE194	-,028	,066	,055	-,001	,159	,011
	RRE294	,010	,054	,045	-,015	,103	,025
	RRE394	-,006	,085	,069	,056	,164	-,006
	RE294	1,000	-,374	-,373	-,067	-,185	,246
	RS194	-,374	1,000	,998	,061	,110	-,101
	RS294	-,373	,998	1,000	,055	,103	-,089
	RS394	-,067	,061	,055	1,000	,683	-,105
	RS594	-,185	,110	,103	,683	1,000	-,132
	AT94	,246	-,101	-,089	-,105	-,132	1,000
	IN94	,316	-,093	-,082	-,095	-,117	,975
	FP94	,309	-,097	-,092	-,101	-,141	,950
	RDO94	,265	-,048	-,045	-,067	-,084	,702
	V94	,035	-,084	-,076	-,092	-,118	,608
Sig. (Unilateral)	AN94	,103	,343	,333	,259	,355	,490
	AAT94	,067	,437	,389	,291	,140	,373
	PA94	,401	,386	,364	,110	,326	,353
	RRE194	,384	,248	,285	,496	,048	,456
	RRE294	,460	,287	,322	,439	,141	,397
	RRE394	,475	,189	,236	,282	,044	,474
	RE294		,000	,000	,245	,026	,005
	RS194	,000		,000	,263	,126	,148
	RS294	,000	,000		,284	,141	,179
	RS394	,245	,263	,284		,000	,138
	RS594	,026	,126	,141	,000		,085
	AT94	,005	,148	,179	,138	,085	
	IN94	,000	,166	,198	,163	,112	,000
	FP94	,001	,157	,171	,147	,072	,000
	RDO94	,003	,310	,322	,245	,193	,000
	V94	,359	,190	,216	,170	,110	,000

**Matriz de correlaciones<sup>a</sup>**

		IN94	FP94	RDO94	V94
Correlación	AN94	,026	,102	,275	-,100
	AAT94	-,047	,053	,231	,082
	PA94	-,055	-,060	,030	,099
	RRE194	,026	,064	,443	,005
	RRE294	,043	,076	,441	,004
	RRE394	,003	,057	,438	,014
	RE294	,316	,309	,265	,035
	RS194	-,093	-,097	-,048	-,084
	RS294	-,082	-,092	-,045	-,076
	RS394	-,095	-,101	-,067	-,092
	RS594	-,117	-,141	-,084	-,118
	AT94	,975	,950	,702	,608
	IN94	1,000	,927	,675	,464
	FP94	,927	1,000	,764	,595
	RDO94	,675	,764	1,000	,561
	V94	,464	,595	,561	1,000
Sig. (Unilateral)	AN94	,395	,144	,002	,148
	AAT94	,313	,292	,008	,198
	PA94	,285	,268	,379	,151
	RRE194	,394	,253	,000	,481
	RRE294	,328	,214	,000	,482
	RRE394	,489	,277	,000	,442
	RE294	,000	,001	,003	,359
	RS194	,166	,157	,310	,190
	RS294	,198	,171	,322	,216
	RS394	,163	,147	,245	,170
	RS594	,112	,072	,193	,110
	AT94	,000	,000	,000	,000
	IN94		,000	,000	,000
	FP94	,000		,000	,000
	RDO94	,000	,000		,000
	V94	,000	,000	,000	

a. Determinante = 1,332E-10

**KMO y prueba de Bartlett**

Medida de adecuación muestral de Kaiser-Meyer-Olkin.		,636
Prueba de esfericidad de Bartlett	Chi-cuadrado aproximado	2338,334
	gl	120
	Sig.	,000



**Matrices anti-imagen**

		AN94	AAT94	PA94	RRE194	RRE294
Covarianza anti-imagen	AN94	,676	-,118	,142	1,300E-02	-1,323E-03
	AAT94	-,118	,531	-,288	1,547E-02	-1,576E-02
	PA94	,142	-,288	,620	9,304E-03	7,418E-03
	RRE194	1,300E-02	1,547E-02	9,304E-03	2,614E-02	-1,814E-02
	RRE294	-1,323E-03	-1,576E-02	7,418E-03	-1,814E-02	2,348E-02
	RRE394	-2,114E-02	-1,972E-04	-2,125E-02	-7,818E-03	-1,499E-02
	RE294	-3,239E-02	,162	-8,107E-02	2,443E-02	-1,261E-02
	RS194	8,925E-03	-2,713E-03	-1,070E-03	-1,701E-04	1,803E-03
	RS294	-9,070E-03	3,073E-03	9,920E-04	2,148E-04	-1,810E-03
	RS394	-2,189E-03	4,930E-02	9,428E-02	3,014E-02	-9,116E-03
	RS594	-1,506E-02	-5,750E-02	-6,384E-02	-3,785E-02	2,831E-02
	AT94	6,733E-03	1,426E-02	-5,754E-03	1,587E-03	9,847E-05
	IN94	4,053E-03	-5,724E-03	-1,350E-03	-9,515E-04	-1,320E-03
	FP94	-3,399E-02	-4,090E-02	4,417E-02	-1,025E-03	1,163E-03
	RDO94	-8,032E-02	-3,931E-02	-3,862E-02	-1,808E-02	1,137E-02
	V94	7,722E-02	-1,254E-02	-1,955E-02	1,756E-03	1,099E-04
Correlación anti-imagen	AN94	,559 <sup>a</sup>	-,197	,219	9,780E-02	-1,050E-02
	AAT94	-,197	,512 <sup>a</sup>	-,502	,131	-,141
	PA94	,219	-,502	,372 <sup>a</sup>	7,306E-02	6,146E-02
	RRE194	9,780E-02	,131	7,306E-02	,703 <sup>a</sup>	-,732
	RRE294	-1,050E-02	-,141	6,146E-02	-,732	,689 <sup>a</sup>
	RRE394	-,122	-1,282E-03	-,128	-,229	-,463
	RE294	-5,442E-02	,308	-,142	,209	-,114
	RS194	,215	-7,355E-02	-2,684E-02	-2,078E-02	,232
	RS294	-,217	8,301E-02	2,480E-02	2,615E-02	-,233
	RS394	-4,019E-03	,102	,181	,281	-8,979E-02
	RS594	-2,885E-02	-,124	-,128	-,369	,291
	AT94	7,097E-02	,169	-6,329E-02	8,502E-02	5,568E-03
	IN94	3,543E-02	-5,642E-02	-1,232E-02	-4,229E-02	-6,190E-02
	FP94	-,172	-,233	,233	-2,632E-02	3,151E-02
	RDO94	-,222	-,122	-,111	-,254	,169
	V94	,186	-3,409E-02	-4,918E-02	2,152E-02	1,421E-03

**Matrices anti-imagen**

		RRE394	RE294	RS194	RS294	RS394
Covarianza anti-imagen	AN94	-2,114E-02	-3,239E-02	8,925E-03	-9,070E-03	-2,189E-03
	AAT94	-1,972E-04	,162	-2,713E-03	3,073E-03	4,930E-02
	PA94	-2,125E-02	-8,107E-02	-1,070E-03	9,920E-04	9,428E-02
	RRE194	-7,818E-03	2,443E-02	-1,701E-04	2,148E-04	3,014E-02
	RRE294	-1,499E-02	-1,261E-02	1,803E-03	-1,810E-03	-9,116E-03
	RRE394	4,453E-02	-1,428E-02	-3,908E-03	3,848E-03	-2,662E-02
	RE294	-1,428E-02	,524	1,173E-03	-2,646E-04	6,194E-03
	RS194	-3,908E-03	1,173E-03	2,562E-03	-2,566E-03	-8,162E-04
	RS294	3,848E-03	-2,646E-04	-2,566E-03	2,580E-03	9,084E-04
	RS394	-2,662E-02	6,194E-03	-8,162E-04	9,084E-04	,439
	RS594	7,516E-04	2,124E-02	9,057E-04	-9,954E-04	-,298
	AT94	-2,779E-03	3,540E-02	8,481E-04	-7,898E-04	2,140E-03
	IN94	3,991E-03	-3,774E-02	-4,379E-05	-2,375E-05	-9,521E-04
	FP94	2,492E-03	-4,199E-02	-4,059E-03	4,021E-03	2,563E-03
	RDO94	-8,052E-03	-4,726E-02	2,566E-03	-2,670E-03	-4,223E-02
	V94	-2,823E-04	-3,915E-02	2,199E-03	-2,259E-03	1,723E-03
Correlación anti-imagen	AN94	-,122	-5,442E-02	,215	-,217	-4,019E-03
	AAT94	-1,282E-03	,308	-7,355E-02	8,301E-02	,102
	PA94	-,128	-,142	-2,684E-02	2,480E-02	,181
	RRE194	-,229	,209	-2,078E-02	2,615E-02	,281
	RRE294	-,463	-,114	,232	-,233	-8,979E-02
	RRE394	,777 <sup>a</sup>	-9,348E-02	-,366	,359	-,190
	RE294	-9,348E-02	,533 <sup>a</sup>	3,202E-02	-7,194E-03	1,291E-02
	RS194	-,366	3,202E-02	,464 <sup>a</sup>	-,998	-2,434E-02
	RS294	,359	-7,194E-03	-,998	,463 <sup>a</sup>	2,699E-02
	RS394	-,190	1,291E-02	-2,434E-02	2,699E-02	,440 <sup>a</sup>
	RS594	5,609E-03	4,620E-02	2,818E-02	-3,086E-02	-,709
	AT94	-,114	,424	,145	-,135	2,799E-02
	IN94	,136	-,375	-6,216E-03	-3,360E-03	-1,033E-02
	FP94	4,903E-02	-,241	-,333	,329	1,607E-02
	RDO94	-8,666E-02	-,148	,115	-,119	-,145
	V94	-2,650E-03	-,107	8,606E-02	-8,810E-02	5,151E-03

**Matrices anti-imagen**

		RS594	AT94	IN94	FP94
Covarianza anti-imagen	AN94	-1,506E-02	6,733E-03	4,053E-03	-3,399E-02
	AAT94	-5,750E-02	1,426E-02	-5,724E-03	-4,090E-02
	PA94	-6,384E-02	-5,754E-03	-1,350E-03	4,417E-02
	RRE194	-3,785E-02	1,587E-03	-9,515E-04	-1,025E-03
	RRE294	2,831E-02	9,847E-05	-1,320E-03	1,163E-03
	RRE394	7,516E-04	-2,779E-03	3,991E-03	2,492E-03
	RE294	2,124E-02	3,540E-02	-3,774E-02	-4,199E-02
	RS194	9,057E-04	8,481E-04	-4,379E-05	-4,059E-03
	RS294	-9,954E-04	-7,898E-04	-2,375E-05	4,021E-03
	RS394	-,298	2,140E-03	-9,521E-04	2,563E-03
	RS594	,403	7,568E-04	-5,192E-03	3,747E-03
	AT94	7,568E-04	1,332E-02	-1,437E-02	-1,173E-02
	IN94	-5,192E-03	-1,437E-02	1,937E-02	9,271E-04
	FP94	3,747E-03	-1,173E-02	9,271E-04	5,798E-02
	RDO94	5,239E-02	1,729E-03	-3,540E-03	-2,966E-02
	V94	-7,008E-03	-3,691E-02	4,885E-02	-3,656E-03
Correlación anti-imagen	AN94	-2,885E-02	7,097E-02	3,543E-02	-,172
	AAT94	-,124	,169	-5,642E-02	-,233
	PA94	-,128	-6,329E-02	-1,232E-02	,233
	RRE194	-,369	8,502E-02	-4,229E-02	-2,632E-02
	RRE294	,291	5,568E-03	-6,190E-02	3,151E-02
	RRE394	5,609E-03	-,114	,136	4,903E-02
	RE294	4,620E-02	,424	-,375	-,241
	RS194	2,818E-02	,145	-6,216E-03	-,333
	RS294	-3,086E-02	-,135	-3,360E-03	,329
	RS394	-,709	2,799E-02	-1,033E-02	1,607E-02
	RS594	,457 <sup>a</sup>	1,033E-02	-5,875E-02	2,451E-02
	AT94	1,033E-02	,630 <sup>a</sup>	-,894	-,422
	IN94	-5,875E-02	-,894	,643 <sup>a</sup>	2,767E-02
	FP94	2,451E-02	-,422	2,767E-02	,809 <sup>a</sup>
	RDO94	,187	3,403E-02	-5,777E-02	-,280
	V94	-2,186E-02	-,633	,695	-3,008E-02

**Matrices anti-imagen**

		RDO94	V94
Covarianza anti-imagen	AN94	-8,032E-02	7,722E-02
	AAT94	-3,931E-02	-1,254E-02
	PA94	-3,862E-02	-1,955E-02
	RRE194	-1,808E-02	1,756E-03
	RRE294	1,137E-02	1,099E-04
	RRE394	-8,052E-03	-2,823E-04
	RE294	-4,726E-02	-3,915E-02
	RS194	2,566E-03	2,199E-03
	RS294	-2,670E-03	-2,259E-03
	RS394	-4,223E-02	1,723E-03
	RS594	5,239E-02	-7,008E-03
	AT94	1,729E-03	-3,691E-02
	IN94	-3,540E-03	4,885E-02
	FP94	-2,966E-02	-3,656E-03
	RDO94	,194	-5,890E-02
V94	-5,890E-02	,255	
Correlación anti-imagen	AN94	-,222	,186
	AAT94	-,122	-3,409E-02
	PA94	-,111	-4,918E-02
	RRE194	-,254	2,152E-02
	RRE294	,169	1,421E-03
	RRE394	-8,666E-02	-2,650E-03
	RE294	-,148	-,107
	RS194	,115	8,606E-02
	RS294	-,119	-8,810E-02
	RS394	-,145	5,151E-03
	RS594	,187	-2,186E-02
	AT94	3,403E-02	-,633
	IN94	-5,777E-02	,695
	FP94	-,280	-3,008E-02
	RDO94	,859 <sup>a</sup>	-,265
V94	-,265	,563 <sup>a</sup>	

a. Medida de adecuación muestral

**Comunalidades**

	Inicial	Extracción
AN94	1,000	,223
AAT94	1,000	,702
PA94	1,000	,743
RRE194	1,000	,942
RRE294	1,000	,948
RRE394	1,000	,942
RE294	1,000	,462
RS194	1,000	,954
RS294	1,000	,956
RS394	1,000	,859
RS594	1,000	,853
AT94	1,000	,951
IN94	1,000	,892
FP94	1,000	,944
RDO94	1,000	,850
V94	1,000	,557

Método de extracción: Análisis de Componentes principales.

**Varianza total explicada**

Componente	Autovalores iniciales			Sumas de las saturaciones al cuadrado de la extracción		
	Total	% de la varianza	% acumulado	Total	% de la varianza	% acumulado
1	4,292	26,825	26,825	4,292	26,825	26,825
2	3,318	20,736	47,561	3,318	20,736	47,561
3	2,087	13,042	60,604	2,087	13,042	60,604
4	1,599	9,993	70,597	1,599	9,993	70,597
5	1,483	9,269	79,866	1,483	9,269	79,866
6	1,015	6,343	86,208			
7	,756	4,726	90,934			
8	,531	3,318	94,252			
9	,363	2,271	96,523			
10	,277	1,734	98,256			
11	,166	1,040	99,296			
12	5,469E-02	,342	99,638			
13	3,417E-02	,214	99,852			
14	1,434E-02	8,965E-02	99,941			
15	8,124E-03	5,078E-02	99,992			
16	1,271E-03	7,944E-03	100,000			

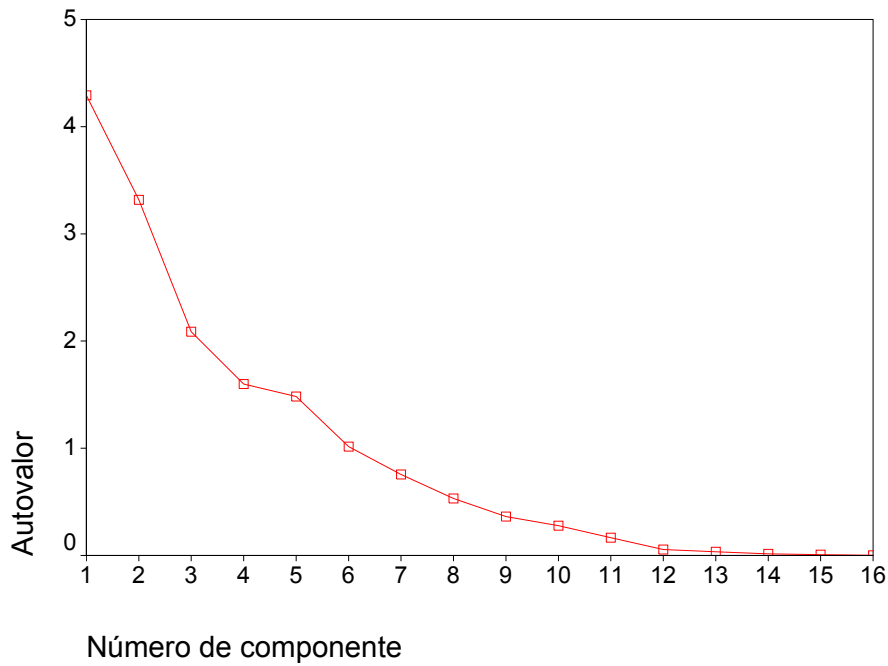
Método de extracción: Análisis de Componentes principales.

**Varianza total explicada**

Componente	Suma de las saturaciones al cuadrado de la rotación		
	Total	% de la varianza	% acumulado
1	3,945	24,658	24,658
2	3,323	20,767	45,426
3	2,240	13,998	59,424
4	1,690	10,561	69,984
5	1,581	9,882	79,866
6			
7			
8			
9			
10			
11			
12			
13			
14			
15			
16			

Método de extracción: Análisis de Componentes principales.

## Gráfico de sedimentación



**Matriz de componentes<sup>a</sup>**

	Componente				
	1	2	3	4	5
AN94					
AAT94					,641
PA94				-,413	,751
RRE194	,403	,858			
RRE294	,419	,845			
RRE394		,870			
RE294			-,432		
RS194			,881		
RS294			,888		
RS394				,837	
RS594				,702	,439
AT94	,868				
IN94	,846				
FP94	,900				
RDO94	,906				
V94	,620				

Método de extracción: Análisis de componentes principales.

a. 5 componentes extraídos

**Matriz de componentes rotados<sup>a</sup>**

	Componente				
	1	2	3	4	5
AN94		,450			
AAT94					,791
PA94					,849
RRE194		,964			
RRE294		,969			
RRE394		,959			
RE294			-,559		
RS194			,972		
RS294			,973		
RS394				,917	
RS594				,901	
AT94	,970				
IN94	,932				
FP94	,963				
RDO94	,791	,458			
V94	,707				

Método de extracción: Análisis de componentes principales.

Método de rotación: Normalización Varimax con Kaiser.

a. La rotación ha convergido en 5 iteraciones.

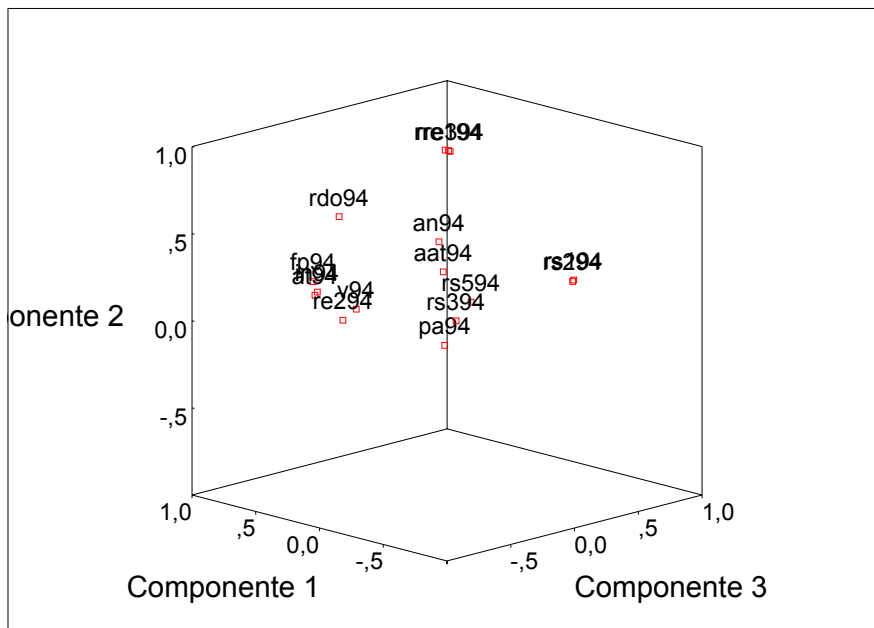
**Matriz de transformación de las componentes**

Componente	1	2	3	4	5
1	,891	,398	-,184	-,110	,043
2	-,310	,864	,288	,201	,183
3	,303	-,203	,913	,139	-,118
4	,085	-,004	-,218	,864	-,445
5	,106	-,232	-,039	,425	,868

Método de extracción: Análisis de componentes principales.

Método de rotación: Normalización Varimax con Kaiser.

## Gráfico de componentes en espacio rotado



T U A L



### Matriz de coeficientes para el cálculo de las puntuaciones en las componentes

	Componente				
	1	2	3	4	5
AN94	-,010	,149	-,022	,014	-,111
AAT94	,011	,027	-,001	,018	,495
PA94	,016	-,104	,001	-,012	,560
RRE194	-,031	,297	-,005	-,023	-,006
RRE294	-,032	,300	-,011	-,045	-,013
RRE394	-,029	,292	-,003	-,003	,014
RE294	,027	,044	-,241	-,042	-,167
RS194	,043	-,001	,447	-,038	-,053
RS294	,046	-,004	,448	-,040	-,058
RS394	,035	-,024	-,037	,558	-,069
RS594	,026	-,008	-,005	,540	,071
AT94	,256	-,043	,023	,030	-,029
IN94	,243	-,028	,011	,032	-,069
FP94	,249	-,016	,012	,023	-,029
RDO94	,189	,107	,007	,001	,042
V94	,194	-,066	,039	,012	,159

Método de extracción: Análisis de componentes principales.

Método de rotación: Normalización Varimax con Kaiser.



### Matriz de covarianza de las puntuaciones de las componentes

Componente	1	2	3	4	5
1	1,000	-1,040E-16	,000	,000	,000
2	-1,040E-16	1,000	,000	,000	,000
3	,000	,000	1,000	,000	,000
4	,000	,000	,000	1,000	,000
5	,000	,000	,000	,000	1,000

Método de extracción: Análisis de componentes principales.

Método de rotación: Normalización Varimax con Kaiser.

# Análisis factorial

Matriz de correlaciones<sup>a</sup>

		AN95	AAT95	PA95	RRE195	RRE295	RRE395
Correlación	AN95	1,000	,036	-,205	,222	,226	,312
	AAT95	,036	1,000	,705	,232	,252	,338
	PA95	-,205	,705	1,000	,001	,001	,044
	RRE195	,222	,232	,001	1,000	,987	,769
	RRE295	,226	,252	,001	,987	1,000	,742
	RRE395	,312	,338	,044	,769	,742	1,000
	RE295	,000	-,112	-,049	-,071	-,067	,047
	RS195	-,006	-,001	-,027	,086	,084	,032
	RS295	-,020	-,007	-,026	,068	,068	,009
	RS395	-,019	-,023	-,073	,045	,032	,068
	RS595	-,060	,037	-,106	,026	,011	,018
	AT95	,063	-,076	-,059	-,029	-,024	-,026
	IN95	,031	-,069	-,049	-,007	,000	-,008
	FP95	,150	-,044	-,058	,032	,032	,073
	RDO95	,132	,164	,023	,420	,401	,558
	V95	,247	-,080	-,113	-,050	-,053	-,021
Sig. (Unilateral)	AN95		,354	,016	,010	,009	,000
	AAT95	,354		,000	,007	,004	,000
	PA95	,016	,000		,496	,498	,325
	RRE195	,010	,007	,496		,000	,000
	RRE295	,009	,004	,498	,000		,000
	RRE395	,000	,000	,325	,000	,000	
	RE295	,499	,123	,306	,232	,245	,312
	RS195	,474	,495	,390	,186	,191	,370
	RS295	,419	,473	,394	,239	,239	,463
	RS395	,421	,404	,225	,322	,369	,241
	RS595	,267	,351	,136	,394	,455	,427
	AT95	,256	,216	,269	,381	,402	,393
	IN95	,375	,238	,305	,470	,499	,465
	FP95	,058	,325	,274	,370	,368	,225
	RDO95	,084	,043	,408	,000	,000	,000
	V95	,005	,204	,120	,302	,291	,414

Matriz de correlaciones<sup>a</sup>

		RE295	RS195	RS295	RS395	RS595	AT95
Correlación	AN95	,000	-,006	-,020	-,019	-,060	,063
	AAT95	-,112	-,001	-,007	-,023	,037	-,076
	PA95	-,049	-,027	-,026	-,073	-,106	-,059
	RRE195	-,071	,086	,068	,045	,026	-,029
	RRE295	-,067	,084	,068	,032	,011	-,024
	RRE395	,047	,032	,009	,068	,018	-,026
	RE295	1,000	-,360	-,363	-,120	-,159	,294
	RS195	-,360	1,000	,997	,093	,129	-,099
	RS295	-,363	,997	1,000	,087	,129	-,095
	RS395	-,120	,093	,087	1,000	,825	-,150
	RS595	-,159	,129	,129	,825	1,000	-,130
	AT95	,294	-,099	-,095	-,150	-,130	1,000
	IN95	,363	-,091	-,086	-,139	-,114	,974
	FP95	,360	-,100	-,102	-,150	-,144	,951
	RDO95	,278	-,039	-,046	-,064	-,099	,549
	V95	,070	-,077	-,080	-,121	-,117	,627
Sig. (Unilateral)	AN95	,499	,474	,419	,421	,267	,256
	AAT95	,123	,495	,473	,404	,351	,216
	PA95	,306	,390	,394	,225	,136	,269
	RRE195	,232	,186	,239	,322	,394	,381
	RRE295	,245	,191	,239	,369	,455	,402
	RRE395	,312	,370	,463	,241	,427	,393
	RE295		,000	,000	,105	,049	,001
	RS195	,000		,000	,166	,089	,152
	RS295	,000	,000		,183	,090	,163
	RS395	,105	,166	,183		,000	,059
	RS595	,049	,089	,090	,000		,088
	AT95	,001	,152	,163	,059	,088	
	IN95	,000	,173	,186	,074	,118	,000
	FP95	,000	,150	,145	,059	,066	,000
	RDO95	,002	,343	,315	,253	,152	,000
	V95	,233	,211	,203	,105	,112	,000

**Matriz de correlaciones<sup>a</sup>**

		IN95	FP95	RDO95	V95
Correlación	AN95	,031	,150	,132	,247
	AAT95	-,069	-,044	,164	-,080
	PA95	-,049	-,058	,023	-,113
	RRE195	-,007	,032	,420	-,050
	RRE295	,000	,032	,401	-,053
	RRE395	-,008	,073	,558	-,021
	RE295	,363	,360	,278	,070
	RS195	-,091	-,100	-,039	-,077
	RS295	-,086	-,102	-,046	-,080
	RS395	-,139	-,150	-,064	-,121
	RS595	-,114	-,144	-,099	-,117
	AT95	,974	,951	,549	,627
	IN95	1,000	,927	,543	,482
	FP95	,927	1,000	,661	,675
	RDO95	,543	,661	1,000	,426
	V95	,482	,675	,426	1,000
Sig. (Unilateral)	AN95	,375	,058	,084	,005
	AAT95	,238	,325	,043	,204
	PA95	,305	,274	,408	,120
	RRE195	,470	,370	,000	,302
	RRE295	,499	,368	,000	,291
	RRE395	,465	,225	,000	,414
	RE295	,000	,000	,002	,233
	RS195	,173	,150	,343	,211
	RS295	,186	,145	,315	,203
	RS395	,074	,059	,253	,105
	RS595	,118	,066	,152	,112
	AT95	,000	,000	,000	,000
	IN95		,000	,000	,000
	FP95	,000		,000	,000
	RDO95	,000	,000		,000
	V95	,000	,000	,000	

a. Determinante = 4,065E-10

**KMO y prueba de Bartlett**

Medida de adecuación muestral de Kaiser-Meyer-Olkin.		,601
Prueba de esfericidad de Bartlett	Chi-cuadrado aproximado	2223,615
	gl	120
	Sig.	,000

**Matrices anti-imagen**

		AN95	AAT95	PA95	RRE195	RRE295
Covarianza anti-imagen	AN95	,683	-6,361E-02	,121	4,904E-03	-4,969E-03
	AAT95	-6,361E-02	,319	-,264	2,578E-02	-2,705E-02
	PA95	,121	-,264	,369	-1,944E-02	2,122E-02
	RRE195	4,904E-03	2,578E-02	-1,944E-02	1,864E-02	-1,911E-02
	RRE295	-4,969E-03	-2,705E-02	2,122E-02	-1,911E-02	2,058E-02
	RRE395	-,105	-7,661E-02	4,602E-02	-2,076E-02	1,330E-02
	RE295	3,405E-02	5,788E-02	-1,768E-02	1,125E-02	-7,773E-03
	RS195	4,321E-04	-1,318E-03	1,457E-03	-1,061E-03	1,066E-03
	RS295	-3,811E-04	1,489E-03	-1,506E-03	1,079E-03	-1,087E-03
	RS395	-3,170E-02	7,919E-02	-6,982E-02	9,470E-03	-9,352E-03
	RS595	4,862E-02	-9,480E-02	9,627E-02	-1,292E-02	1,346E-02
	AT95	1,380E-02	-1,958E-04	7,604E-04	-3,163E-04	5,810E-04
	IN95	-2,930E-03	1,089E-03	1,111E-04	6,403E-04	-1,089E-03
	FP95	-4,141E-02	-6,243E-04	-4,878E-03	-2,415E-04	5,565E-04
	RDO95	,116	-1,660E-02	1,257E-02	-5,372E-03	5,099E-03
	V95	-5,918E-02	4,418E-03	8,587E-03	9,338E-04	-1,172E-03
Correlación anti-imagen	AN95	,504 <sup>a</sup>	-,136	,242	4,345E-02	-4,191E-02
	AAT95	-,136	,415 <sup>a</sup>	-,770	,334	-,334
	PA95	,242	-,770	,383 <sup>a</sup>	-,234	,244
	RRE195	4,345E-02	,334	-,234	,586 <sup>a</sup>	-,976
	RRE295	-4,191E-02	-,334	,244	-,976	,593 <sup>a</sup>
	RRE395	-,265	-,284	,159	-,319	,194
	RE295	5,452E-02	,136	-3,852E-02	,109	-7,171E-02
	RS195	8,221E-03	-3,669E-02	3,773E-02	-,122	,117
	RS295	-7,259E-03	4,150E-02	-3,903E-02	,124	-,119
	RS395	-7,184E-02	,263	-,215	,130	-,122
	RS595	,114	-,324	,306	-,183	,181
	AT95	,131	-2,718E-03	9,816E-03	-1,817E-02	3,176E-02
	IN95	-2,565E-02	1,395E-02	1,324E-03	3,392E-02	-5,494E-02
	FP95	-,233	-5,149E-03	-3,741E-02	-8,241E-03	1,807E-02
	RDO95	,279	-5,854E-02	4,123E-02	-7,837E-02	7,081E-02
	V95	-,155	1,698E-02	3,070E-02	1,485E-02	-1,774E-02

**Matrices anti-imagen**

		RRE395	RE295	RS195	RS295	RS395
Covarianza anti-imagen	AN95	-,105	3,405E-02	4,321E-04	-3,811E-04	-3,170E-02
	AAT95	-7,661E-02	5,788E-02	-1,318E-03	1,489E-03	7,919E-02
	PA95	4,602E-02	-1,768E-02	1,457E-03	-1,506E-03	-6,982E-02
	RRE195	-2,076E-02	1,125E-02	-1,061E-03	1,079E-03	9,470E-03
	RRE295	1,330E-02	-7,773E-03	1,066E-03	-1,087E-03	-9,352E-03
	RRE395	,227	-4,050E-02	-5,470E-03	5,453E-03	-2,405E-02
	RE295	-4,050E-02	,571	-1,064E-03	2,349E-03	3,929E-03
	RS195	-5,470E-03	-1,064E-03	4,044E-03	-4,030E-03	-4,280E-03
	RS295	5,453E-03	2,349E-03	-4,030E-03	4,036E-03	4,359E-03
	RS395	-2,405E-02	3,929E-03	-4,280E-03	4,359E-03	,285
	RS595	1,984E-02	1,606E-02	3,353E-03	-3,503E-03	-,231
	AT95	-2,817E-03	3,396E-02	5,547E-04	-4,723E-04	-2,951E-03
	IN95	2,760E-03	-3,119E-02	4,421E-04	-5,168E-04	3,893E-03
	FP95	1,149E-02	-3,291E-02	-3,357E-03	3,298E-03	1,697E-03
	RDO95	-,114	-1,549E-02	6,687E-03	-6,755E-03	-1,894E-02
	V95	2,192E-02	-9,960E-03	3,825E-04	-4,072E-04	1,182E-02
Correlación anti-imagen	AN95	-,265	5,452E-02	8,221E-03	-7,259E-03	-7,184E-02
	AAT95	-,284	,136	-3,669E-02	4,150E-02	,263
	PA95	,159	-3,852E-02	3,773E-02	-3,903E-02	-,215
	RRE195	-,319	,109	-,122	,124	,130
	RRE295	,194	-7,171E-02	,117	-,119	-,122
	RRE395	,717 <sup>a</sup>	-,112	-,180	,180	-9,449E-02
	RE295	-,112	,707 <sup>a</sup>	-2,214E-02	4,894E-02	9,740E-03
	RS195	-,180	-2,214E-02	,501 <sup>a</sup>	-,998	-,126
	RS295	,180	4,894E-02	-,998	,499 <sup>a</sup>	,129
	RS395	-9,449E-02	9,740E-03	-,126	,129	,473 <sup>a</sup>
	RS595	8,033E-02	4,103E-02	,102	-,106	-,835
	AT95	-4,632E-02	,352	6,839E-02	-5,830E-02	-4,334E-02
	IN95	4,187E-02	-,299	5,029E-02	-5,885E-02	5,276E-02
	FP95	,112	-,203	-,246	,242	1,481E-02
	RDO95	-,477	-4,084E-02	,209	-,212	-7,066E-02
	V95	9,980E-02	-2,862E-02	1,306E-02	-1,392E-02	4,807E-02

**Matrices anti-imagen**

		RS595	AT95	IN95	FP95
Covarianza anti-imagen	AN95	4,862E-02	1,380E-02	-2,930E-03	-4,141E-02
	AAT95	-9,480E-02	-1,958E-04	1,089E-03	-6,243E-04
	PA95	9,627E-02	7,604E-04	1,111E-04	-4,878E-03
	RRE195	-1,292E-02	-3,163E-04	6,403E-04	-2,415E-04
	RRE295	1,346E-02	5,810E-04	-1,089E-03	5,565E-04
	RRE395	1,984E-02	-2,817E-03	2,760E-03	1,149E-02
	RE295	1,606E-02	3,396E-02	-3,119E-02	-3,291E-02
	RS195	3,353E-03	5,547E-04	4,421E-04	-3,357E-03
	RS295	-3,503E-03	-4,723E-04	-5,168E-04	3,298E-03
	RS395	-,231	-2,951E-03	3,893E-03	1,697E-03
	RS595	,268	5,177E-03	-6,532E-03	-3,065E-04
	AT95	5,177E-03	1,627E-02	-1,546E-02	-5,901E-03
	IN95	-6,532E-03	-1,546E-02	1,911E-02	-7,088E-03
	FP95	-3,065E-04	-5,901E-03	-7,088E-03	4,608E-02
	RDO95	2,203E-02	8,010E-03	-6,104E-05	-4,869E-02
	V95	-1,390E-02	-3,621E-02	4,654E-02	-3,496E-02
Correlación anti-imagen	AN95	,114	,131	-2,565E-02	-,233
	AAT95	-,324	-2,718E-03	1,395E-02	-5,149E-03
	PA95	,306	9,816E-03	1,324E-03	-3,741E-02
	RRE195	-,183	-1,817E-02	3,392E-02	-8,241E-03
	RRE295	,181	3,176E-02	-5,494E-02	1,807E-02
	RRE395	8,033E-02	-4,632E-02	4,187E-02	,112
	RE295	4,103E-02	,352	-,299	-,203
	RS195	,102	6,839E-02	5,029E-02	-,246
	RS295	-,106	-5,830E-02	-5,885E-02	,242
	RS395	-,835	-4,334E-02	5,276E-02	1,481E-02
	RS595	,447 <sup>a</sup>	7,838E-02	-9,125E-02	-2,757E-03
	AT95	7,838E-02	,664 <sup>a</sup>	-,877	-,216
	IN95	-9,125E-02	-,877	,631 <sup>a</sup>	-,239
	FP95	-2,757E-03	-,216	-,239	,813 <sup>a</sup>
	RDO95	8,473E-02	,125	-8,796E-04	-,452
	V95	-5,825E-02	-,616	,731	-,354

**Matrices anti-imagen**

		RDO95	V95
Covarianza anti-imagen	AN95	,116	-5,918E-02
	AAT95	-1,660E-02	4,418E-03
	PA95	1,257E-02	8,587E-03
	RRE195	-5,372E-03	9,338E-04
	RRE295	5,099E-03	-1,172E-03
	RRE395	-,114	2,192E-02
	RE295	-1,549E-02	-9,960E-03
	RS195	6,687E-03	3,825E-04
	RS295	-6,755E-03	-4,072E-04
	RS395	-1,894E-02	1,182E-02
	RS595	2,203E-02	-1,390E-02
	AT95	8,010E-03	-3,621E-02
	IN95	-6,104E-05	4,654E-02
	FP95	-4,869E-02	-3,496E-02
	RDO95	,252	-1,644E-02
V95	-1,644E-02	,212	
Correlación anti-imagen	AN95	,279	-,155
	AAT95	-5,854E-02	1,698E-02
	PA95	4,123E-02	3,070E-02
	RRE195	-7,837E-02	1,485E-02
	RRE295	7,081E-02	-1,774E-02
	RRE395	-,477	9,980E-02
	RE295	-4,084E-02	-2,862E-02
	RS195	,209	1,306E-02
	RS295	-,212	-1,392E-02
	RS395	-7,066E-02	4,807E-02
	RS595	8,473E-02	-5,825E-02
	AT95	,125	-,616
	IN95	-8,796E-04	,731
	FP95	-,452	-,354
	RDO95	,755 <sup>a</sup>	-7,112E-02
V95	-7,112E-02	,562 <sup>a</sup>	

a. Medida de adecuación muestral

**Comunalidades**

	Inicial	Extracción
AN95	1,000	,286
AAT95	1,000	,817
PA95	1,000	,876
RRE195	1,000	,897
RRE295	1,000	,880
RRE395	1,000	,827
RE295	1,000	,403
RS195	1,000	,954
RS295	1,000	,956
RS395	1,000	,907
RS595	1,000	,915
AT95	1,000	,940
IN95	1,000	,881
FP95	1,000	,968
RDO95	1,000	,737
V95	1,000	,528

Método de extracción: Análisis de Componentes principales.



**Varianza total explicada**

Componente	Autovalores iniciales			Sumas de las saturaciones al cuadrado de la extracción		
	Total	% de la varianza	% acumulado	Total	% de la varianza	% acumulado
1	4,159	25,992	25,992	4,159	25,992	25,992
2	3,156	19,725	45,717	3,156	19,725	45,717
3	2,137	13,354	59,071	2,137	13,354	59,071
4	1,743	10,895	69,966	1,743	10,895	69,966
5	1,576	9,850	79,816	1,576	9,850	79,816
6	1,016	6,348	86,164			
7	,735	4,593	90,757			
8	,498	3,115	93,872			
9	,361	2,258	96,130			
10	,259	1,618	97,748			
11	,168	1,048	98,796			
12	,135	,843	99,639			
13	3,669E-02	,229	99,868			
14	1,008E-02	6,300E-02	99,931			
15	9,043E-03	5,652E-02	99,987			
16	2,006E-03	1,254E-02	100,000			

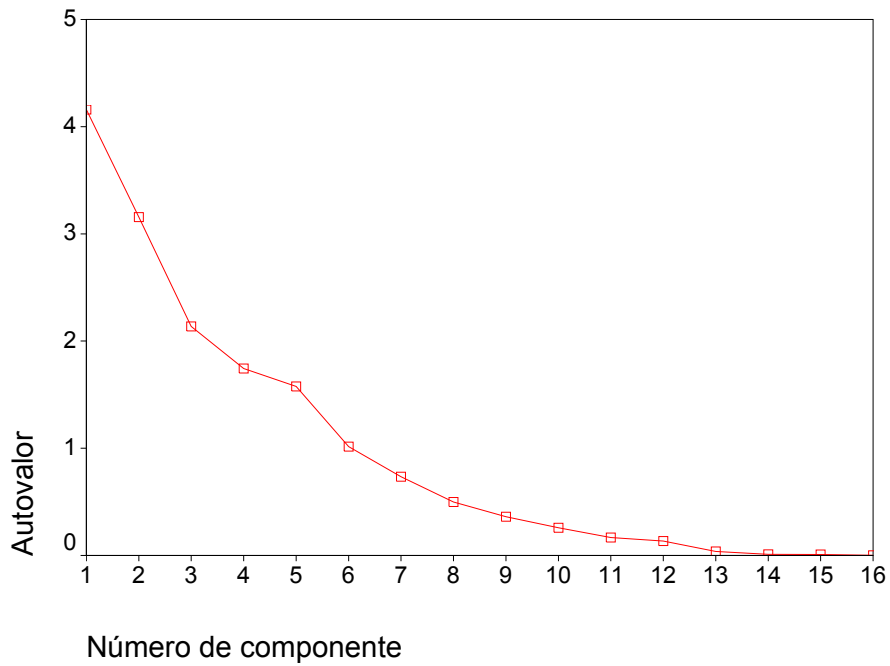
Método de extracción: Análisis de Componentes principales.

**Varianza total explicada**

Componente	Suma de las saturaciones al cuadrado de la rotación		
	Total	% de la varianza	% acumulado
1	3,839	23,992	23,992
2	3,092	19,325	43,317
3	2,231	13,941	57,258
4	1,836	11,476	68,734
5	1,773	11,082	79,816
6			
7			
8			
9			
10			
11			
12			
13			
14			
15			
16			

Método de extracción: Análisis de Componentes principales.

## Gráfico de sedimentación



**Matriz de componentes<sup>a</sup>**

	Componente				
	1	2	3	4	5
AN95					
AAT95		,451		,426	,580
PA95				,569	,640
RRE195		,900			
RRE295		,892			
RRE395		,849			
RE295	,449				
RS195			,803	,410	
RS295			,806	,417	
RS395				-,648	,517
RS595				-,607	,543
AT95	,900				
IN95	,876				
FP95	,943				
RDO95	,762				
V95	,670				

Método de extracción: Análisis de componentes principales.

a. 5 componentes extraídos

**Matriz de componentes rotados<sup>a</sup>**

	Componente				
	1	2	3	4	5
AN95		,418			
AAT95					,865
PA95					,928
RRE195		,943			
RRE295		,934			
RRE395		,897			
RE295			-,530		
RS195			,975		
RS295			,977		
RS395				,945	
RS595				,948	
AT95	,964				
IN95	,934				
FP95	,976				
RDO95	,666	,523			
V95	,709				

Método de extracción: Análisis de componentes principales.

Método de rotación: Normalización Varimax con Kaiser.

a. La rotación ha convergido en 5 iteraciones.

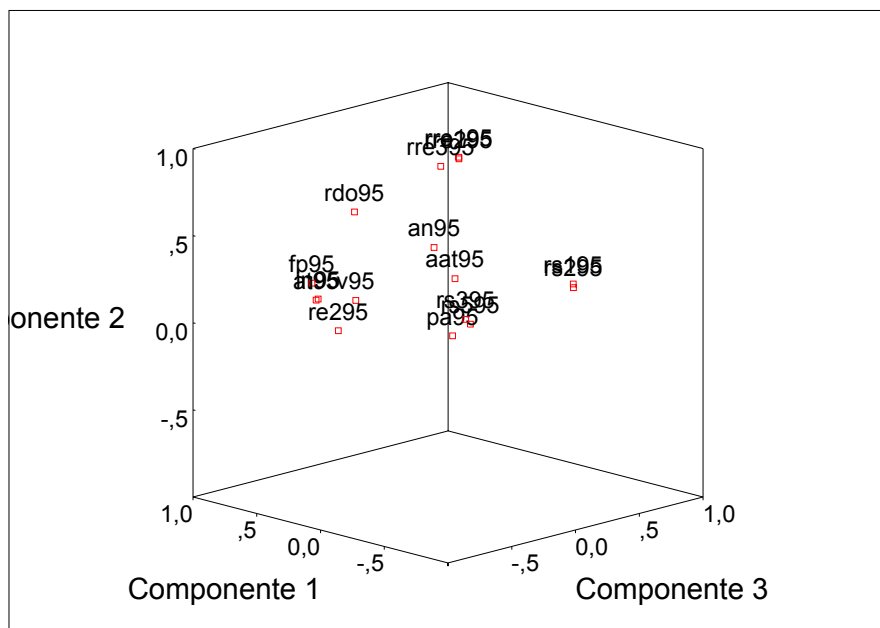
**Matriz de transformación de las componentes**

Componente	1	2	3	4	5
1	,916	,260	-,246	-,179	-,029
2	-,160	,916	,245	,138	,235
3	,314	-,132	,809	,355	-,323
4	,054	-,153	,468	-,678	,543
5	,185	-,226	-,079	,603	,738

Método de extracción: Análisis de componentes principales.

Método de rotación: Normalización Varimax con Kaiser.

## Gráfico de componentes en espacio rotado



T U A L



### Matriz de coeficientes para el cálculo de las puntuaciones en las componentes

	Componente				
	1	2	3	4	5
AN95	-,008	,160	-,010	-,061	-,206
AAT95	,013	,029	,004	,025	,485
PA95	,021	-,081	,008	-,023	,540
RRE195	-,036	,312	,004	-,006	-,030
RRE295	-,036	,309	,006	-,014	-,025
RRE395	-,020	,291	-,033	,017	,021
RE295	,055	,003	-,225	-,004	-,033
RS195	,054	-,009	,454	-,034	-,008
RS295	,055	-,016	,455	-,035	-,006
RS395	,026	-,004	-,039	,527	,002
RS595	,036	-,021	-,013	,528	,019
AT95	,263	-,048	,026	,029	,025
IN95	,255	-,043	,017	,038	,035
FP95	,261	-,014	,015	,023	,016
RDO95	,165	,143	-,004	,026	,059
V95	,187	-,018	,037	-,009	-,057

Método de extracción: Análisis de componentes principales.

Método de rotación: Normalización Varimax con Kaiser.

### Matriz de covarianza de las puntuaciones de las componentes

Componente	1	2	3	4	5
1	1,000	,000	,000	,000	,000
2	,000	1,000	,000	,000	,000
3	,000	,000	1,000	,000	,000
4	,000	,000	,000	1,000	,000
5	,000	,000	,000	,000	1,000

Método de extracción: Análisis de componentes principales.

Método de rotación: Normalización Varimax con Kaiser.

## Análisis factorial

Matriz de correlaciones<sup>a</sup>

		AN96	AAT96	PA96	RRE196	RRE296	RRE396
Correlación	AN96	1,000	-,251	-,085	-,362	-,382	-,432
	AAT96	-,251	1,000	,716	,192	,207	,237
	PA96	-,085	,716	1,000	-,040	-,032	-,018
	RRE196	-,362	,192	-,040	1,000	,969	,903
	RRE296	-,382	,207	-,032	,969	1,000	,911
	RRE396	-,432	,237	-,018	,903	,911	1,000
	RE296	,007	,024	-,037	-,164	-,150	-,087
	RS196	-,070	-,070	-,045	,097	,076	,050
	RS296	-,045	-,075	-,040	,086	,068	,039
	RS396	-,076	-,089	-,029	,136	,103	,152
	RS596	-,007	-,050	-,038	-,019	-,036	-,015
	AT96	-,016	,093	,023	-,025	-,019	-,025
	IN96	-,021	,104	,019	-,014	-,009	-,022
	FP96	-,058	,096	,012	,011	,010	,018
	RDO96	-,131	,097	-,040	,269	,271	,303
	V96	-,028	,042	,006	-,041	-,047	-,019
Sig. (Unilateral)	AN96		,004	,188	,000	,000	,000
	AAT96	,004		,000	,023	,015	,006
	PA96	,188	,000		,338	,369	,426
	RRE196	,000	,023	,338		,000	,000
	RRE296	,000	,015	,369	,000		,000
	RRE396	,000	,006	,426	,000	,000	
	RE296	,473	,401	,352	,043	,059	,184
	RS196	,232	,235	,319	,156	,215	,303
	RS296	,321	,218	,339	,185	,242	,343
	RS396	,216	,178	,383	,078	,141	,056
	RS596	,472	,303	,346	,424	,355	,437
	AT96	,436	,166	,406	,399	,422	,398
	IN96	,412	,140	,421	,440	,464	,409
	FP96	,274	,159	,451	,454	,458	,426
	RDO96	,087	,156	,338	,002	,002	,001
	V96	,385	,333	,473	,334	,312	,420

Matriz de correlaciones<sup>a</sup>

		RE296	RS196	RS296	RS396	RS596	AT96
Correlación	AN96	,007	-,070	-,045	-,076	-,007	-,016
	AAT96	,024	-,070	-,075	-,089	-,050	,093
	PA96	-,037	-,045	-,040	-,029	-,038	,023
	RRE196	-,164	,097	,086	,136	-,019	-,025
	RRE296	-,150	,076	,068	,103	-,036	-,019
	RRE396	-,087	,050	,039	,152	-,015	-,025
	RE296	1,000	-,358	-,359	-,114	,061	,290
	RS196	-,358	1,000	,998	,089	,015	-,095
	RS296	-,359	,998	1,000	,084	,014	-,089
	RS396	-,114	,089	,084	1,000	,513	-,145
	RS596	,061	,015	,014	,513	1,000	-,122
	AT96	,290	-,095	-,089	-,145	-,122	1,000
	IN96	,351	-,088	-,083	-,133	-,106	,978
	FP96	,340	-,093	-,092	-,139	-,127	,971
	RDO96	,274	-,072	-,074	-,096	-,116	,785
	V96	,047	-,069	-,070	-,120	-,114	,606
Sig. (Unilateral)	AN96	,473	,232	,321	,216	,472	,436
	AAT96	,401	,235	,218	,178	,303	,166
	PA96	,352	,319	,339	,383	,346	,406
	RRE196	,043	,156	,185	,078	,424	,399
	RRE296	,059	,215	,242	,141	,355	,422
	RRE396	,184	,303	,343	,056	,437	,398
	RE296		,000	,000	,119	,265	,001
	RS196	,000		,000	,176	,438	,162
	RS296	,000	,000		,192	,443	,177
	RS396	,119	,176	,192		,000	,066
	RS596	,265	,438	,443	,000		,102
	AT96	,001	,162	,177	,066	,102	
	IN96	,000	,180	,195	,083	,136	,000
	FP96	,000	,168	,168	,074	,093	,000
	RDO96	,002	,227	,221	,158	,114	,000
	V96	,313	,237	,234	,106	,118	,000

**Matriz de correlaciones<sup>a</sup>**

		IN96	FP96	RDO96	V96
Correlación	AN96	-,021	-,058	-,131	-,028
	AAT96	,104	,096	,097	,042
	PA96	,019	,012	-,040	,006
	RRE196	-,014	,011	,269	-,041
	RRE296	-,009	,010	,271	-,047
	RRE396	-,022	,018	,303	-,019
	RE296	,351	,340	,274	,047
	RS196	-,088	-,093	-,072	-,069
	RS296	-,083	-,092	-,074	-,070
	RS396	-,133	-,139	-,096	-,120
	RS596	-,106	-,127	-,116	-,114
	AT96	,978	,971	,785	,606
	IN96	1,000	,959	,757	,459
	FP96	,959	1,000	,838	,605
	RDO96	,757	,838	1,000	,542
	V96	,459	,605	,542	1,000
Sig. (Unilateral)	AN96	,412	,274	,087	,385
	AAT96	,140	,159	,156	,333
	PA96	,421	,451	,338	,473
	RRE196	,440	,454	,002	,334
	RRE296	,464	,458	,002	,312
	RRE396	,409	,426	,001	,420
	RE296	,000	,000	,002	,313
	RS196	,180	,168	,227	,237
	RS296	,195	,168	,221	,234
	RS396	,083	,074	,158	,106
	RS596	,136	,093	,114	,118
	AT96	,000	,000	,000	,000
	IN96		,000	,000	,000
	FP96	,000		,000	,000
	RDO96	,000	,000		,000
	V96	,000	,000	,000	

a. Determinante = 3,402E-10

**KMO y prueba de Bartlett**

Medida de adecuación muestral de Kaiser-Meyer-Olkin.		,651
Prueba de esfericidad de Bartlett	Chi-cuadrado aproximado	2241,916
	gl	120
	Sig.	,000



**Matrices anti-imagen**

		AN96	AAT96	PA96	RRE196	RRE296
Covarianza anti-imagen	AN96	,675	3,989E-02	1,389E-02	-2,783E-02	2,134E-02
	AAT96	3,989E-02	,378	-,298	5,417E-03	-3,315E-03
	PA96	1,389E-02	-,298	,416	-3,169E-03	4,273E-03
	RRE196	-2,783E-02	5,417E-03	-3,169E-03	5,422E-02	-4,302E-02
	RRE296	2,134E-02	-3,315E-03	4,273E-03	-4,302E-02	5,060E-02
	RRE396	6,260E-02	-3,701E-02	2,353E-02	-1,802E-02	-2,475E-02
	RE296	6,755E-03	5,326E-03	1,456E-02	1,850E-02	6,162E-03
	RS196	1,607E-02	-5,064E-03	6,796E-03	-2,241E-03	1,772E-03
	RS296	-1,591E-02	5,236E-03	-6,842E-03	2,201E-03	-1,736E-03
	RS396	5,809E-03	8,502E-02	-6,292E-02	-1,317E-02	2,115E-02
	RS596	1,366E-02	-3,398E-02	3,446E-02	-4,260E-03	1,935E-03
	AT96	-1,520E-03	6,584E-03	-5,983E-03	2,031E-03	-4,047E-04
	IN96	4,204E-04	-9,916E-03	8,759E-03	-1,315E-03	-8,716E-04
	FP96	7,015E-03	8,671E-03	-9,812E-03	-2,111E-03	3,787E-03
	RDO96	-2,713E-02	2,238E-03	1,443E-02	9,487E-04	-4,180E-03
	V96	5,354E-03	-3,100E-02	2,892E-02	-4,240E-03	1,083E-03
Correlación anti-imagen	AN96	,646 <sup>a</sup>	7,900E-02	2,622E-02	-,146	,116
	AAT96	7,900E-02	,514 <sup>a</sup>	-,752	3,785E-02	-2,397E-02
	PA96	2,622E-02	-,752	,430 <sup>a</sup>	-2,110E-02	2,945E-02
	RRE196	-,146	3,785E-02	-2,110E-02	,714 <sup>a</sup>	-,821
	RRE296	,116	-2,397E-02	2,945E-02	-,821	,711 <sup>a</sup>
	RRE396	,209	-,165	,100	-,212	-,302
	RE296	1,070E-02	1,127E-02	2,936E-02	,103	3,563E-02
	RS196	,332	-,140	,179	-,163	,134
	RS296	-,328	,144	-,179	,160	-,131
	RS396	8,741E-03	,171	-,121	-6,992E-02	,116
	RS596	1,988E-02	-6,609E-02	6,385E-02	-2,187E-02	1,028E-02
	AT96	-1,765E-02	,102	-8,848E-02	8,321E-02	-1,716E-02
	IN96	4,880E-03	-,154	,129	-5,384E-02	-3,694E-02
	FP96	5,077E-02	8,384E-02	-9,040E-02	-5,388E-02	,100
	RDO96	-7,602E-02	8,377E-03	5,146E-02	9,374E-03	-4,276E-02
	V96	1,511E-02	-,117	,104	-4,220E-02	1,116E-02

**Matrices anti-imagen**

		RRE396	RE296	RS196	RS296	RS396
Covarianza anti-imagen	AN96	6,260E-02	6,755E-03	1,607E-02	-1,591E-02	5,809E-03
	AAT96	-3,701E-02	5,326E-03	-5,064E-03	5,236E-03	8,502E-02
	PA96	2,353E-02	1,456E-02	6,796E-03	-6,842E-03	-6,292E-02
	RRE196	-1,802E-02	1,850E-02	-2,241E-03	2,201E-03	-1,317E-02
	RRE296	-2,475E-02	6,162E-03	1,772E-03	-1,736E-03	2,115E-02
	RRE396	,133	-3,958E-02	1,306E-03	-1,293E-03	-4,964E-02
	RE296	-3,958E-02	,591	6,634E-04	4,097E-04	8,156E-02
	RS196	1,306E-03	6,634E-04	3,477E-03	-3,479E-03	-2,937E-03
	RS296	-1,293E-03	4,097E-04	-3,479E-03	3,495E-03	2,925E-03
	RS396	-4,964E-02	8,156E-02	-2,937E-03	2,925E-03	,655
	RS596	2,002E-02	-9,607E-02	1,180E-03	-1,256E-03	-,352
	AT96	-2,661E-03	2,741E-02	6,723E-04	-6,192E-04	3,613E-03
	IN96	4,464E-03	-2,357E-02	2,363E-04	-2,878E-04	-3,852E-03
	FP96	-6,668E-04	-1,207E-02	-2,426E-03	2,426E-03	-6,589E-04
	RDO96	-3,167E-02	-3,118E-02	1,742E-03	-1,792E-03	1,365E-02
	V96	9,598E-03	-3,580E-02	3,460E-05	-1,199E-04	-2,316E-03
Correlación anti-imagen	AN96	,209	1,070E-02	,332	-,328	8,741E-03
	AAT96	-,165	1,127E-02	-,140	,144	,171
	PA96	,100	2,936E-02	,179	-,179	-,121
	RRE196	-,212	,103	-,163	,160	-6,992E-02
	RRE296	-,302	3,563E-02	,134	-,131	,116
	RRE396	,856 <sup>a</sup>	-,141	6,079E-02	-6,003E-02	-,168
	RE296	-,141	,708 <sup>a</sup>	1,463E-02	9,014E-03	,131
	RS196	6,079E-02	1,463E-02	,482 <sup>a</sup>	-,998	-6,156E-02
	RS296	-6,003E-02	9,014E-03	-,998	,481 <sup>a</sup>	6,114E-02
	RS396	-,168	,131	-6,156E-02	6,114E-02	,530 <sup>a</sup>
	RS596	6,569E-02	-,149	2,392E-02	-2,539E-02	-,519
	AT96	-6,966E-02	,340	,109	-9,992E-02	4,259E-02
	IN96	,117	-,292	3,821E-02	-4,642E-02	-4,538E-02
	FP96	-1,088E-02	-9,332E-02	-,245	,244	-4,840E-03
	RDO96	-,200	-9,332E-02	6,799E-02	-6,973E-02	3,883E-02
	V96	6,104E-02	-,108	1,360E-03	-4,699E-03	-6,633E-03

**Matrices anti-imagen**

		RS596	AT96	IN96	FP96
Covarianza anti-imagen	AN96	1,366E-02	-1,520E-03	4,204E-04	7,015E-03
	AAT96	-3,398E-02	6,584E-03	-9,916E-03	8,671E-03
	PA96	3,446E-02	-5,983E-03	8,759E-03	-9,812E-03
	RRE196	-4,260E-03	2,031E-03	-1,315E-03	-2,111E-03
	RRE296	1,935E-03	-4,047E-04	-8,716E-04	3,787E-03
	RRE396	2,002E-02	-2,661E-03	4,464E-03	-6,668E-04
	RE296	-9,607E-02	2,741E-02	-2,357E-02	-1,207E-02
	RS196	1,180E-03	6,723E-04	2,363E-04	-2,426E-03
	RS296	-1,256E-03	-6,192E-04	-2,878E-04	2,426E-03
	RS396	-,352	3,613E-03	-3,852E-03	-6,589E-04
	RS596	,700	-1,137E-03	-7,181E-04	9,146E-03
	AT96	-1,137E-03	1,099E-02	-9,572E-03	-5,101E-04
	IN96	-7,181E-04	-9,572E-03	1,100E-02	-7,610E-03
	FP96	9,146E-03	-5,101E-04	-7,610E-03	2,830E-02
	RDO96	-8,148E-03	-5,719E-03	1,093E-02	-3,785E-02
	V96	-3,525E-03	-3,340E-02	3,715E-02	-2,735E-02
Correlación anti-imagen	AN96	1,988E-02	-1,765E-02	4,880E-03	5,077E-02
	AAT96	-6,609E-02	,102	-,154	8,384E-02
	PA96	6,385E-02	-8,848E-02	,129	-9,040E-02
	RRE196	-2,187E-02	8,321E-02	-5,384E-02	-5,388E-02
	RRE296	1,028E-02	-1,716E-02	-3,694E-02	,100
	RRE396	6,569E-02	-6,966E-02	,117	-1,088E-02
	RE296	-,149	,340	-,292	-9,332E-02
	RS196	2,392E-02	,109	3,821E-02	-,245
	RS296	-2,539E-02	-9,992E-02	-4,642E-02	,244
	RS396	-,519	4,259E-02	-4,538E-02	-4,840E-03
	RS596	,522 <sup>a</sup>	-1,297E-02	-8,185E-03	6,499E-02
	AT96	-1,297E-02	,670 <sup>a</sup>	-,871	-2,893E-02
	IN96	-8,185E-03	-,871	,609 <sup>a</sup>	-,431
	FP96	6,499E-02	-2,893E-02	-,431	,804 <sup>a</sup>
	RDO96	-2,241E-02	-,126	,240	-,518
	V96	-9,766E-03	-,738	,821	-,377

**Matrices anti-imagen**

		RDO96	V96
Covarianza anti-imagen	AN96	-2,713E-02	5,354E-03
	AAT96	2,238E-03	-3,100E-02
	PA96	1,443E-02	2,892E-02
	RRE196	9,487E-04	-4,240E-03
	RRE296	-4,180E-03	1,083E-03
	RRE396	-3,167E-02	9,598E-03
	RE296	-3,118E-02	-3,580E-02
	RS196	1,742E-03	3,460E-05
	RS296	-1,792E-03	-1,199E-04
	RS396	1,365E-02	-2,316E-03
	RS596	-8,148E-03	-3,525E-03
	AT96	-5,719E-03	-3,340E-02
	IN96	1,093E-02	3,715E-02
	FP96	-3,785E-02	-2,735E-02
	RDO96	,189	2,230E-02
V96	2,230E-02	,186	
Correlación anti-imagen	AN96	-7,602E-02	1,511E-02
	AAT96	8,377E-03	-,117
	PA96	5,146E-02	,104
	RRE196	9,374E-03	-4,220E-02
	RRE296	-4,276E-02	1,116E-02
	RRE396	-,200	6,104E-02
	RE296	-9,332E-02	-,108
	RS196	6,799E-02	1,360E-03
	RS296	-6,973E-02	-4,699E-03
	RS396	3,883E-02	-6,633E-03
	RS596	-2,241E-02	-9,766E-03
	AT96	-,126	-,738
	IN96	,240	,821
	FP96	-,518	-,377
	RDO96	,857 <sup>a</sup>	,119
V96	,119	,475 <sup>a</sup>	

a. Medida de adecuación muestral

**Comunalidades**

	Inicial	Extracción
AN96	1,000	,330
AAT96	1,000	,869
PA96	1,000	,868
RRE196	1,000	,933
RRE296	1,000	,942
RRE396	1,000	,921
RE296	1,000	,416
RS196	1,000	,954
RS296	1,000	,955
RS396	1,000	,742
RS596	1,000	,778
AT96	1,000	,955
IN96	1,000	,901
FP96	1,000	,972
RDO96	1,000	,839
V96	1,000	,462

Método de extracción: Análisis de Componentes principales.

**Varianza total explicada**

Componente	Autovalores iniciales			Sumas de las saturaciones al cuadrado de la extracción		
	Total	% de la varianza	% acumulado	Total	% de la varianza	% acumulado
1	4,315	26,969	26,969	4,315	26,969	26,969
2	3,319	20,741	47,710	3,319	20,741	47,710
3	2,086	13,035	60,745	2,086	13,035	60,745
4	1,696	10,601	71,346	1,696	10,601	71,346
5	1,422	8,886	80,232	1,422	8,886	80,232
6	,861	5,383	85,615			
7	,755	4,721	90,336			
8	,513	3,206	93,542			
9	,434	2,713	96,255			
10	,236	1,474	97,728			
11	,207	1,294	99,022			
12	9,457E-02	,591	99,613			
13	3,196E-02	,200	99,813			
14	2,252E-02	,141	99,954			
15	5,671E-03	3,545E-02	99,989			
16	1,730E-03	1,082E-02	100,000			

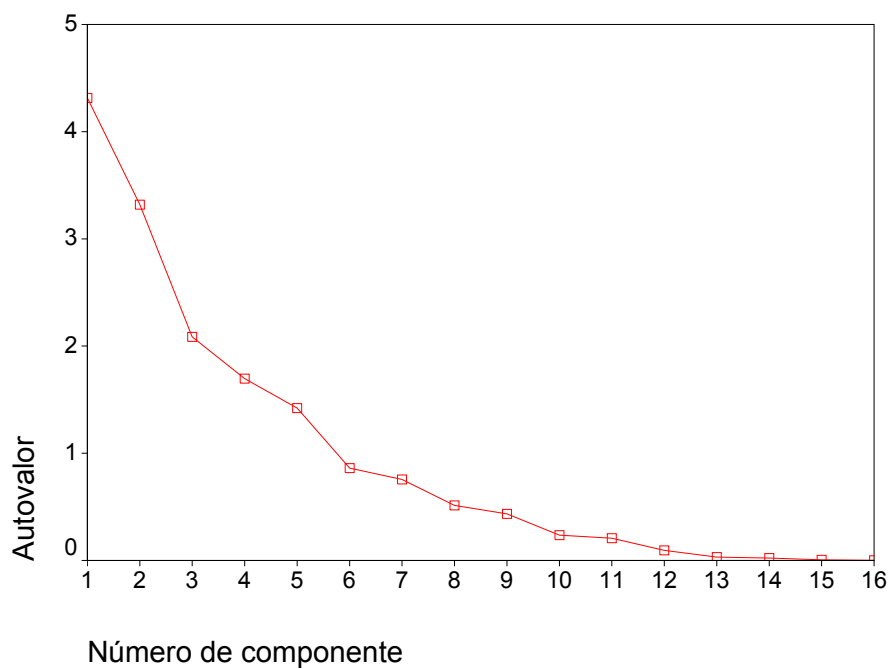
Método de extracción: Análisis de Componentes principales.

**Varianza total explicada**

Componente	Suma de las saturaciones al cuadrado de la rotación		
	Total	% de la varianza	% acumulado
1	4,124	25,775	25,775
2	3,235	20,217	45,992
3	2,225	13,906	59,898
4	1,737	10,858	70,756
5	1,516	9,476	80,232
6			
7			
8			
9			
10			
11			
12			
13			
14			
15			
16			

Método de extracción: Análisis de Componentes principales.

## Gráfico de sedimentación



**Matriz de componentes<sup>a</sup>**

	Componente				
	1	2	3	4	5
AN96		-,534			
AAT96				,752	
PA96				,825	
RRE196		,937			
RRE296		,937			
RRE396		,925			
RE296	,400				
RS196			,882		
RS296			,886		
RS396					,732
RS596					,799
AT96	,950				
IN96	,924				
FP96	,965				
RDO96	,881				
V96	,650				

Método de extracción: Análisis de componentes principales.

a. 5 componentes extraídos

**Matriz de componentes rotados<sup>a</sup>**

	Componente				
	1	2	3	4	5
AN96		-,515			
AAT96				,898	
PA96				,930	
RRE196		,963			
RRE296		,969			
RRE396		,959			
RE296			-,531		
RS196			,974		
RS296			,975		
RS396					,840
RS596					,876
AT96	,972				
IN96	,944				
FP96	,981				
RDO96	,861				
V96	,670				

Método de extracción: Análisis de componentes principales.

Método de rotación: Normalización Varimax con Kaiser.

a. La rotación ha convergido en 5 iteraciones.

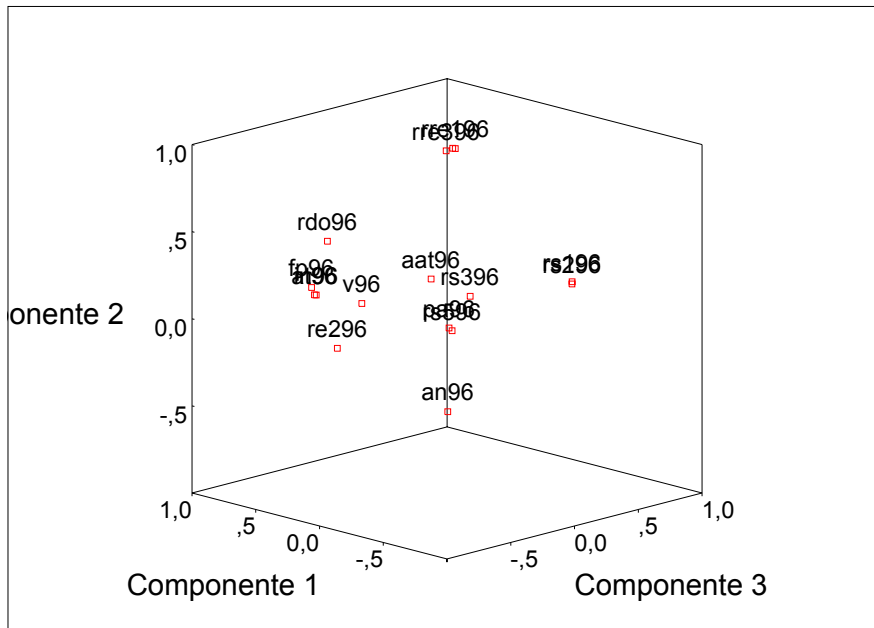
**Matriz de transformación de las componentes**

Componente	1	2	3	4	5
1	,957	,126	-,215	,075	-,128
2	-,071	,958	,239	,117	,078
3	,254	-,170	,900	-,310	,034
4	-,030	-,153	,294	,873	-,355
5	,118	-,117	,030	,349	,922

Método de extracción: Análisis de componentes principales.

Método de rotación: Normalización Varimax con Kaiser.

## Gráfico de componentes en espacio rotado



T U A L



### Matriz de coeficientes para el cálculo de las puntuaciones en las componentes

	Componente				
	1	2	3	4	5
AN96	-,007	-,148	-,009	-,117	-,049
AAT96	-,003	,033	-,004	,512	-,006
PA96	-,013	-,058	,029	,548	,028
RRE196	-,014	,304	-,006	-,057	-,022
RRE296	-,017	,307	-,015	-,051	-,039
RRE396	-,013	,302	-,033	-,032	-,003
RE296	,063	-,029	-,227	-,022	,089
RS196	,054	-,029	,452	,009	,021
RS296	,054	-,034	,453	,009	,019
RS396	,023	,021	,010	,002	,557
RS596	,028	-,035	-,036	,030	,592
AT96	,242	-,028	,024	,010	,025
IN96	,235	-,026	,015	,012	,042
FP96	,243	-,014	,016	,002	,028
RDO96	,207	,083	-,002	-,049	,008
V96	,166	-,024	,041	-,002	-,032

Método de extracción: Análisis de componentes principales.  
Método de rotación: Normalización Varimax con Kaiser.



### Matriz de covarianza de las puntuaciones de las componentes

Componente	1	2	3	4	5
1	1,000	,000	,000	,000	,000
2	,000	1,000	,000	,000	,000
3	,000	,000	1,000	,000	,000
4	,000	,000	,000	1,000	,000
5	,000	,000	,000	,000	1,000

Método de extracción: Análisis de componentes principales.

Método de rotación: Normalización Varimax con Kaiser.

## Discriminante

### Resumen del procesamiento para el análisis de casos

Casos no ponderados		N	Porcentaje
Válidos		110	100,0
Excluidos	Código de grupo de perdido o fuera de rango	0	,0
	Perdida al menos una variable discriminante	0	,0
	Perdidos o fuera de rango ambos, el código de grupo y al menos una de las variables discriminantes.	0	,0
	Total	0	,0
Total		110	100,0

### Estadísticos del grupo

SSS91		Media	Desv. típ.	N válido (según lista)	
				No ponderados	Ponderados
,00	TAMAÑO RELATIVO91	,0565033	,9874353	80	80,000
	RENTABILIDAD91	,2085736	,9223983	80	80,000
	SOLVENCIA91	,0855975	1,1065571	80	80,000
	LIQUIDEZ91	-,0566751	,7494856	80	80,000
	VARIACION ACT Y PAS91	,0535750	,9048336	80	80,000
1,00	TAMAÑO RELATIVO91	-,1506755	1,0345123	30	30,000
	RENTABILIDAD91	-,5561964	1,0004215	30	30,000
	SOLVENCIA91	-,2282600	,5906672	30	30,000
	LIQUIDEZ91	,1511337	1,4818584	30	30,000
	VARIACION ACT Y PAS91	-,1428667	1,2244473	30	30,000
Total	TAMAÑO RELATIVO91	-2,42E-17	1,0000000	110	110,000
	RENTABILIDAD91	3,23E-16	1,0000000	110	110,000
	SOLVENCIA91	-2,42E-16	1,0000000	110	110,000
	LIQUIDEZ91	-4,84E-17	1,0000000	110	110,000
	VARIACION ACT Y PAS91	-1,70E-16	1,0000000	110	110,000

### Pruebas de igualdad de las medias de los grupos

	Lambda de Wilks	F	gl1	gl2	Sig.
TAMAÑO RELATIVO91	,991	,936	1	108	,335
RENTABILIDAD91	,883	14,320	1	108	,000
SOLVENCIA91	,980	2,172	1	108	,143
LIQUIDEZ91	,991	,942	1	108	,334
VARIACION ACT Y PAS91	,992	,841	1	108	,361

**Matrices intra-grupo combinadas<sup>a</sup>**

		TAMAÑO RELATIVO91	RENTABILIDAD91	SOLVENCIA91
Covarianza	TAMAÑO RELATIVO91	1,001	-3,201E-02	-1,314E-02
	RENTABILIDAD91	-3,201E-02	,891	-4,849E-02
	SOLVENCIA91	-1,314E-02	-4,849E-02	,989
	LIQUIDEZ91	8,698E-03	3,211E-02	1,318E-02
	VARIACION ACT Y PAS91	-8,222E-03	-3,035E-02	-1,246E-02
Correlación	TAMAÑO RELATIVO91	1,000	-,034	-,013
	RENTABILIDAD91	-,034	1,000	-,052
	SOLVENCIA91	-,013	-,052	1,000
	LIQUIDEZ91	,009	,034	,013
	VARIACION ACT Y PAS91	-,008	-,032	-,013

**Matrices intra-grupo combinadas<sup>a</sup>**

		LIQUIDEZ91	VARIACION ACT Y PAS91
Covarianza	TAMAÑO RELATIVO91	8,698E-03	-8,222E-03
	RENTABILIDAD91	3,211E-02	-3,035E-02
	SOLVENCIA91	1,318E-02	-1,246E-02
	LIQUIDEZ91	1,001	8,247E-03
	VARIACION ACT Y PAS91	8,247E-03	1,001
Correlación	TAMAÑO RELATIVO91	,009	-,008
	RENTABILIDAD91	,034	-,032
	SOLVENCIA91	,013	-,013
	LIQUIDEZ91	1,000	,008
	VARIACION ACT Y PAS91	,008	1,000

a. La matriz de covarianza tiene 108 grados de libertad

**Matrices de covarianza<sup>a</sup>**

SSS91		TAMAÑO RELATIVO91	RENTABILIDAD91	SOLVENCIA91
,00	TAMAÑO RELATIVO91	,975	-5,488E-02	-6,302E-04
	RENTABILIDAD91	-5,488E-02	,851	-4,822E-02
	SOLVENCIA91	-6,302E-04	-4,822E-02	1,224
	LIQUIDEZ91	-2,230E-02	9,409E-02	8,363E-02
	VARIACION ACT Y PAS91	-3,514E-02	5,691E-02	7,758E-02
1,00	TAMAÑO RELATIVO91	1,070	3,029E-02	-4,720E-02
	RENTABILIDAD91	3,029E-02	1,001	-4,922E-02
	SOLVENCIA91	-4,720E-02	-4,922E-02	,349
	LIQUIDEZ91	9,313E-02	-,137	-,179
	VARIACION ACT Y PAS91	6,511E-02	-,268	-,258
Total	TAMAÑO RELATIVO91	1,000	-3,703E-15	-8,159E-16
	RENTABILIDAD91	-3,703E-15	1,000	2,925E-15
	SOLVENCIA91	-8,159E-16	2,925E-15	1,000
	LIQUIDEZ91	-1,141E-16	1,988E-15	3,325E-15
	VARIACION ACT Y PAS91	1,467E-16	2,689E-16	1,638E-15

### Matrices de covarianza<sup>a</sup>

SSS91		LIQUIDEZ91	VARIACION ACT Y PAS91
,00	TAMAÑO RELATIVO91	-2,230E-02	-3,514E-02
	RENTABILIDAD91	9,409E-02	5,691E-02
	SOLVENCIA91	8,363E-02	7,758E-02
	LIQUIDEZ91	,562	-8,190E-02
	VARIACION ACT Y PAS91	-8,190E-02	,819
1,00	TAMAÑO RELATIVO91	9,313E-02	6,511E-02
	RENTABILIDAD91	-,137	-,268
	SOLVENCIA91	-,179	-,258
	LIQUIDEZ91	2,196	,254
	VARIACION ACT Y PAS91	,254	1,499
Total	TAMAÑO RELATIVO91	-1,141E-16	1,467E-16
	RENTABILIDAD91	1,988E-15	2,689E-16
	SOLVENCIA91	3,325E-15	1,638E-15
	LIQUIDEZ91	1,000	8,230E-16
	VARIACION ACT Y PAS91	8,230E-16	1,000

a. La matriz de covarianza total presenta 109 grados de libertad.

## Análisis 1

### Prueba de Box sobre la igualdad de las matrices de covarianza

#### Logaritmo de los determinantes

SSS91	Rango	Logaritmo del determinante
,00	5	-,831
1,00	5	-,077
Intra-grupos combinada	5	-,130

Los rangos y logaritmos naturales de los determinantes impresos son los de las matrices de covarianza de los grupos.

#### Resultados de la prueba

M de Box		53,788
F	Aprox.	3,340
	gl1	15
	gl2	12488,86
	Sig.	,000

Contrasta la hipótesis nula de que las matrices de covarianza poblacionales son iguales.

## Resumen de las funciones canónicas discriminantes

#### Autovalores

Función	Autovalor	% de varianza	% acumulado	Correlación canónica
1	,193 <sup>a</sup>	100,0	100,0	,402

a. Se han empleado las 1 primeras funciones discriminantes canónicas en el análisis.

### Lambda de Wilks

Contraste de las funciones	Lambda de Wilks	Chi-cuadrado	gl	Sig.
1	,838	18,614	5	,002

### Coeficientes estandarizados de las funciones discriminantes canónicas

	Función
	1
TAMAÑO RELATIVO91	,251
RENTABILIDAD91	,873
SOLVENCIA91	,378
LIQUIDEZ91	-,251
VARIACION ACT Y PAS91	,238

### Matriz de estructura

	Función
	1
RENTABILIDAD91	,829
SOLVENCIA91	,323
LIQUIDEZ91	-,213
TAMAÑO RELATIVO91	,212
VARIACION ACT Y PAS91	,201

Correlaciones intra-grupo combinadas entre las variables discriminantes y las funciones discriminantes canónicas tipificadas  
Variables ordenadas por el tamaño de la correlación con la función.

### Coeficientes de las funciones canónicas discriminantes

	Función
	1
TAMAÑO RELATIVO91	,251
RENTABILIDAD91	,925
SOLVENCIA91	,380
LIQUIDEZ91	-,251
VARIACION ACT Y PAS91	,238
(Constante)	,000

Coeficientes no tipificados

### Funciones en los centroides de los grupos

SSS91	Función
	1
,00	,267
1,00	-,711

Funciones discriminantes canónicas no tipificadas evaluadas en las medias de los grupos

## Estadísticos de clasificación

### Probabilidades previas para los grupos

SSS91	Previas	Casos utilizados en el análisis	
		No ponderados	Ponderados
,00	,727	80	80,000
1,00	,273	30	30,000
Total	1,000	110	110,000

### Coefficientes de la función de clasificación

	SSS91	
	,00	1,00
TAMANO RELATIVO91	6,679E-02	-,178
RENTABILIDAD91	,247	-,657
SOLVENCIA91	,101	-,270
LIQUIDEZ91	-6,699E-02	,179
VARIACION ACT Y PAS91	6,333E-02	-,169
(Constante)	-,354	-1,552

Funciones discriminantes lineales de Fisher

## Análisis 1

### Estadísticos de clasificación

**Estadísticos por casos**

	Número de casos	Grupo real	Grupo mayor
			Grupo pronosticado
Original	1	0	0
	2	0	0
	3	0	0
	4	0	0
	5	1	0**
	6	0	0
	7	0	0
	8	0	0
	9	0	0
	10	1	1
	11	0	0
	12	0	0
	13	0	0
	14	0	0
	15	0	0
	16	0	0
	17	0	0
	18	0	0
	19	0	0
	20	0	0
	21	0	0
	22	1	0**
	23	0	0
	24	0	0
	25	0	0

Para los datos originales, la distancia de Mahalanobis al cuadrado se basa en funciones canónicas.  
 Para los datos validados mediante validación cruzada, la distancia de Mahalanobis al cuadrado se basa en observaciones.



**Estadísticos por casos**

	Número de casos	Grupo real	Grupo mayor
			Grupo pronosticado
Validación cruzada <sup>a</sup>	1	0	0
	2	0	0
	3	0	0
	4	0	0
	5	1	0**
	6	0	0
	7	0	0
	8	0	0
	9	0	0
	10	1	1
	11	0	0
	12	0	0
	13	0	0
	14	0	0
	15	0	0
	16	0	0
	17	0	0
	18	0	0
	19	0	0
	20	0	0
	21	0	0
	22	1	0**
	23	0	0
	24	0	0
	25	0	0

Para los datos originales, la distancia de Mahalanobis al cuadrado se basa en funciones canónicas.  
 Para los datos validados mediante validación cruzada, la distancia de Mahalanobis al cuadrado se basa en observaciones.

### Estadísticos por casos

		Grupo mayor			
		P(D>d   G=g)		P(G=g   D=d)	Distancia de Mahalanobis al cuadrado hasta el centroide
		p	gl		
Original	Número de casos				
	1	,649	1	,870	,208
	2	,648	1	,870	,208
	3	,461	1	,898	,542
	4	,616	1	,725	,251
	5	,885	1	,832	,021
	6	,394	1	,652	,726
	7	,586	1	,716	,297
	8	,326	1	,918	,965
	9	,879	1	,833	,023
	10	,022	1	,851	5,284
	11	,784	1	,849	,075
	12	,495	1	,688	,466
	13	,716	1	,751	,133
	14	,617	1	,725	,249
	15	,759	1	,853	,094
	16	,217	1	,935	1,527
	17	,024	1	,975	5,080
	18	,508	1	,891	,438
	19	,615	1	,875	,253
	20	,902	1	,829	,015
	21	,054	1	,966	3,715
	22	,477	1	,896	,505
	23	,763	1	,762	,091
	24	,754	1	,760	,098
	25	,699	1	,863	,150

Para los datos originales, la distancia de Mahalanobis al cuadrado se basa en funciones canónicas.  
 Para los datos validados mediante validación cruzada, la distancia de Mahalanobis al cuadrado se basa en observaciones.

Estadísticos por casos

Número de casos		Grupo mayor			
		P(D>d   G=g)		P(G=g   D=d)	Distancia de Mahalanobis al cuadrado hasta el centroide
		p	gl		
Validación cruzada <sup>a</sup>	1	,980	5	,869	,750
	2	,877	5	,868	1,790
	3	,707	5	,896	2,957
	4	,113	5	,694	8,898
	5	,912	5	,848	1,511
	6	,927	5	,647	1,377
	7	,967	5	,713	,937
	8	,662	5	,917	3,245
	9	,860	5	,829	1,919
	10	,000	5	,506	138,011
	11	,923	5	,846	1,414
	12	,973	5	,686	,856
	13	,691	5	,742	3,057
	14	,950	5	,722	1,144
	15	,973	5	,851	,866
	16	,465	5	,934	4,610
	17	,004	5	,978	17,482
	18	,519	5	,888	4,214
	19	,871	5	,873	1,839
	20	,873	5	,825	1,824
	21	,066	5	,967	10,361
	22	,000	5	,986	38,112
	23	,933	5	,758	1,318
	24	,597	5	,749	3,678
	25	,855	5	,860	1,957

Para los datos originales, la distancia de Mahalanobis al cuadrado se basa en funciones canónicas.  
 Para los datos validados mediante validación cruzada, la distancia de Mahalanobis al cuadrado se basa en observaciones.

**Estadísticos por casos**

	Número de casos	Segundo grupo mayor			Puntuaciones discriminantes
		Grupo	P(G=g   D=d)	Distancia de Mahalanobis al cuadrado hasta el centroide	Función 1
Original	1	1	,130	2,053	,722
	2	1	,130	2,055	,723
	3	1	,102	2,937	1,003
	4	1	,275	,227	-,235
	5	1	,168	1,259	,411
	6	1	,348	,016	-,585
	7	1	,284	,187	-,279
	8	1	,082	3,841	1,249
	9	1	,167	1,275	,419
	10	0	,149	10,733	-3,010
	11	1	,151	1,565	,540
	12	1	,312	,087	-,416
	13	1	,249	,376	-,098
	14	1	,275	,228	-,233
	15	1	,147	1,650	,574
	16	1	,065	4,897	1,502
	17	1	,025	10,440	2,520
	18	1	,109	2,686	,928
	19	1	,125	2,192	,770
	20	1	,171	1,210	,389
	21	1	,034	8,437	2,194
	22	1	,104	2,848	,977
	23	1	,238	,456	-,035
	24	1	,240	,441	-,047
	25	1	,137	1,861	,653

Para los datos originales, la distancia de Mahalanobis al cuadrado se basa en funciones canónicas.  
 Para los datos validados mediante validación cruzada, la distancia de Mahalanobis al cuadrado se basa en observaciones.

### Estadísticos por casos

	Número de casos	Segundo grupo mayor			Puntuaciones discriminantes
		Grupo	P(G=g   D=d)	Distancia de Mahalanobis al cuadrado hasta el centroide	Función 1
Validación cruzada <sup>a</sup>	1	2	,131	2,568	
	2	2	,132	3,592	
	3	2	,104	5,300	
	4	2	,306	8,576	
	5	2	,152	2,980	
	6	2	,353	,626	
	7	2	,287	,798	
	8	2	,083	6,079	
	9	2	,171	3,117	
	10	1	,494	140,020	
	11	2	,154	2,863	
	12	2	,314	,452	
	13	2	,258	3,203	
	14	2	,278	1,087	
	15	2	,149	2,392	
	16	2	,066	7,951	
	17	2	,022	23,116	
	18	2	,112	6,390	
	19	2	,127	3,733	
	20	2	,175	2,967	
	21	2	,033	15,175	
	22	2	,014	44,642	
	23	2	,242	1,640	
	24	2	,251	3,907	
	25	2	,140	3,619	

Para los datos originales, la distancia de Mahalanobis al cuadrado se basa en funciones canónicas. Para los datos validados mediante validación cruzada, la distancia de Mahalanobis al cuadrado se basa en observaciones.

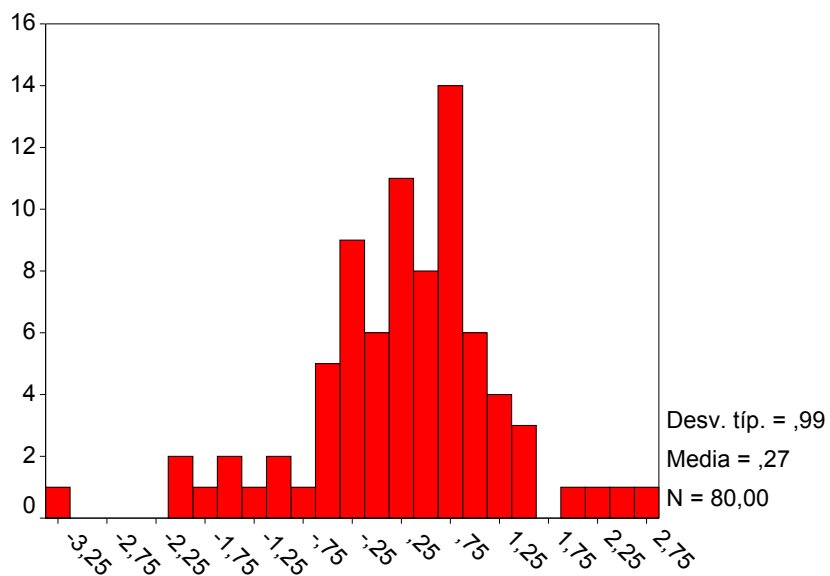
\*\* . Caso mal clasificado

a. La validación cruzada sólo se aplica a los casos del análisis. En la validación cruzada, cada caso se clasifica mediante las funciones derivadas a partir del resto de los casos.

### Gráficos por grupos separados

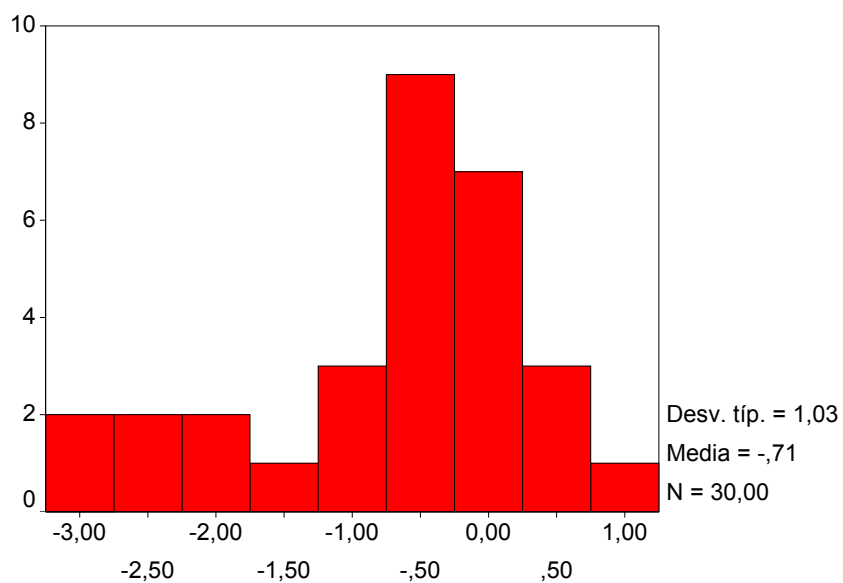
## Función discriminante canónica 1

SSS91 = 0



## Función discriminante canónica 1

SSS91 = 1



### Resultados de la clasificación<sup>b,c</sup>

			Grupo de pertenencia pronosticado		Total
			,00	1,00	
Original	Recuento	,00	74	6	80
		1,00	23	7	30
	%	,00	92,5	7,5	100,0
		1,00	76,7	23,3	100,0
Validación cruzada <sup>a</sup>	Recuento	,00	73	7	80
		1,00	23	7	30
	%	,00	91,3	8,8	100,0
		1,00	76,7	23,3	100,0

- a. La validación cruzada sólo se aplica a los casos del análisis. En la validación cruzada, cada caso se clasifica mediante las funciones derivadas a partir del resto de los casos.
- b. Clasificados correctamente el 73,6% de los casos agrupados originales.
- c. Clasificados correctamente el 72,7% de los casos agrupados validados mediante validación cruzada.

### Resumen del proceso de clasificación

Procesados		110
Excluidos	Código de grupo perdido o fuera de rango	0
	Perdida al menos una variable discriminante	0
Usados en los resultados		110

## Discriminante

### Resumen del procesamiento para el análisis de casos

Casos no ponderados		N	Porcentaje
Válidos		110	100,0
Excluidos	Código de grupo de perdido o fuera de rango	0	,0
	Perdida al menos una variable discriminante	0	,0
	Perdidos o fuera de rango ambos, el código de grupo y al menos una de las variables discriminantes.	0	,0
	Total	0	,0
Total		110	100,0

### Estadísticos del grupo

SSS92	Media	Desv. típ.	N válido (según lista)		
			No ponderados	Ponderados	
,00	RENTABILIDAD92	,2110957	,5490557	75	75,000
	TAMAÑO RELATIVO 92	,0424417	1,0118886	75	75,000
	SOLVENCIA 92	,0869134	1,1455552	75	75,000
	LIQUIDEZ 92	,0012123	,9837705	75	75,000
	VARIACIÓN ACT Y PAS 92	-,0561819	1,0428575	75	75,000
1,00	RENTABILIDAD92	-,4523480	1,4969385	35	35,000
	TAMAÑO RELATIVO 92	-,0909464	,9822758	35	35,000
	SOLVENCIA 92	-,1862430	,5452864	35	35,000
	LIQUIDEZ 92	-,0025979	1,0485583	35	35,000
	VARIACIÓN ACT Y PAS 92	,1203898	,9038668	35	35,000
Total	RENTABILIDAD92	4,84E-17	1,0000000	110	110,000
	TAMAÑO RELATIVO 92	8,07E-18	1,0000000	110	110,000
	SOLVENCIA 92	-8,07E-18	1,0000000	110	110,000
	LIQUIDEZ 92	1,21E-16	1,0000000	110	110,000
	VARIACIÓN ACT Y PAS 92	-4,84E-17	1,0000000	110	110,000

### Pruebas de igualdad de las medias de los grupos

	Lambda de Wilks	F	gl1	gl2	Sig.
RENTABILIDAD92	,904	11,517	1	108	,001
TAMAÑO RELATIVO 92	,996	,422	1	108	,517
SOLVENCIA 92	,984	1,794	1	108	,183
LIQUIDEZ 92	1,000	,000	1	108	,985
VARIACIÓN ACT Y PAS 92	,993	,742	1	108	,391



**Matrices intra-grupo combinadas<sup>a</sup>**

		RENTABILIDAD92	TAMAÑO RELATIVO 92	SOLVENCIA 92
Covarianza	RENTABILIDAD92	,912	-1,955E-02	-4,004E-02
	TAMAÑO RELATIVO 92	-1,955E-02	1,005	-8,051E-03
	SOLVENCIA 92	-4,004E-02	-8,051E-03	,993
	LIQUIDEZ 92	-5,586E-04	-1,123E-04	-2,300E-04
	VARIACIÓN ACT Y PAS 92	2,588E-02	5,204E-03	1,066E-02
Correlación	RENTABILIDAD92	1,000	-,020	-,042
	TAMAÑO RELATIVO 92	-,020	1,000	-,008
	SOLVENCIA 92	-,042	-,008	1,000
	LIQUIDEZ 92	-,001	,000	,000
	VARIACIÓN ACT Y PAS 92	,027	,005	,011

**Matrices intra-grupo combinadas<sup>a</sup>**

		LIQUIDEZ 92	VARIACIÓN ACT Y PAS 92
Covarianza	RENTABILIDAD92	-5,586E-04	2,588E-02
	TAMAÑO RELATIVO 92	-1,123E-04	5,204E-03
	SOLVENCIA 92	-2,300E-04	1,066E-02
	LIQUIDEZ 92	1,009	1,487E-04
	VARIACIÓN ACT Y PAS 92	1,487E-04	1,002
Correlación	RENTABILIDAD92	-,001	,027
	TAMAÑO RELATIVO 92	,000	,005
	SOLVENCIA 92	,000	,011
	LIQUIDEZ 92	1,000	,000
	VARIACIÓN ACT Y PAS 92	,000	1,000

a. La matriz de covarianza tiene 108 grados de libertad

**Matrices de covarianza<sup>a</sup>**

SSS92		RENTABILIDAD92	TAMAÑO RELATIVO 92	SOLVENCIA 92
,00	RENTABILIDAD92	,301	1,299E-02	-7,540E-02
	TAMAÑO RELATIVO 92	1,299E-02	1,024	2,042E-02
	SOLVENCIA 92	-7,540E-02	2,042E-02	1,312
	LIQUIDEZ 92	,158	-5,260E-02	-2,204E-02
	VARIACIÓN ACT Y PAS 92	-1,771E-03	-6,905E-03	6,901E-02
1,00	RENTABILIDAD92	2,241	-9,039E-02	3,691E-02
	TAMAÑO RELATIVO 92	-9,039E-02	,965	-7,001E-02
	SOLVENCIA 92	3,691E-02	-7,001E-02	,297
	LIQUIDEZ 92	-,346	,114	4,724E-02
	VARIACIÓN ACT Y PAS 92	8,608E-02	3,156E-02	-,116
Total	RENTABILIDAD92	1,000	-5,724E-16	-2,282E-16
	TAMAÑO RELATIVO 92	-5,724E-16	1,000	-2,791E-16
	SOLVENCIA 92	-2,282E-16	-2,791E-16	1,000
	LIQUIDEZ 92	3,585E-16	-2,689E-16	7,639E-16
	VARIACIÓN ACT Y PAS 92	-5,500E-16	-9,778E-17	-7,822E-16

### Matrices de covarianza<sup>a</sup>

SSS92		LIQUIDEZ 92	VARIACIÓN ACT Y PAS 92
,00	RENTABILIDAD92	,158	-1,771E-03
	TAMAÑO RELATIVO 92	-5,260E-02	-6,905E-03
	SOLVENCIA 92	-2,204E-02	6,901E-02
	LIQUIDEZ 92	,968	1,766E-02
	VARIACIÓN ACT Y PAS 92	1,766E-02	1,088
1,00	RENTABILIDAD92	-,346	8,608E-02
	TAMAÑO RELATIVO 92	,114	3,156E-02
	SOLVENCIA 92	4,724E-02	-,116
	LIQUIDEZ 92	1,099	-3,796E-02
	VARIACIÓN ACT Y PAS 92	-3,796E-02	,817
Total	RENTABILIDAD92	3,585E-16	-5,500E-16
	TAMAÑO RELATIVO 92	-2,689E-16	-9,778E-17
	SOLVENCIA 92	7,639E-16	-7,822E-16
	LIQUIDEZ 92	1,000	1,019E-17
	VARIACIÓN ACT Y PAS 92	1,019E-17	1,000

a. La matriz de covarianza total presenta 109 grados de libertad.

## Análisis 1

### Prueba de Box sobre la igualdad de las matrices de covarianza

#### Logaritmo de los determinantes

SSS92	Rango	Logaritmo del determinante
,00	5	-,965
1,00	5	-,707
Intra-grupos combinada	5	-,086

Los rangos y logaritmos naturales de los determinantes impresos son los de las matrices de covarianza de los grupos.

#### Resultados de la prueba

M de Box		86,206
F	Aprox.	5,398
	gl1	15
	gl2	18744,87
	Sig.	,000

Contrasta la hipótesis nula de que las matrices de covarianza poblacionales son iguales.

## Resumen de las funciones canónicas discriminantes

#### Autovalores

Función	Autovalor	% de varianza	% acumulado	Correlación canónica
1	,141 <sup>a</sup>	100,0	100,0	,351

a. Se han empleado las 1 primeras funciones discriminantes canónicas en el análisis.

### Lambda de Wilks

Contraste de las funciones	Lambda de Wilks	Chi-cuadrado	gl	Sig.
1	,877	13,898	5	,016

### Coeficientes estandarizados de las funciones discriminantes canónicas

	Función
	1
RENTABILIDAD92	,897
TAMAÑO RELATIVO 92	,189
SOLVENCIA 92	,385
LIQUIDEZ 92	,005
VARIACIÓN ACT Y PAS 92	-,250

### Matriz de estructura

	Función
	1
RENTABILIDAD92	,870
SOLVENCIA 92	,343
VARIACIÓN ACT Y PAS 92	-,221
TAMAÑO RELATIVO 92	,167
LIQUIDEZ 92	,005

Correlaciones intra-grupo combinadas entre las variables discriminantes y las funciones discriminantes canónicas tipificadas  
Variables ordenadas por el tamaño de la correlación con la función.

### Coeficientes de las funciones canónicas discriminantes

	Función
	1
RENTABILIDAD92	,939
TAMAÑO RELATIVO 92	,189
SOLVENCIA 92	,387
LIQUIDEZ 92	,005
VARIACIÓN ACT Y PAS 92	-,250
(Constante)	,000

Coeficientes no tipificados

### Funciones en los centroides de los grupos

SSS92	Función
	1
,00	,254
1,00	-,544

Funciones discriminantes canónicas no tipificadas evaluadas en las medias de los grupos

### Estadísticos de clasificación

### Probabilidades previas para los grupos

SSS92	Previas	Casos utilizados en el análisis	
		No ponderados	Ponderados
,00	,682	75	75,000
1,00	,318	35	35,000
Total	1,000	110	110,000

### Coefficientes de la función de clasificación

	SSS92	
	,00	1,00
RENTABILIDAD92	,239	-,511
TAMAÑO RELATIVO 92	4,797E-02	-,103
SOLVENCIA 92	9,824E-02	-,211
LIQUIDEZ 92	1,370E-03	-2,936E-03
VARIACIÓN ACT Y PAS 92	-6,350E-02	,136
(Constante)	-,415	-1,293

Funciones discriminantes lineales de Fisher

## Análisis 1

### Estadísticos de clasificación

**Estadísticos por casos**

	Número de casos	Grupo real	Grupo mayor
			Grupo pronosticado
Original	1	0	0
	2	0	0
	3	0	0
	4	0	0
	5	1	0**
	6	1	1
	7	0	0
	8	0	0
	9	1	0**
	10	1	0**
	11	0	0
	12	1	1
	13	0	0
	14	0	0
	15	0	0
	16	0	0
	17	0	0
	18	0	0
	19	1	0**
	20	0	0
	21	0	0
	22	1	0**
	23	0	0
	24	0	0
	25	0	0

Para los datos originales, la distancia de Mahalanobis al cuadrado se basa en funciones canónicas.  
 Para los datos validados mediante validación cruzada, la distancia de Mahalanobis al cuadrado se basa en observaciones.

### Estadísticos por casos

	Número de casos	Grupo real	Grupo mayor
			Grupo pronosticado
Validación cruzada <sup>a</sup>	1	0	0
	2	0	0
	3	0	0
	4	0	0
	5	1	0**
	6	1	1
	7	0	0
	8	0	0
	9	1	0**
	10	1	0**
	11	0	0
	12	1	1
	13	0	0
	14	0	0
	15	0	0
	16	0	0
	17	0	0
	18	0	0
	19	1	0**
	20	0	0
	21	0	0
	22	1	0**
	23	0	0
	24	0	0
	25	0	0

Para los datos originales, la distancia de Mahalanobis al cuadrado se basa en funciones canónicas.  
 Para los datos validados mediante validación cruzada, la distancia de Mahalanobis al cuadrado se basa en observaciones.

Estadísticos por casos

		Grupo mayor			
		P(D>d   G=g)		P(G=g   D=d)	Distancia de Mahalanobis al cuadrado hasta el centroide
		p	gl		
Original	Número de casos				
	1	,777	1	,787	,080
	2	,715	1	,688	,134
	3	,899	1	,727	,016
	4	,662	1	,675	,191
	5	,572	1	,653	,319
	6	,378	1	,565	,776
	7	,519	1	,638	,415
	8	,998	1	,747	,000
	9	,798	1	,706	,066
	10	,341	1	,579	,907
	11	,920	1	,731	,010
	12	,009	1	,839	6,871
	13	,684	1	,681	,165
	14	,395	1	,599	,724
	15	,819	1	,780	,052
	16	,919	1	,762	,010
	17	,810	1	,781	,058
	18	,336	1	,864	,925
	19	,732	1	,795	,117
	20	,527	1	,830	,401
	21	,554	1	,825	,350
	22	,602	1	,817	,272
	23	,831	1	,713	,045
	24	,861	1	,719	,031
	25	,924	1	,761	,009

Para los datos originales, la distancia de Mahalanobis al cuadrado se basa en funciones canónicas.  
 Para los datos validados mediante validación cruzada, la distancia de Mahalanobis al cuadrado se basa en observaciones.



Estadísticos por casos

		Grupo mayor			
		P(D>d   G=g)		P(G=g   D=d)	Distancia de Mahalanobis al cuadrado hasta el centroide
		p	gl		
Validación cruzada <sup>a</sup>	Número de casos				
	1	,964	5	,784	,981
	2	,934	5	,683	1,305
	3	,983	5	,725	,696
	4	,963	5	,672	,988
	5	,924	5	,661	1,402
	6	,057	5	,505	10,710
	7	,883	5	,631	1,743
	8	,958	5	,744	1,054
	9	,988	5	,712	,607
	10	,503	5	,604	4,330
	11	,985	5	,729	,665
	12	,011	5	,819	14,774
	13	,987	5	,678	,627
	14	,882	5	,592	1,756
	15	,993	5	,778	,463
	16	,973	5	,759	,862
	17	,965	5	,779	,971
	18	,552	5	,860	3,981
	19	,992	5	,804	,509
	20	,884	5	,827	1,735
	21	,849	5	,822	2,001
	22	,000	5	,962	41,552
	23	,923	5	,709	1,416
	24	,599	5	,708	3,664
	25	,938	5	,757	1,268

Para los datos originales, la distancia de Mahalanobis al cuadrado se basa en funciones canónicas.  
 Para los datos validados mediante validación cruzada, la distancia de Mahalanobis al cuadrado se basa en observaciones.

**Estadísticos por casos**

	Número de casos	Segundo grupo mayor			Puntuaciones discriminantes
		Grupo	P(G=g   D=d)	Distancia de Mahalanobis al cuadrado hasta el centroide	Función 1
Original	1	1	,213	1,169	,537
	2	1	,312	,187	-,111
	3	1	,273	,451	,128
	4	1	,325	,131	-,183
	5	1	,347	,055	-,311
	6	0	,435	2,820	-1,425
	7	1	,362	,024	-,390
	8	1	,253	,640	,256
	9	1	,294	,294	-,002
	10	1	,421	,024	-,698
	11	1	,269	,487	,154
	12	0	,161	11,694	-3,166
	13	1	,319	,153	-,153
	14	1	,401	,003	-,597
	15	1	,220	1,054	,483
	16	1	,238	,810	,356
	17	1	,219	1,079	,495
	18	1	,136	3,097	1,216
	19	1	,205	1,300	,596
	20	1	,170	2,049	,887
	21	1	,175	1,932	,846
	22	1	,183	1,741	,775
	23	1	,287	,342	,041
	24	1	,281	,389	,079
	25	1	,239	,798	,349

Para los datos originales, la distancia de Mahalanobis al cuadrado se basa en funciones canónicas.  
 Para los datos validados mediante validación cruzada, la distancia de Mahalanobis al cuadrado se basa en observaciones.

### Estadísticos por casos

	Número de casos	Segundo grupo mayor			Puntuaciones discriminantes
		Grupo	P(G=g   D=d)	Distancia de Mahalanobis al cuadrado hasta el centroide	Función 1
Validación cruzada <sup>a</sup>	1	2	,216	2,038	
	2	2	,317	1,318	
	3	2	,275	1,107	
	4	2	,328	,898	
	5	2	,339	1,213	
	6	1	,495	12,273	
	7	2	,369	1,295	
	8	2	,256	1,661	
	9	2	,288	,889	
	10	2	,396	3,653	
	11	2	,271	1,120	
	12	1	,181	19,323	
	13	2	,322	,595	
	14	2	,408	,977	
	15	2	,222	1,445	
	16	2	,241	1,632	
	17	2	,221	1,961	
	18	2	,140	6,090	
	19	2	,196	1,805	
	20	2	,173	3,341	
	21	2	,178	3,535	
	22	2	,038	46,492	
	23	2	,291	1,669	
	24	2	,292	3,913	
	25	2	,243	2,018	

Para los datos originales, la distancia de Mahalanobis al cuadrado se basa en funciones canónicas. Para los datos validados mediante validación cruzada, la distancia de Mahalanobis al cuadrado se basa en observaciones.

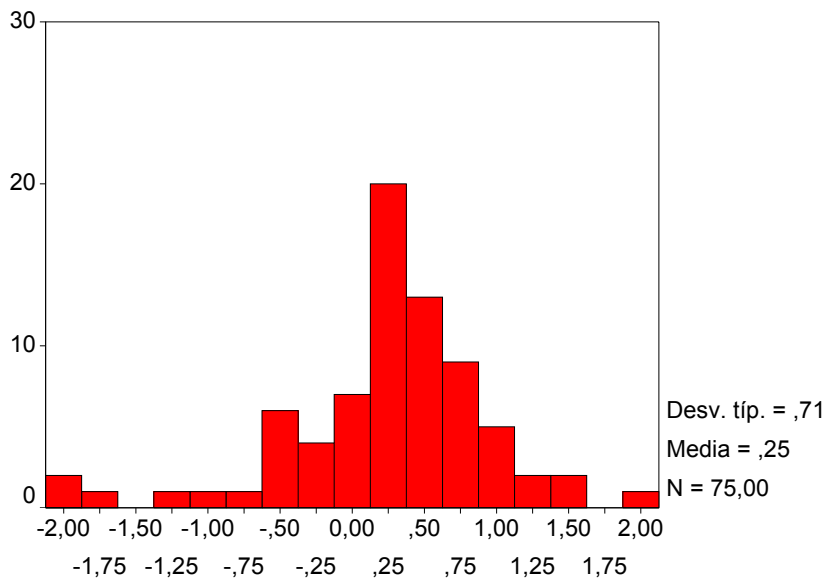
\*\* . Caso mal clasificado

a. La validación cruzada sólo se aplica a los casos del análisis. En la validación cruzada, cada caso se clasifica mediante las funciones derivadas a partir del resto de los casos.

### Gráficos por grupos separados

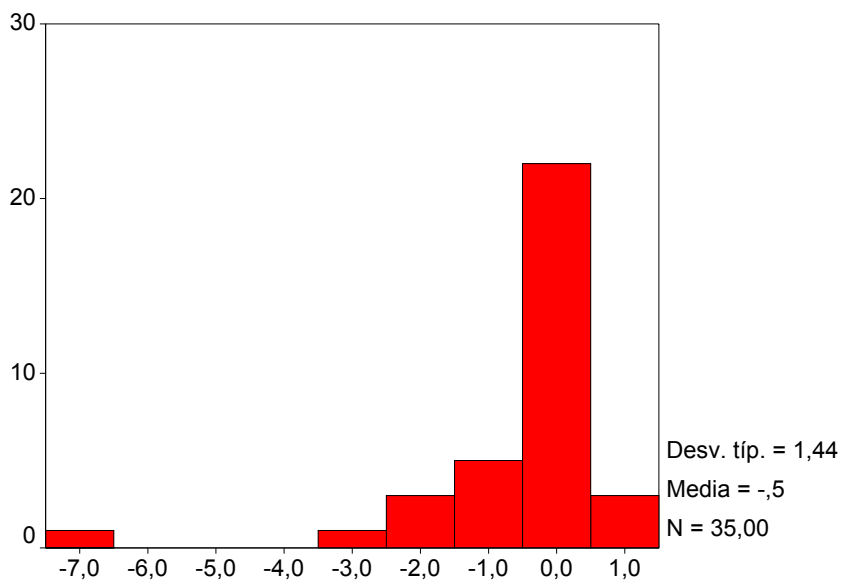
## Función discriminante canónica 1

SSS92 = 0



## Función discriminante canónica 1

SSS92 = 1



**Resultados de la clasificación<sup>b,c</sup>**

			Grupo de pertenencia pronosticado		Total
			,00	1,00	
Original	Recuento	,00	71	4	75
		1,00	29	6	35
	%	,00	94,7	5,3	100,0
		1,00	82,9	17,1	100,0
Validación cruzada <sup>a</sup>	Recuento	,00	70	5	75
		1,00	29	6	35
	%	,00	93,3	6,7	100,0
		1,00	82,9	17,1	100,0

a. La validación cruzada sólo se aplica a los casos del análisis. En la validación cruzada, cada caso se clasifica mediante las funciones derivadas a partir del resto de los casos.

b. Clasificados correctamente el 70,0% de los casos agrupados originales.

c. Clasificados correctamente el 69,1% de los casos agrupados validados mediante validación cruzada.

**Resumen del proceso de clasificación**

Procesados		110
Excluidos	Código de grupo perdido o fuera de rango	0
	Perdida al menos una variable discriminante	0
Usados en los resultados		110

## Discriminante

### Resumen del procesamiento para el análisis de casos

Casos no ponderados		N	Porcentaje
Válidos		110	100,0
Excluidos	Código de grupo de perdido o fuera de rango	0	,0
	Perdida al menos una variable discriminante	0	,0
	Perdidos o fuera de rango ambos, el código de grupo y al menos una de las variables discriminantes.	0	,0
	Total	0	,0
Total		110	100,0

### Estadísticos del grupo

SSS93		Media	Desv. típ.	N válido (según lista)	
				No ponderados	Ponderados
,00	TAMAÑO RELATIVO 93	,0467303	,9988428	78	78,000
	RENTABILIDAD 93	,1630434	,9528334	78	78,000
	SOLVENCIA 93	,0555720	1,1589875	78	78,000
	LIQUIDEZ 93	,0228006	1,0952919	78	78,000
	VARIACIÓN ACT Y PAS 93	-,0019165	,9353613	78	78,000
1,00	TAMAÑO RELATIVO 93	-,1139050	1,0095129	32	32,000
	RENTABILIDAD 93	-,3974184	1,0154413	32	32,000
	SOLVENCIA 93	-,1354567	,3910927	32	32,000
	LIQUIDEZ 93	-,0555764	,7292608	32	32,000
	VARIACIÓN ACT Y PAS 93	,0046714	1,1588600	32	32,000
Total	TAMAÑO RELATIVO 93	1,21E-17	1,0000000	110	110,000
	RENTABILIDAD 93	-1,61E-17	1,0000000	110	110,000
	SOLVENCIA 93	1,45E-16	1,0000000	110	110,000
	LIQUIDEZ 93	-6,06E-17	1,0000000	110	110,000
	VARIACIÓN ACT Y PAS 93	1,14E-16	1,0000000	110	110,000

### Pruebas de igualdad de las medias de los grupos

	Lambda de Wilks	F	gl1	gl2	Sig.
TAMAÑO RELATIVO 93	,995	,583	1	108	,447
RENTABILIDAD 93	,935	7,556	1	108	,007
SOLVENCIA 93	,992	,827	1	108	,365
LIQUIDEZ 93	,999	,138	1	108	,711
VARIACIÓN ACT Y PAS 93	1,000	,001	1	108	,975

**Matrices intra-grupo combinadas<sup>a</sup>**

		TAMAÑO RELATIVO 93	RENTABILIDAD 93	SOLVENCIA 93
Covarianza	TAMAÑO RELATIVO 93	1,004	-1,892E-02	-6,447E-03
	RENTABILIDAD 93	-1,892E-02	,943	-2,249E-02
	SOLVENCIA 93	-6,447E-03	-2,249E-02	1,002
	LIQUIDEZ 93	-2,645E-03	-9,229E-03	-3,146E-03
	VARIACIÓN ACT Y PAS 93	2,223E-04	7,757E-04	2,644E-04
Correlación	TAMAÑO RELATIVO 93	1,000	-,019	-,006
	RENTABILIDAD 93	-,019	1,000	-,023
	SOLVENCIA 93	-,006	-,023	1,000
	LIQUIDEZ 93	-,003	-,009	-,003
	VARIACIÓN ACT Y PAS 93	,000	,001	,000

**Matrices intra-grupo combinadas<sup>a</sup>**

		LIQUIDEZ 93	VARIACIÓN ACT Y PAS 93
Covarianza	TAMAÑO RELATIVO 93	-2,645E-03	2,223E-04
	RENTABILIDAD 93	-9,229E-03	7,757E-04
	SOLVENCIA 93	-3,146E-03	2,644E-04
	LIQUIDEZ 93	1,008	1,085E-04
	VARIACIÓN ACT Y PAS 93	1,085E-04	1,009
Correlación	TAMAÑO RELATIVO 93	-,003	,000
	RENTABILIDAD 93	-,009	,001
	SOLVENCIA 93	-,003	,000
	LIQUIDEZ 93	1,000	,000
	VARIACIÓN ACT Y PAS 93	,000	1,000

a. La matriz de covarianza tiene 108 grados de libertad

**Matrices de covarianza<sup>a</sup>**

SSS93		TAMAÑO RELATIVO 93	RENTABILIDAD 93	SOLVENCIA 93
,00	TAMAÑO RELATIVO 93	,998	-3,012E-02	-2,104E-03
	RENTABILIDAD 93	-3,012E-02	,908	-4,553E-02
	SOLVENCIA 93	-2,104E-03	-4,553E-02	1,343
	LIQUIDEZ 93	-2,370E-02	-6,017E-02	-3,256E-02
	VARIACIÓN ACT Y PAS 93	-2,274E-02	-3,563E-03	2,311E-03
1,00	TAMAÑO RELATIVO 93	1,019	8,925E-03	-1,723E-02
	RENTABILIDAD 93	8,925E-03	1,031	3,473E-02
	SOLVENCIA 93	-1,723E-02	3,473E-02	,153
	LIQUIDEZ 93	4,966E-02	,117	6,991E-02
	VARIACIÓN ACT Y PAS 93	5,725E-02	1,155E-02	-4,819E-03
Total	TAMAÑO RELATIVO 93	1,000	1,367E-15	-2,026E-15
	RENTABILIDAD 93	1,367E-15	1,000	9,697E-16
	SOLVENCIA 93	-2,026E-15	9,697E-16	1,000
	LIQUIDEZ 93	2,361E-15	5,785E-16	-5,011E-16
	VARIACIÓN ACT Y PAS 93	1,793E-16	-3,697E-16	1,197E-15



### Matrices de covarianza<sup>a</sup>

SSS93		LIQUIDEZ 93	VARIACIÓN ACT Y PAS 93
,00	TAMAÑO RELATIVO 93	-2,370E-02	-2,274E-02
	RENTABILIDAD 93	-6,017E-02	-3,563E-03
	SOLVENCIA 93	-3,256E-02	2,311E-03
	LIQUIDEZ 93	1,200	-1,485E-02
	VARIACIÓN ACT Y PAS 93	-1,485E-02	,875
1,00	TAMAÑO RELATIVO 93	4,966E-02	5,725E-02
	RENTABILIDAD 93	,117	1,155E-02
	SOLVENCIA 93	6,991E-02	-4,819E-03
	LIQUIDEZ 93	,532	3,727E-02
	VARIACIÓN ACT Y PAS 93	3,727E-02	1,343
Total	TAMAÑO RELATIVO 93	2,361E-15	1,793E-16
	RENTABILIDAD 93	5,785E-16	-3,697E-16
	SOLVENCIA 93	-5,011E-16	1,197E-15
	LIQUIDEZ 93	1,000	-2,648E-17
	VARIACIÓN ACT Y PAS 93	-2,648E-17	1,000

a. La matriz de covarianza total presenta 109 grados de libertad.

## Análisis 1

### Prueba de Box sobre la igualdad de las matrices de covarianza

#### Logaritmo de los determinantes

SSS93	Rango	Logaritmo del determinante
,00	5	,236
1,00	5	-2,267
Intra-grupos combinada	5	-,037

Los rangos y logaritmos naturales de los determinantes impresos son los de las matrices de covarianza de los grupos.

#### Resultados de la prueba

M de Box		48,110
F	Aprox.	2,999
	gl1	15
	gl2	14779,02
	Sig.	,000

Contrasta la hipótesis nula de que las matrices de covarianza poblacionales son iguales.

## Resumen de las funciones canónicas discriminantes

#### Autovalores

Función	Autovalor	% de varianza	% acumulado	Correlación canónica
1	,087 <sup>a</sup>	100,0	100,0	,282

a. Se han empleado las 1 primeras funciones discriminantes canónicas en el análisis.

### Lambda de Wilks

Contraste de las funciones	Lambda de Wilks	Chi-cuadrado	gl	Sig.
1	,920	8,756	5	,119

### Coeficientes estandarizados de las funciones discriminantes canónicas

	Función
	1
TAMAÑO RELATIVO 93	,270
RENTABILIDAD 93	,913
SOLVENCIA 93	,321
LIQUIDEZ 93	,132
VARIACIÓN ACT Y PAS 93	-,011

### Matriz de estructura

	Función
	1
RENTABILIDAD 93	,899
SOLVENCIA 93	,297
TAMAÑO RELATIVO 93	,250
LIQUIDEZ 93	,122
VARIACIÓN ACT Y PAS 93	-,010

Correlaciones intra-grupo combinadas entre las variables discriminantes y las funciones discriminantes canónicas tipificadas  
Variables ordenadas por el tamaño de la correlación con la función.

### Coeficientes de las funciones canónicas discriminantes

	Función
	1
TAMAÑO RELATIVO 93	,269
RENTABILIDAD 93	,940
SOLVENCIA 93	,320
LIQUIDEZ 93	,131
VARIACIÓN ACT Y PAS 93	-,011
(Constante)	,000

Coeficientes no tipificados

### Funciones en los centroides de los grupos

SSS93	Función
	1
,00	,187
1,00	-,455

Funciones discriminantes canónicas no tipificadas evaluadas en las medias de los grupos

## Estadísticos de clasificación

### Probabilidades previas para los grupos

SSS93	Previas	Casos utilizados en el análisis	
		No ponderados	Ponderados
,00	,709	78	78,000
1,00	,291	32	32,000
Total	1,000	110	110,000

### Coefficientes de la función de clasificación

	SSS93	
	,00	1,00
TAMANO RELATIVO 93	5,031E-02	-,123
RENTABILIDAD 93	,176	-,428
SOLVENCIA 93	5,983E-02	-,146
LIQUIDEZ 93	2,455E-02	-5,983E-02
VARIACIÓN ACT Y PAS 93	-2,063E-03	5,029E-03
(Constante)	-,361	-1,338

Funciones discriminantes lineales de Fisher

## Análisis 1

### Estadísticos de clasificación

### Estadísticos por casos

	Número de casos	Grupo real	Grupo mayor
			Grupo pronosticado
Original	1	0	0
	2	0	0
	3	0	0
	4	0	0
	5	0	0
	6	0	0
	7	0	0
	8	0	0
	9	0	0
	10	0	0
	11	0	0
	12	0	0
	13	0	0
	14	0	1**
	15	1	0**
	16	0	0
	17	0	0
	18	0	0
	19	1	0**
	20	0	0
	21	0	0
	22	1	0**
	23	0	0
	24	0	0
	25	0	0

Para los datos originales, la distancia de Mahalanobis al cuadrado se basa en funciones canónicas.  
 Para los datos validados mediante validación cruzada, la distancia de Mahalanobis al cuadrado se basa en observaciones.

**Estadísticos por casos**

	Número de casos	Grupo real	Grupo mayor
			Grupo pronosticado
Validación cruzada <sup>a</sup>	1	0	0
	2	0	0
	3	0	0
	4	0	0
	5	0	0
	6	0	0
	7	0	0
	8	0	0
	9	0	0
	10	0	1**
	11	0	0
	12	0	0
	13	0	0
	14	0	1**
	15	1	0**
	16	0	0
	17	0	0
	18	0	0
	19	1	0**
	20	0	0
	21	0	0
	22	1	0**
	23	0	0
	24	0	0
	25	0	0

Para los datos originales, la distancia de Mahalanobis al cuadrado se basa en funciones canónicas.  
 Para los datos validados mediante validación cruzada, la distancia de Mahalanobis al cuadrado se basa en observaciones.

Estadísticos por casos

		Grupo mayor			
		P(D>d   G=g)		P(G=g   D=d)	Distancia de Mahalanobis al cuadrado hasta el centroide
		p	gl		
Original	Número de casos				
	1	,867	1	,769	,028
	2	,780	1	,715	,078
	3	,897	1	,765	,017
	4	,839	1	,724	,041
	5	,249	1	,588	1,331
	6	,600	1	,682	,274
	7	,527	1	,666	,399
	8	,755	1	,785	,097
	9	,865	1	,770	,029
	10	,757	1	,785	,096
	11	,272	1	,597	1,204
	12	,289	1	,603	1,125
	13	,733	1	,788	,116
	14	,128	1	,572	2,316
	15	,088	1	,501	2,903
	16	,980	1	,753	,001
	17	,610	1	,806	,261
	18	,291	1	,855	1,117
	19	,650	1	,800	,205
	20	,468	1	,827	,527
	21	,745	1	,787	,105
	22	,342	1	,846	,904
	23	,895	1	,765	,018
	24	,678	1	,796	,173
	25	,492	1	,823	,473

Para los datos originales, la distancia de Mahalanobis al cuadrado se basa en funciones canónicas.  
 Para los datos validados mediante validación cruzada, la distancia de Mahalanobis al cuadrado se basa en observaciones.

Estadísticos por casos

		Grupo mayor			
		P(D>d   G=g)		P(G=g   D=d)	Distancia de Mahalanobis al cuadrado hasta el centroide
		p	gl		
Validación cruzada <sup>a</sup>	Número de casos				
	1	,981	5	,767	,737
	2	,923	5	,710	1,409
	3	,965	5	,762	,968
	4	,958	5	,721	1,052
	5	,741	5	,577	2,734
	6	,170	5	,655	7,754
	7	,971	5	,664	,892
	8	,785	5	,780	2,442
	9	,499	5	,760	4,358
	10	,000	5	,546	133,210
	11	,915	5	,592	1,482
	12	,934	5	,598	1,304
	13	,950	5	,786	1,144
	14	,755	5	,600	2,639
	15	,646	5	,513	3,349
	16	,858	5	,748	1,935
	17	,933	5	,803	1,317
	18	,713	5	,852	2,918
	19	,988	5	,809	,610
	20	,922	5	,824	1,420
	21	,927	5	,784	1,377
	22	,000	5	,970	39,413
	23	,954	5	,762	1,100
	24	,620	5	,790	3,520
	25	,839	5	,820	2,069

Para los datos originales, la distancia de Mahalanobis al cuadrado se basa en funciones canónicas.  
 Para los datos validados mediante validación cruzada, la distancia de Mahalanobis al cuadrado se basa en observaciones.

**Estadísticos por casos**

	Número de casos	Segundo grupo mayor			Puntuaciones discriminantes
		Grupo	P(G=g   D=d)	Distancia de Mahalanobis al cuadrado hasta el centroide	Función 1
Original	1	1	,231	,654	,354
	2	1	,285	,131	-,093
	3	1	,235	,594	,316
	4	1	,276	,192	-,017
	5	1	,412	,262	-,967
	6	1	,318	,014	-,337
	7	1	,334	,000	-,445
	8	1	,215	,910	,499
	9	1	,230	,659	,357
	10	1	,215	,906	,497
	11	1	,403	,208	-,911
	12	1	,397	,175	-,874
	13	1	,212	,966	,528
	14	0	,428	4,681	-1,977
	15	1	,499	1,128	-1,517
	16	1	,247	,445	,212
	17	1	,194	1,328	,697
	18	1	,145	2,886	1,244
	19	1	,200	1,199	,640
	20	1	,173	1,871	,913
	21	1	,213	,934	,511
	22	1	,154	2,536	1,137
	23	1	,235	,599	,319
	24	1	,204	1,119	,603
	25	1	,177	1,767	,874

Para los datos originales, la distancia de Mahalanobis al cuadrado se basa en funciones canónicas.  
 Para los datos validados mediante validación cruzada, la distancia de Mahalanobis al cuadrado se basa en observaciones.



### Estadísticos por casos

	Número de casos	Segundo grupo mayor			Puntuaciones discriminantes
		Grupo	P(G=g   D=d)	Distancia de Mahalanobis al cuadrado hasta el centroide	Función 1
Validación cruzada <sup>a</sup>	1	2	,233	1,340	
	2	2	,290	1,421	
	3	2	,238	1,517	
	4	2	,279	1,173	
	5	2	,423	1,574	
	6	2	,345	7,252	
	7	2	,336	,469	
	8	2	,220	3,194	
	9	2	,240	4,880	
	10	1	,454	135,364	
	11	2	,408	,442	
	12	2	,402	,319	
	13	2	,214	1,962	
	14	1	,400	5,230	
	15	2	,487	1,668	
	16	2	,252	2,327	
	17	2	,197	2,349	
	18	2	,148	4,637	
	19	2	,191	1,717	
	20	2	,176	2,729	
	21	2	,216	2,169	
	22	2	,030	44,577	
	23	2	,238	1,650	
	24	2	,210	4,385	
	25	2	,180	3,318	

Para los datos originales, la distancia de Mahalanobis al cuadrado se basa en funciones canónicas. Para los datos validados mediante validación cruzada, la distancia de Mahalanobis al cuadrado se basa en observaciones.

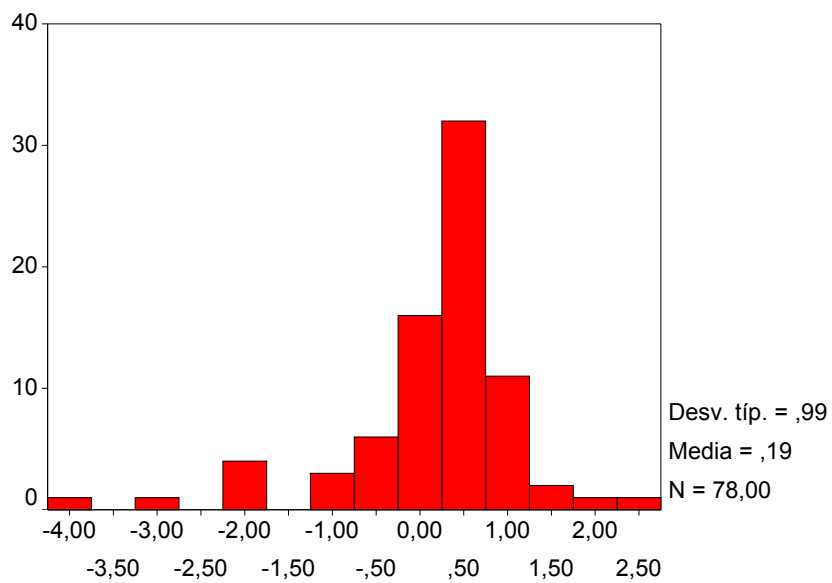
\*\* . Caso mal clasificado

a. La validación cruzada sólo se aplica a los casos del análisis. En la validación cruzada, cada caso se clasifica mediante las funciones derivadas a partir del resto de los casos.

## Gráficos por grupos separados

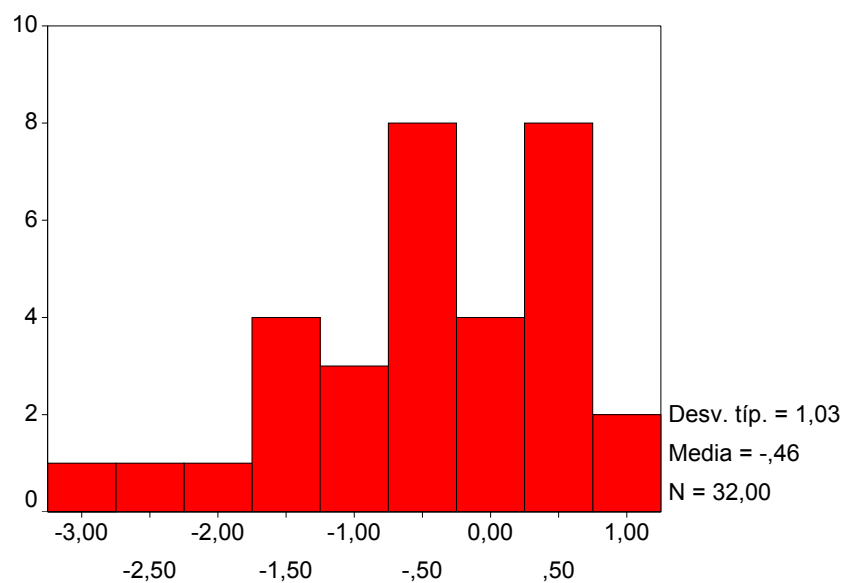
## Función discriminante canónica 1

SSS93 = 0



## Función discriminante canónica 1

SSS93 = 1



### Resultados de la clasificación<sup>b,c</sup>

			Grupo de pertenencia pronosticado		Total
			,00	1,00	
Original	Recuento	,00	72	6	78
		1,00	28	4	32
	%	,00	92,3	7,7	100,0
		1,00	87,5	12,5	100,0
Validación cruzada <sup>a</sup>	Recuento	,00	71	7	78
		1,00	28	4	32
	%	,00	91,0	9,0	100,0
		1,00	87,5	12,5	100,0

a. La validación cruzada sólo se aplica a los casos del análisis. En la validación cruzada, cada caso se clasifica mediante las funciones derivadas a partir del resto de los casos.

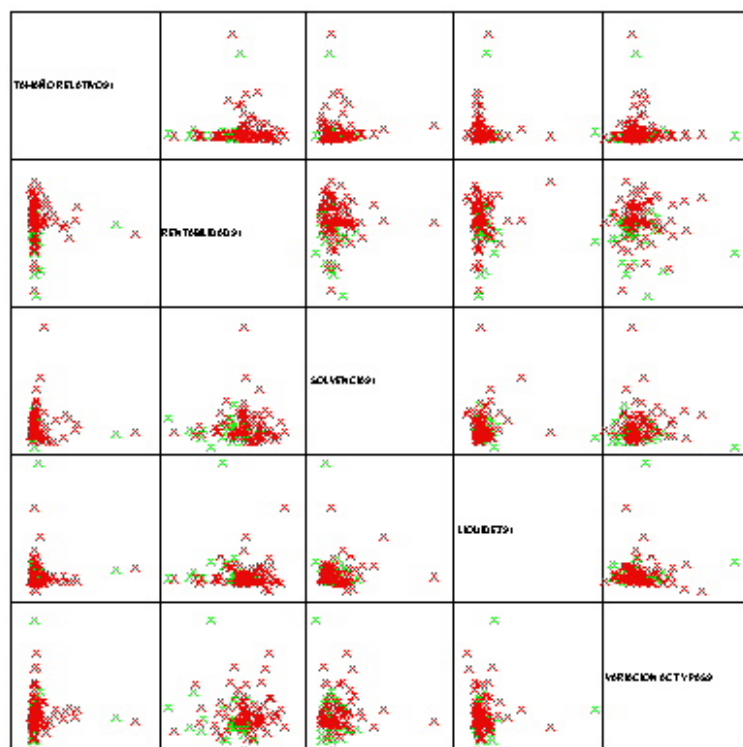
b. Clasificados correctamente el 69,1% de los casos agrupados originales.

c. Clasificados correctamente el 68,2% de los casos agrupados validados mediante validación cruzada.

### Resumen del proceso de clasificación

Procesados		110
Excluidos	Código de grupo perdido o fuera de rango	0
	Perdida al menos una variable discriminante	0
Usados en los resultados		110

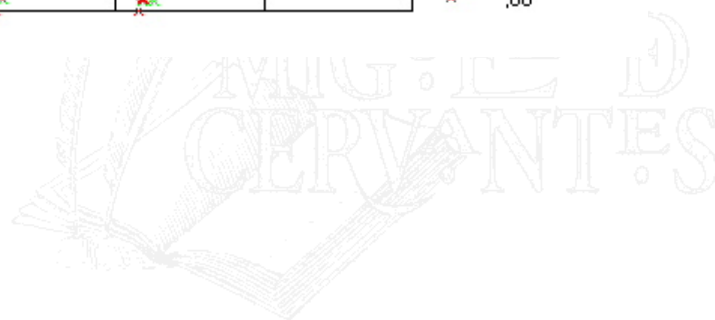
# GRÁFICO DE DISPERSIÓN PARA 1991



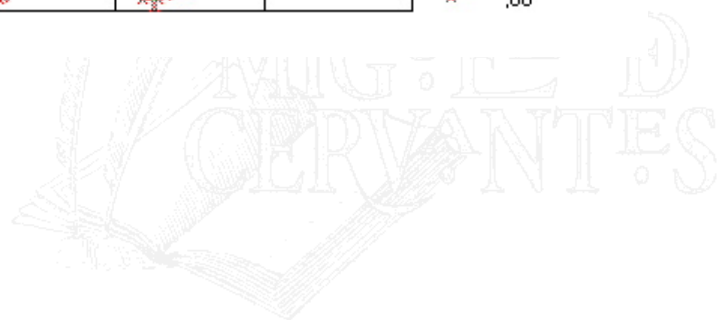
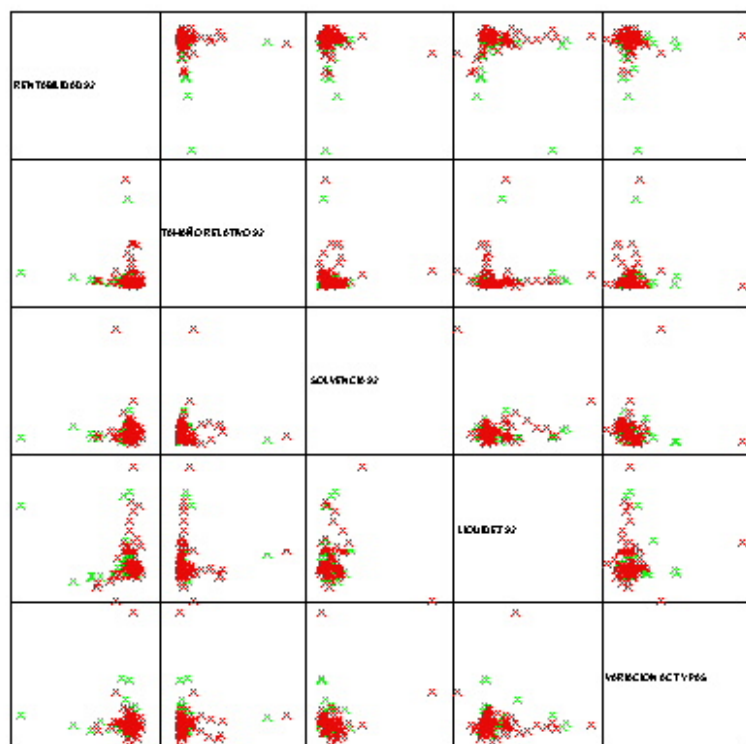
88891

1,00  
 ,00

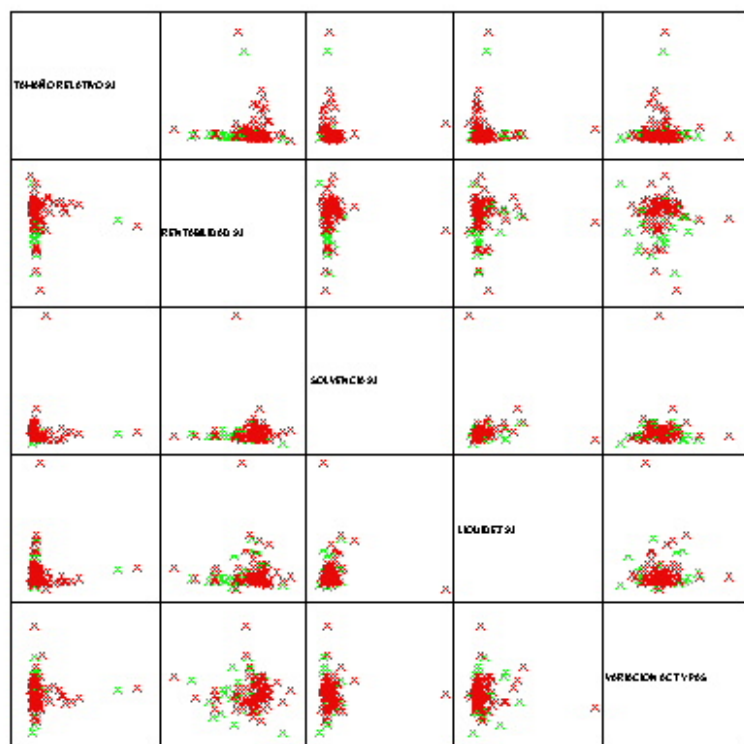
I A L



# GRÁFICO DE DISPERSIÓN PARA 1992



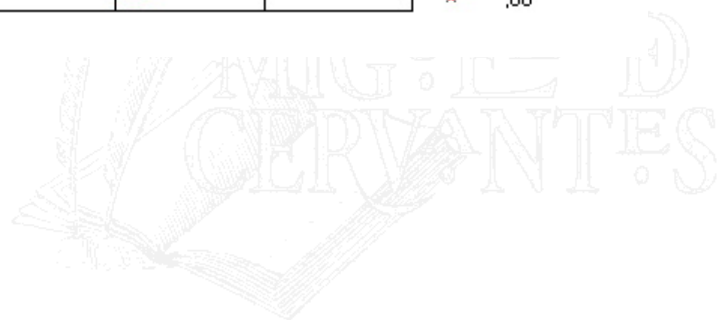
# GRÁFICO DE DISPERSIÓN PARA 1993



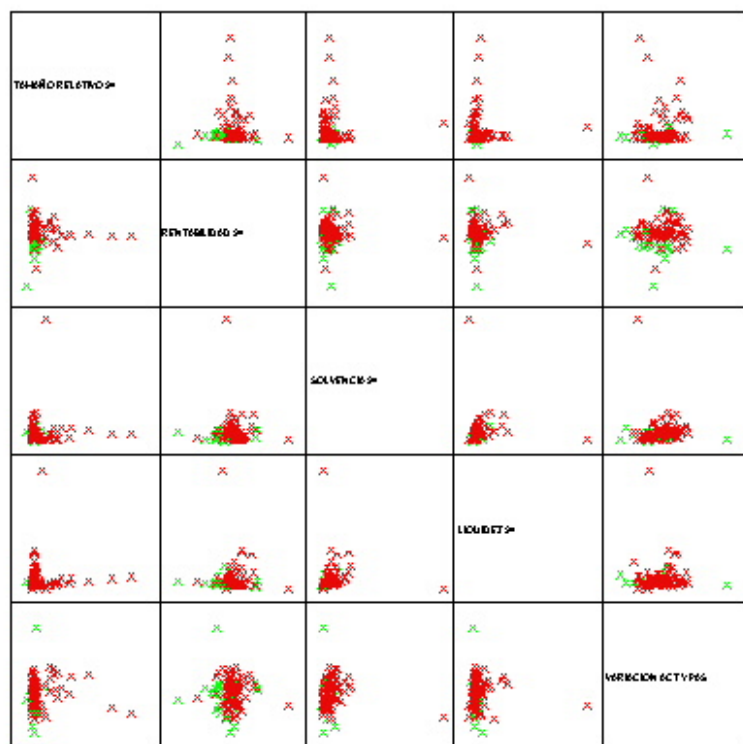
88893

x 1,00  
x ,00

I A L

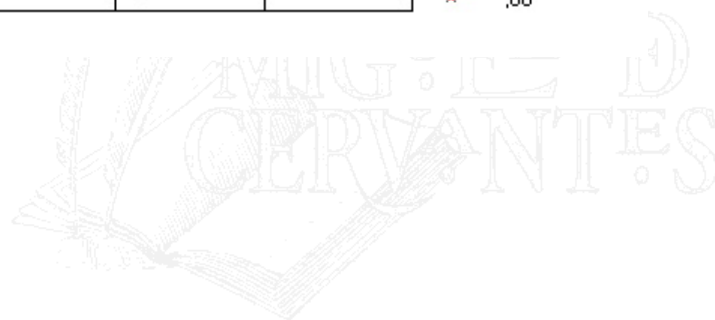


# GRÁFICO DE DISPERSIÓN PARA 1994

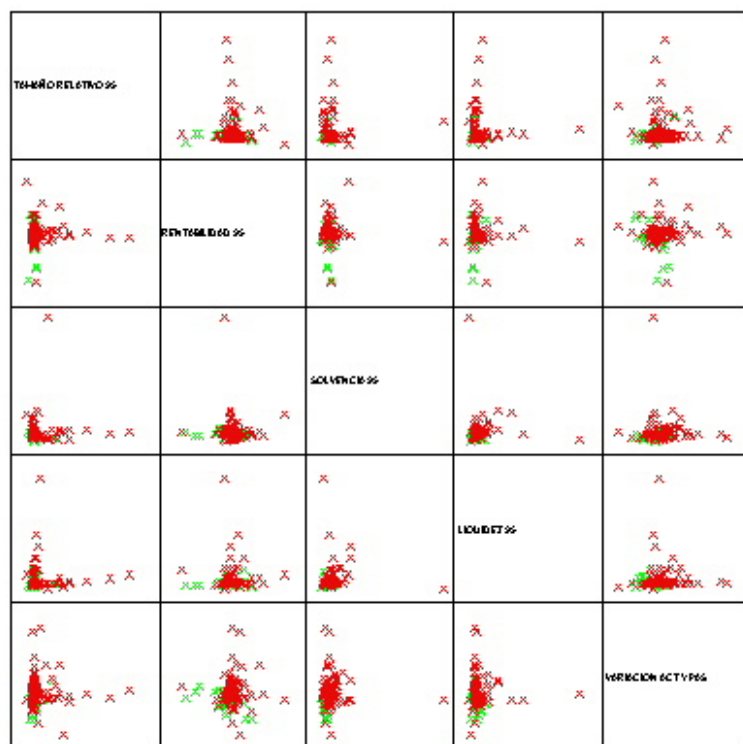


88894

1,00  
 ,00



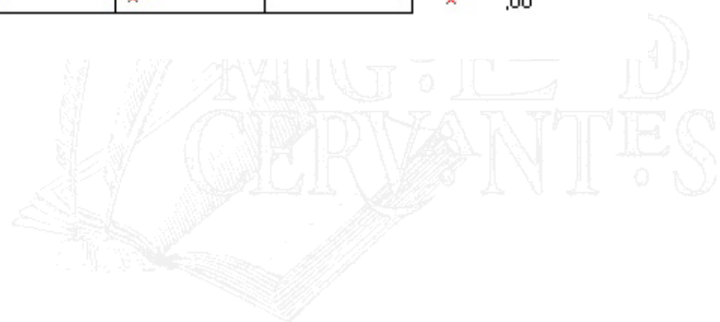
# GRÁFICO DE DISPERSIÓN PARA 1995



88895

1,00  
 ,00

I A L





### Correlaciones

		SSS90	SSS91	SSS92	SSS93	SSS94	SSS95	SSS96
SSS 90	Correlación de Pearson Sig. (bilateral) Suma de cuadrados y productos cruzados Covarianza N							
SSS 91	Correlación de Pearson Sig. (bilateral) Suma de cuadrados y productos cruzados Covarianza N	,633** ,000 14,455 ,133 110						
SSS 92	Correlación de Pearson Sig. (bilateral) Suma de cuadrados y productos cruzados Covarianza N	,497** ,000 11,864 ,109 110	,677** ,000 15,455 ,142 110					
SSS 93	Correlación de Pearson Sig. (bilateral) Suma de cuadrados y productos cruzados Covarianza N	,293** ,002 6,818 6,3E-02 110	,507** ,000 11,273 ,103 110	,551** ,000 12,818 ,118 110				
SSS 94	Correlación de Pearson Sig. (bilateral) Suma de cuadrados y productos cruzados Covarianza N	,250** ,008 5,818 5,3E-02 110	,417** ,000 9,273 8,5E-02 110	,465** ,000 10,818 9,9E-02 110	,692** ,000 15,691 ,144 110			
SSS 95	Correlación de Pearson Sig. (bilateral) Suma de cuadrados y productos cruzados Covarianza N	,155 ,107 3,409 3,1E-02 110	,267** ,005 5,636 5,2E-02 110	,291** ,002 6,409 5,9E-02 110	,425** ,000 9,145 8,4E-02 110	,658** ,000 14,145 ,130 110		
SSS 96	Correlación de Pearson Sig. (bilateral) Suma de cuadrados y productos cruzados Covarianza N	,050 ,602 ,909 8,3E-03 110	,153 ,111 2,636 2,4E-02 110	,161 ,093 2,909 2,7E-02 110	,417** ,000 7,345 6,7E-02 110	,587** ,000 10,345 9,5E-02 110	,723** ,000 12,073 ,111 110	

\*\* . La correlación es significativa al nivel 0,01 (bilateral).

ACERINOX S.A.  
AGROMÁN EMPRESA CONSTRUCTORA S.A.  
ALVI S.A.  
ALZAMORA PACKAGING S.A.  
AMPER S.A.  
ARREGUI S.A.  
ASLAND CATALUNYA Y DEL MEDITERRANEO S.A.  
ASTURIANA DE ZINC S.A.  
AZKOYEN S.A.  
BODEGAS BILBAINAS S.A.  
BODEGAS RAMÓN BILBAO  
BODEGAS Y BEBIDAS S.A.  
BP OIL ESPAÑA S.A.  
CARROGIO S. A. DE EDICIONES S.A.  
CEMENTOS ALFA S.A.  
CEMENTOS LEMONA S.A.  
CEMENTOS MOLINS S.A.  
CITROEN HISPANIA S.A.  
COINTRA S.A.  
COMPAÑÍA ESPAÑ.PARA LA FABRIC.MECÁNICA DEL VIDRIO S.A.  
COMPAÑÍA ESPAÑOLA DEL PETROLEO S.A.  
COMPAÑÍA LEVANTINA DE EDIFICACIÓN Y OBRAS PÚBLICAS S.A.  
COMPAÑÍA SEVILLANA DE ELECTRICIDAD  
COMPAÑÍA VALENCIANA DE CEMENTOS PORTLAND S.A.  
CONSERVAS GARAVILLA S.A.  
CONSTRUCCIONES LAIN S.A.  
CONSTRUCCIONES Y AUXILIAR DE FERROCARRILES S.A  
CORPORACIÓN IB-MEI S.A.  
CRISTALERIA ESPAÑOLA S.A.  
CROMOGENIA UNITS S.A.  
DRAGADOS Y CONSTRUCCIONES S.A.  
EDITORIAL GUSTAVO GILI S.A.  
ELEC NOR S.A.  
ELECTRICAS REUNIDAS DE ZARAGOZA S.A.  
EMBUTIDOS Y JAMONES NOEL S.A.  
EMPRESA NACIONAL DE CELULOSAS S.A.  
EMPRESA NACIONAL HIDROELECTRICA RIBAGORZANA S.A.  
ERCROS  
ESPAÑOLA DE ZINC  
ESTEBAN ESPUÑA S.A.  
ESTABANELL Y PAHISA S.A.  
FABRICACIÓN DE AUTOMÓVILES RENAULT DE ESPAÑA  
FAES FÁBRICA ESPAÑOLA DE PRODUCTOS QUÍMIC. Y FARMACEUT.  
FORJAS DE BERRIZ VIUDA DE GASTELURRUTIA S.A.  
FRIMANCHA INDUSTRIAS CÁRNICAS S.A.

GAS Y ELECTRICIDAD S.A.  
GRUPO ANAYA S.A.  
GRUPO DURO FELGUERA S.A.  
HIJOS DE JOSÉ BASSOLS S.A.  
HILANDERÍAS VERA S.A.  
HORNOS IBÉRICOS ALBA S.A.  
HUARTE S.A.  
IBÉRICA DE MANTENIMIENTO INDUSTRIAL S.A.  
IBERTUBO S.A.  
IEG S.A.  
INDO INTERNACIONAL S.A.  
INDUSTRIAS DEL ACETATO DE CELULOSA S.A.  
INDUSTRIAS DEL CURTIDO S.A.  
JOAQUIM ALBERTI S.A.  
LA SEDA DE BARCELONA S.A.  
LA UNIÓN RESINERA ESPAÑOLA  
LEFA S.A.  
LINGOTES ESPECIALES S.A.  
LIWE ESPAÑOLA S.A.  
MANUFACTURAS ANTONIO GASSOL S.A.  
MANUFACTURAS DE ESTAMBRE S.A.  
METALES IBÉRICA ARANZADI S.A.  
MIQUEL Y COSTAS & MIQUEL S.A.  
NATRA S.A.  
NICOLAS CORREA S.A.  
NITRATOS DE CASTILLA S.A.  
OBRAS Y SERVICIOS PÚBLICOS S.A.  
OMSA ALIMENTACIÓN S.A.  
PAPELERA NAVARRA S.A.  
PASCUAL HERMANOS SA  
PMRK INVESTMENT S.A.  
PORTLAND VALDERRIVAS S.A.  
PRIM S.A.  
PULEVA UNIÓN INDUSTRIAL Y AGROGANADERA S.A.  
RADIOTRÓNICA S.A.  
RAMÓN VENTULA S.A.  
RED ELECTRICA DE ESPAÑA S.A.  
ROBERTO ZUBIRI S.A.  
SALTOS DEL NANSÁ S.A.  
SAN MIGUEL, FÁBRICAS DE CERVEZA Y MALTA  
SANTANA MOTOR S.A.  
SARRIO S.A.  
SEDATEX S.A.  
SEFANITRO S.A.  
SNIACE S.A

BIBLIOTECA VIRTUAL

MIGUEL DE  
CERVANTES

SOCIEDAD ANÓNIMA DAMM  
SOCIEDAD ESPAÑOLA DE CARBUROS METÁLICOS S.A.  
SOCIEDAD ESPAÑOLA DEL ACUMULADOR TUDOR S.A.  
SOCIEDAD GENERAL DE OBRAS Y CONSTRUC. OBRASCON S.A.  
TABACALERA  
TABLEROS DE FIBRAS S.A.  
TOBEPAL S.A.  
TUBACEX C.E.DE TUBOS POR EXTRUSIÓN  
TUYPER S.A.  
UNILAND CEMENTERA S.A.  
UNIÓN ELECTRICA DE CANARIAS  
UNION ELÉCTRICA FENOSA  
VIDRALA S.A.  
VIDRIERA LEONESA S.A  
VISCOFAN INDUSTRIA NAVARRA DE ENVOLTURAS CELULÓSICAS S.A.  
WAT DIRECCIONES S.A  
KEY S.A.  
ZARDOYA OTIS S.A.  
ZAYER S.A.  
ZELTIA S.A.

